

**PAŃSTWOWA WYŻSZA SZKOŁA TECHNICZNO-EKONOMICZNA**  
**im. ks. Bronisława Markiewicza**  
**w JAROSŁAWIU**

**Instytut Inżynierii Technicznej**

**KIERUNEK: GEODEZJA I KARTOGRAFIA**

**Studia Stacjonarne pierwszego stopnia**

**Łukasz Czerwonka**  
**nr albumu 26036**

**Aleksandra Gontarska**  
**nr albumu 26049**

**Określenie objętości wybranego zwałowiska**  
**materiałów sypkich**

Świadomy/a odpowiedzialności prawnej oświadczam, że praca dyplomowa, została napisana przeze mnie samodzielnie i nie była wcześniej podstawą żadnej procedury związanej z nadaniem tytułów zawodowych i dyplomów szkoły wyższej.

Oświadczam również, że praca ta nie narusza praw autorskich w rozumieniu ustawy z dnia 04.02.1994r. o prawie autorskim i prawach pokrewnych (Dz. U. Nr 24, poz. 83 z póź. zm.) oraz dóbr osobistych chronionych prawem.

.....  
(podpis autora)

Praca dyplomowa napisana pod kierunkiem:  
prof. zw. dr hab. inż. Józef Czaja

**Jarosław 2014**



## Spis treści

1. Wstęp.....	5
2. Podstawy prawne .....	7
3. Metody obliczenia objętości mas ziemnych .....	8
3.1. Metoda siatki kwadratów.....	8
3.2. Metoda siatki trójkątów .....	10
3.3. Metoda przekrojów poziomych .....	11
3.4. Metoda przekrojów poprzecznych.....	13
4. Metody pomiaru stosowane przy określaniu objętości mas ziemnych .....	15
4.1. Geodezyjne .....	15
4.2. Fotogrametryczna .....	17
4.3. Skaniny laserowe .....	18
5. Opis techniczny wybranego zwałowiska .....	20
6. Specyfikacja instrumentów pomiarowych .....	22
7. Założenie geodezyjnej osnowy pomiarowej .....	25
7.1. Stabilizacja punktów osnowy .....	25
7.2. Pomiar geodezyjny sieci punktów osnowy.....	26
8. Obliczenie współrzędnych punktów osnowy pomiarowej.....	27
8.1. Wyrównanie ściśle sieci poziomej w programie GEONET .....	28
8.2. Obliczenie sieci wysokościowej w programie WinKalk .....	31
9. Wybór i pomiar punktów reprezentujących badaną powierzchnię terenu .....	32
10. Obliczenie współrzędnych punktów reprezentujących badaną powierzchnię terenu.....	34
11. Programy geodezyjne.....	35
11.1. Program WinKalk .....	36
11.2. Program C-Geo .....	39
11.3. Program MicroStation z nakładką Bentley InRoads .....	43
11.4. Program Surfer.....	48
11.5. Analiza porównawcza przedstawionych programów .....	53
12. Podsumowanie .....	56
13. Załączniki .....	57
14. Bibliografia .....	92



# 1. Wstęp

Pomiary inżynierskie stanowią jedną z podstawowych dziedzin geodezji. W naszej pracy konkretnie skupiliśmy się na jednym z jej aspektów, mianowicie na określeniu objętości wybranego zwałowiska materiałów sypkich. Jest to temat bardzo rozległy. Może dotyczyć między innymi: tras komunikacyjnych oraz inżynierskich, jak również inwentaryzacji składowisk materiałów sypkich. Dużą rolę odgrywa także w pracach związanych z budową osiedli mieszkaniowych oraz wszelkiego rodzaju zakładów przemysłowych, czy obiektów wielkopowierzchniowych. W dzisiejszych czasach prace związane z wyznaczaniem objętości są stale aktualne, a rola geodety jest w nich nieoceniona.

W ostatnim czasie prowadzona jest duża liczba prac budowlanych związanych z budownictwem drogowym na naszym obszarze. Prace rozpoczyna się od przygotowania terenu. Dla każdej inwestycji istotne jest określenie bilansu kubatury wykopów i nasypów w celu zminimalizowania robót ziemnych. Precyzyjne określenie bilansu robót ziemnych jest bardzo ważną kwestią ze względu na duże koszty jakie z nimi się wiąże. Nasze zainteresowania związane z geodezyjną obsługą inwestycji i budownictwem drogowym oraz możliwością wykonania zaawansowanych pomiarów inżynierskich zaważyły na wyborze tematu pracy inżynierskiej.

Przedmiotem pracy jest określenie objętości oraz graficzna prezentacja wyników w czterech programach geodezyjnych. Jako obiekt wybrano hałdę kruszywa na terenie wytwórni mas bitumicznych należącej do firmy Polimex-Mostostal S.A. w miejscowości Gniewczyna Łańcucka, w powiecie Przeworskim. Pomiar zwałowiska wykonano metodą tachimetryczną, a uzyskane wyniki wykorzystano w dalszym toku postępowania. Zakres prac obejmuje zarówno część teoretyczną, jak i praktyczną.

Część teoretyczna zawiera:

- analizę obowiązujących aktów prawnych, rozporządzeń oraz instrukcji dotyczących podstawowych zagadnień związanych z robotami ziemnymi,
- podstawowe informacje dotyczące metod pomiaru oraz sposobu wykonywania obliczeń,
- opis techniczny wybranego zwałowiska;
- charakterystyka instrumentów pomiarowych Leica TS02 oraz Trimble SPS882.





Natomiast część praktyczna dotyczy wszystkich przeprowadzonych czynności obliczeniowych, takich jak :

- wyrównanie współrzędnych punktów osnowy w programie GEONET,
- obliczenie współrzędnych punktów reprezentujących badaną powierzchnię terenu,
- obliczenie objętości inwentaryzowanego obiektu w czterech programach geodezyjnych,
- utworzenie siatek trójkątów, a na ich podstawie wygenerowanie modeli 3D,
- analiza otrzymanych wyników wyznaczenia kubatury.

Nowoczesne oprogramowanie geodezyjne pozwala na dużo szybsze opracowanie wyników pomiarów. Zazwyczaj im program bardziej nowoczesny tym praca bardziej efektywna, a rezultaty bardziej zadowalające. Ich wybór uzależniony jest od indywidualnych preferencji użytkownika oraz rodzaju wykonywanych prac.

W pracy skorzystano z czterech programów geodezyjnych w celu opracowania numerycznego modelu terenu, a w efekcie końcowym uzyskano model 3D wraz z wynikiem objętości. Każdy z programów krótko scharakteryzowano, omawiając jego największe zalety oraz wady. Oceniano je pod względem przydatności w obliczeniach kubatury mas ziemnych oraz prezentacji wyników. Jako poziom odniesienia do obliczenia objętości przyjęto średnią z wysokości punktów tworzących obrys obiektu. Na podstawie otrzymanych wyników przeprowadzono analizę porównawczą, zestawiono różnice pomiędzy programami oraz wykonano analizę dokładności obliczeń w poszczególnych programach.

Programy wykorzystane do określenia objętości zwałowiska:

1. WinKalk   
✓ wersja *WinKalk 4.03*
2. C-Geo   
✓ wersja *C-Geo V8.6*
3. Surfer   
✓ wersja *Surfer 11*
4. Bentley MicroStation V8 XM z nakładką Bentley InRoads   
✓ wersja *Bentley InRoads V8i*

## 2. Podstawy prawne [10,12]

Pomiary oraz obliczenia związane z określeniem objętości mas ziemnych powinny być wykonywane zgodnie z obowiązującymi przepisami prawa, takimi jak: rozporządzenia, instrukcje techniczne oraz wytyczne techniczne.

**Instrukcja geodezyjna resortu przemysłu ciężkiego** mówi, że inwentaryzacji geodezyjnej podlegają następujące zasoby składowisk:

1. surowce hutnicze: rudy, topniki, koks i węgiel;
2. odpady przemysłowe: popioły, żużle z wielkich pieców, stalownie i inne.

Przedmiotem pomiarów w/w składowisk jest:

- ✓ objętości zasobów,
- ✓ rozmieszczenie składowanych materiałów.

Błąd względny wyznaczania objętości zasobów w zasadzie nie może przekraczać:

- ✓  $\pm 3\%$  dla surowców hutniczych,
- ✓  $\pm 5\%$  dla odpadów przemysłowych.

Dokładność pomiarów rozmieszczenia składowanych materiałów w przestrzeni należy ustalać dostosowując do wymaganej dokładności wyznaczenia objętości oraz skali mapy nie mniejszej niż 1:500. Dokładność pomiaru objętości mniejsza od wyżej określonej, może być ustalona w wyniku dwustronnego uzgodnienia zlecniodawcy i wykonawcy pomiarów, jeżeli:

- ✓ cel danej inwentaryzacji nie wymaga wyżej określonej dokładności,
- ✓ warunki lokalne składowiska nie pozwalają, bez dodatkowych prac przygotowawczych, na uzyskanie takiej dokładności.

Zgodnie z **Rozporządzeniem Ministra Gospodarki z dnia 19 czerwca 2002 r. w sprawie dokumentacji mierniczo-geologicznej** obliczanie objętości wybranych przestrzeni, składowisk kopaliny i zwałowisk odpadów powinno być przeprowadzane w dostosowaniu do wymaganej dokładności obliczeń, przyjętej metody pomiaru oraz kształtu i stopnia zróżnicowania mierzonej przestrzeni. Do obliczania objętości może być stosowana metoda modelowania numerycznego z użyciem elektronicznej techniki obliczeniowej.

Błąd względny pomiaru objętości zwałów i składowisk nie powinien przekraczać dla objętości:

- 1) od 0 do 20 tys. m<sup>3</sup> - 6% objętości,
- 2) od 20 do 50 tys. m<sup>3</sup> - 5% objętości,
- 3) od 50 do 200 tys. m<sup>3</sup> - 4% objętości,
- 4) od 200 do 500 tys. m<sup>3</sup> - 3% objętości,
- 5) ponad 500 tys. m<sup>3</sup> - 2% objętości.

Dodatkowo rozporządzenie to określa czynniki wpływające na dokładność wyznaczenia objętości.

Zaliczamy do nich:

- dokładność wyznaczenia położenia punktów charakterystycznych obszaru
- dokładność uchwycenia zmienności przebiegu powierzchni topograficznej (ilość i rozmieszczenie punktów)
- wpływ ustalenia poziomu odniesienia
- wybrana metoda obliczenia objętości

### 3. Metody obliczenia objętości mas ziemnych

#### 3.1. Metoda siatki kwadratów

Metoda siatki kwadratów wykorzystywana jest w obliczeniach objętości robót ziemnych głównie w przypadku, gdy teren objęty pomiarem jest w przybliżeniu poziomy i mało urozmaicony. Objętość bryły elementarnej (*Rys.1*) oblicza się ze wzoru:

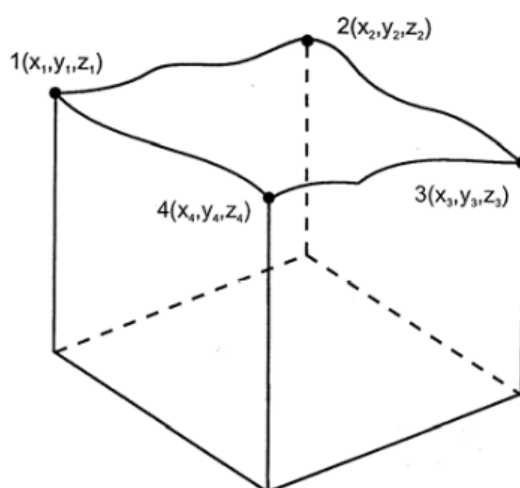
$$V = \frac{1}{4} P (z_1 + z_2 + z_3 + z_4) \quad (1)$$

gdzie:

V-objętość bryły elementarnej,

P- pole powierzchni podstawy bryły,

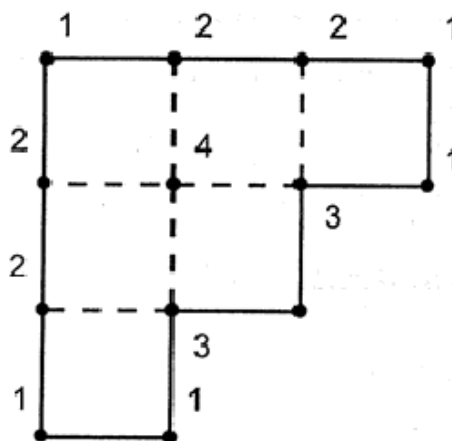
$z_1, z_2, z_3, z_4$ - wysokości punktów węzłowych siatki.



Rys. 1. Bryła elementarna [3]

Całkowitą objętość bryły nieregularnej, której podstawę stanowią kwadraty (*Rys.2*) oblicza się ze wzoru:

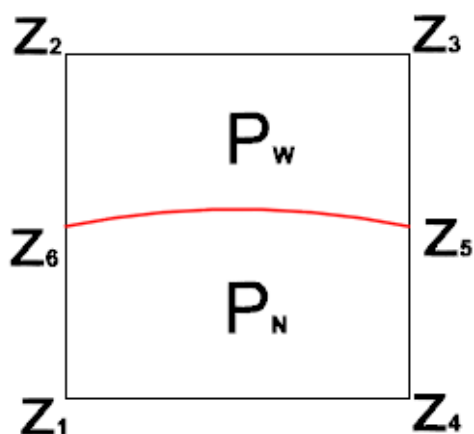
$$V = \frac{1}{4} P (\sum z_1 + 2 \sum z_2 + 3 \sum z_3 + 4 \sum z_4) \quad (2)$$



Rys. 2. Podstawa bryły nieregularnej [3]



W przypadku, gdy analizowany teren przecina linia zerowych robót, wówczas należy obliczyć objętość wykopów i nasypów według poniższych wzorów:



Rys. 3. Częstkowe powierzchnie nasypu i wykopu  
[źródło: opracowanie własne]

$$V_w = P_w \cdot \frac{z_6 + z_2 + z_3 + z_5}{4} \quad (3)$$

$$V_N = P_N \cdot \frac{z_6 + z_5 + z_4 + z_1}{4} \quad (4)$$

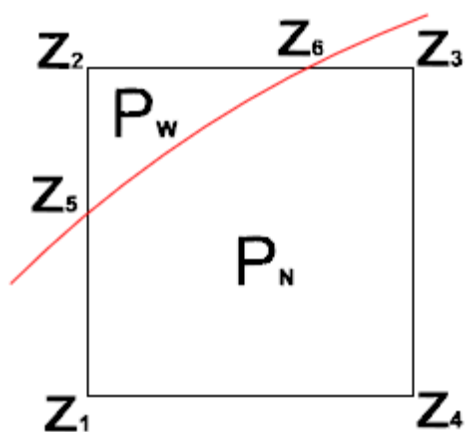
gdzie:

$V_w, V_N$  - objętość wykopu i nasypu,

$P_w, P_N$  - pole powierzchni wykopu i nasypu,

$z_1, z_2, z_3, z_4, z_5, z_6$  - wysokości punktów siatki

względem płaszczyzny rozdziału robót ziemnych.



Rys. 4. Częstkowe powierzchnie nasypu i wykopu  
[źródło: opracowanie własne]

$$V_w = P \cdot \frac{z_5 + z_2 + z_6}{3} \quad (5)$$

$$V_N = P_N \cdot \frac{z_5 + z_6 + z_3 + z_4 + z_1}{5} \quad (6)$$

### 3.2. Metoda siatki trójkątów

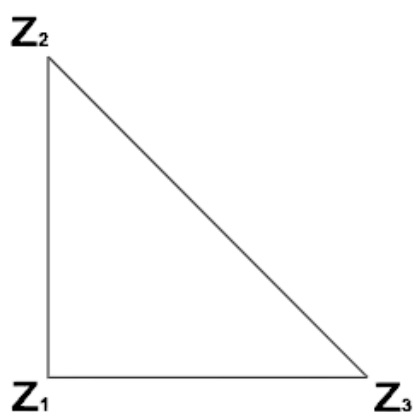
Metodę siatki trójkątów stosuje się dla terenów o nieregularnej rzeźbie terenu. W procesie tworzenia numerycznego modelu terenu powstaje siatka trójkątów, utworzona przez punkty reprezentujące badaną powierzchnię terenu. Siatka ta powinna być wykonana w taki sposób, aby trójkąty były w miarę możliwości równoboczne i zostały uwzględnione wszystkie punkty modelu. Całkowita objętość bryły równa się sumie objętości brył elementarnych:

$$V = \sum_{i=1}^n V_i \quad (7)$$

V-całkowita objętość bryły,

$V_i$ -objętość i-tej bryły elementarnej

Objętość bryły elementarnej oblicza się ze wzoru:



$$V = \frac{1}{3} \sum_{i=1}^n (z_1^i + z_2^i + z_3^i) P \quad (8)$$

gdzie:

$z_1^i, z_2^i, z_3^i$ -wysokości punktów terenowych,

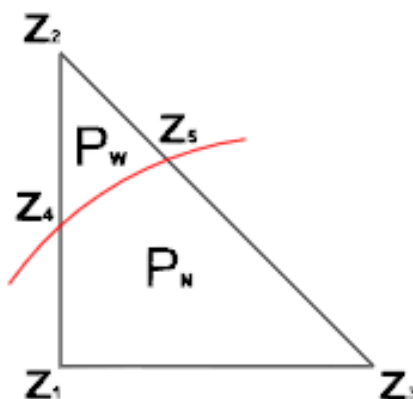
P- pole trójkąta wyznaczone ze wzoru:

$$P = \frac{1}{2} \begin{vmatrix} \Delta x_{12} & \Delta y_{12} \\ \Delta x_{13} & \Delta y_{13} \end{vmatrix} \quad (9)$$

Rys. 5. Trójkąt elementarny

[źródło: opracowanie własne]

W przypadku, gdy w granicach pojedynczego trójkąta występuje częściowo nasyp oraz częściowo wykop, wówczas objętość bryły obliczana jest ze wzoru:



$$V_W = P_W \cdot \frac{z_4 + z_2 + z_5}{3} \quad (10)$$

$$V_N = P_N \cdot \frac{z_1 + z_4 + z_5 + z_3}{4} \quad (11)$$

$P_W, P_N$  – powierzchnie wykopu, nasypu,

$z_1, z_2, z_3, z_4, z_5$  – wysokości punktów

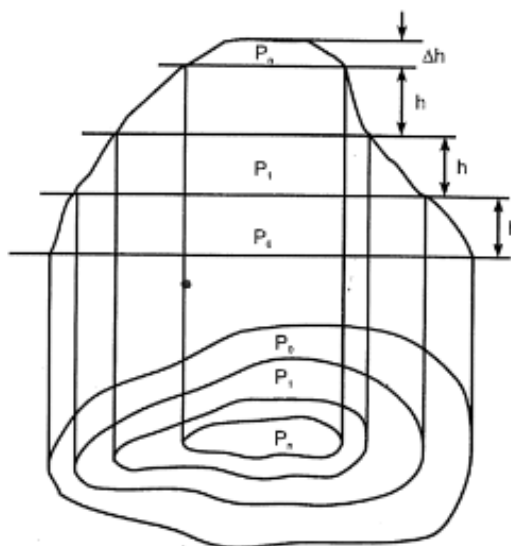
względem linii rozdziału robót ziemnych

Rys. 6. Trójkąt elementarny z podziałem na wykop i nasyp

[źródło: opracowanie własne]

### 3.3. Metoda przekrojów poziomych

Metoda przekrojów poziomych jest to metoda dosyć archaiczna. Wykorzystywana była głównie do określenia objętości różnego rodzaju składowisk. Mając zbiór punktów pomiarowych wyznaczano przebieg warstwic o zadanym cięciu. Następnie, po wyznaczeniu pola powierzchni pomiędzy poszczególnymi warstwicami przystępowano do obliczenia objętości. Objętość bryły w tej metodzie określana jest jako suma objętości elementarnych „plastrów” powstałych z przecięcia całej bryły płaszczyznami poziomymi o założonej wysokości równej cięciu warstwicowemu  $h$  (Rys.7).



Rys. 7. Model warstwicowy bryły [3]

Obliczenie objętości wykonuje się na podstawie wzoru:

$$V = \frac{1}{3} h (P_0 + P_1 + \sqrt{P_0 P_1} + P_1 + P_2 + \sqrt{P_1 P_2} + \dots + P_i + P_{i+1} + \sqrt{P_i P_{i+1}} + \dots + P_{n-1} + P_n + \sqrt{P_{n-1} P_n}) + \frac{1}{3} \Delta h \cdot P_n \quad (12)$$

gdzie:

$h$ - skok warstwicowy (cięcie warstwicowe),

$\Delta h$ - różnica wysokości pomiędzy najwyższą warstwicą, a najwyższym punktem terenu,

$P_0$ - pole powierzchni ograniczone najniższą warstwicą,

$P_1$ - pole powierzchni ograniczone warstwicą o jedną wyżej,

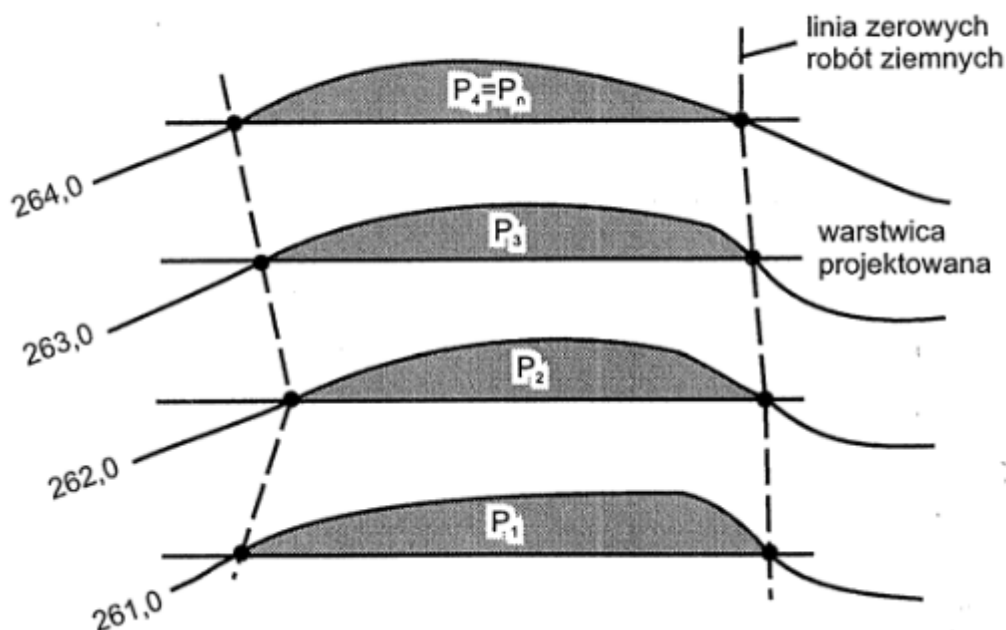
$P_n$ - pole powierzchni ograniczone najwyższą warstwicą.

W przypadku, gdy cięcie warstwicowe jest mniejsze od 0,5m wówczas istnieje możliwość skorzystania ze wzoru uproszczonego:

$$V = \frac{1}{2} h (P_0 + 2P_1 + 2P_2 + \dots + 2P_i + \dots + 2P_{n-1} + P_n) + \frac{1}{3} \Delta h \cdot P_n \quad (13)$$

Metoda ta pozwala również na określenie objętości wykopów i nasypów względem projektowanej płaszczyzny bilansowej. Dla przykładu, wyznaczenie objętości wykopu polega na wyznaczeniu powierzchni ograniczonych jednoimiennymi warstwicami oraz liniami projektowanej płaszczyzny, a następnie skorzystaniu ze wzoru:

$$V_W = \frac{h}{2}(P_1 + 2P_2 + \dots + 2P_{n-1} + P_n) \quad (14)$$



Rys. 8. Model warstwowy terenu i powierzchnia projektowa [3]

### 3.4. Metoda przekrojów poprzecznych

Metoda przekrojów poprzecznych stosowana jest dla obiektów o charakterze liniowym, np. rowy, drogi, linie kolejowe. W obliczeniach stosuje się dane zawarte na profilu podłużnym oraz przekrojach poprzecznych. Pola powierzchni przekrojów wyznaczane są graficznie, bądź w programach typu CAD. Objętość bryły oblicza się ze wzoru:

$$V = \frac{1}{3} l (P_1 + P_2 + \sqrt{P_1 P_2}) \quad (15)$$

lub

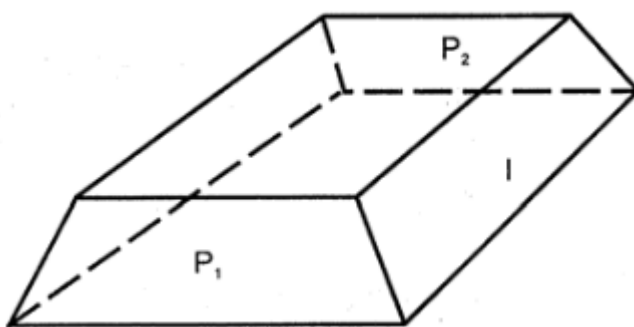
$$V = \frac{1}{2} l (P_1 + P_2) \quad (16)$$

gdzie:

$P_1, P_2$ - pola powierzchni przekrojów utworzonych z przecięcia terenu płaszczyznami pionowymi,

$P_{sr}$ - pole powierzchni przekroju wykonanego w połowie odległości pomiędzy przekrojami pierwszym i drugim,

$l$ - odległość.



Rys. 9. Obliczanie objętości bryły wydłużonej [3]

Wykorzystywane są także wzory:

✓ Wzór Simpsona

$$V = \frac{1}{6} l (P_1 + P_2 + 4P_{sr}) \quad (17)$$

gdzie:

$P_{sr}$  – powierzchnia przekroju usytuowanego w środku pomiędzy  $P_1$  i  $P_2$

W przypadku, gdy górna i dolna podstawa bryły nie są do siebie równoległe oraz dolna podstawa nie jest pozioma, wówczas objętość bryły oblicza się korzystając ze wzoru Jepsena:

$$V = \left[ \frac{P_1 + P_2}{2} - m \frac{(h_2 - h_1)^2}{6} \right] \cdot l \quad (18)$$

gdzie:

$h_1, h_2$  – wysokości przekrojów poprzecznych w osi podłużnej,

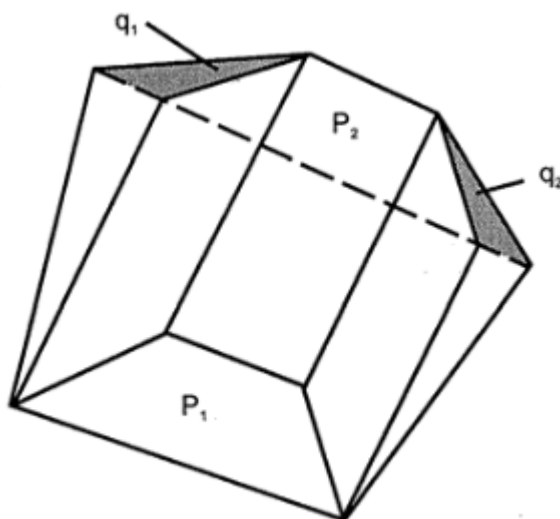
$m$  – spadek terenu w kierunku osi podłużnej.

✓ Wzór Winklera

$$V = \left( \frac{P_1 + P_2}{2} - \frac{q_2 + q_1}{2} \right) \cdot l \quad (19)$$

gdzie:

$q_1, q_2$  – różnice powierzchni pól przekrojów poprzecznych



Rys. 10. Obliczanie objętości bryły wydłużonej sposobem Winklera [3]

## 4. Metody pomiaru stosowane przy określaniu objętości mas ziemnych

Na wybór metody pomiaru składa się wiele czynników. W większości przypadków zależy ona od rodzaju obszaru, jego wielkości oraz sprzętu pomiarowego, którym dysponujemy. W większości zagadnień realizowanych w pomiarach inżynierskich, gdzie do określenia objętości mamy stosunkowo niewielki obszar i dobre warunki do pomiaru wykorzystuje się metody klasyczne. Zaliczamy do nich: niwelację siatkową, punktów rozproszonych, przekrojów podłużnych i poprzecznych, tachimetrię oraz GPS RTK. Natomiast w przypadku obszarów rozległych, niedostępnych stosuje się metody fotogrametryczne oraz skanowanie laserowe.

### 4.1. Geodezyjne

#### ✓ niwelacja siatkowa

Metoda ta wykorzystywana jest dla powierzchni płaskiej lub przy łagodnie nachylonych stokach. Najlepszym przykładem obiektu, do którego można wykorzystać tę metodę jest pomiar wyjściowy terenu przewidzianego pod budowę boiska sportowego. W tym celu na terenie objętym budową projektuje się siatkę kwadratów i przeprowadza się jej pomiar w celu określenia wysokości punktów terenu. Na podstawie otrzymanych wyników określa się rzędną płaszczyzny bilansującej roboty ziemne, tak aby w jak najwyższym stopniu zminimalizować sumę objętości wykopów z nasypami.

#### ✓ niwelacja punktów rozproszonych

Niwelację punktów rozproszonych stosujemy dla powierzchni falistych o zdecydowanych formach morfologicznych, ale niezbyt zróżnicowanych wysokościach.

#### ✓ niwelacja przekrojów podłużnych i poprzecznych

Niwelację przekrojów podłużnych i poprzecznych używa się dla tras komunikacyjnych i powierzchni częściowo zakrytych i zalesionych. Praktycznym zastosowaniem tej metody są obiekty liniowe np. drogi, linie kolejowe.

#### ✓ tachimetria

Wykorzystywana do pomiarów terenu o urozmaiconej rzeźbie, nagłych zmianach nachyleń, o formach powstałych na skutek działalności człowieka takich jak: wysypiska, hałdy, wyrobiska górnicze. Metoda ta jest najpopularniejsza i najczęściej stosowana w pracy geodetów, lecz z biegiem czasu oraz z pojawianiem się coraz nowocześniejszego sprzętu zastępowana przez pomiary GPS, czy tachimetrie skanujące.

✓ metoda GPS RTK

Obecnie to jedna z najpopularniejszych geodezyjnych metod pomiaru, która umożliwia również realizację do niedawna niewykonalnych zadań. Jej największym atutem przy określaniu objętości jest szybkość wykonywanych pomiarów. Obecnie RTK to jedna z najnowocześniejszych na świecie technologii dokładnych pomiarów uzyskiwanych w czasie rzeczywistym. Konkurować może z nią tylko interferometria radarowa oraz skaning laserowy. Po zakończonym pomiarze mamy do dyspozycji gotowe współrzędne, na podstawie których przechodzimy do obliczenia objętości w dowolnym programie geodezyjnym. Praca z odbiornikiem GPS nie wymaga dużego nakładu pracy, a do jego obsługi wystarczy jedna osoba.



Foto. 1. Pomiar hałdy metodą RTK [15]



Foto. 2. Pomiar hałdy metodą RTK [15]



## 4.2. Fotogrametryczna

Metoda fotogrametryczna stosowana jest głównie przy inwentaryzacji obiektów trudno dostępnych, składowisk materiałów będących w ciągłej produkcji, bądź kontroli stanów magazynowanych. Zasada pomiaru opiera się na rejestrowaniu obrazów. Zdjęcia wykonywane są przy wykorzystaniu odpowiedniej kamery. Każdy obiekt fotografowany jest w kilku seriach, dzięki czemu uzyskiwana jest bardzo duża liczba ujęć. Zarejestrowany obraz posiada bardzo dużo informacji, co pozwala w dalszych etapach opracowania wyników na wierniejsze odtworzenie obiektu. Następnie przystępuje się do opracowania kameralnego. W pracowni fotogrametrycznej wykonywane są prace mające na celu wyznaczenie objętości. Przy wykorzystaniu stacji bazowej tworzone są modele mierzonych obiektów, poprzez generację nieregularnej siatki kwadratów. Powstałe w ten sposób modele przekazywane są do środowiska obliczeniowego. W efekcie końcowym powstają raporty z obliczeń oraz różnego rodzaju opracowania graficzne i numeryczne obrazujące stan inwentaryzowanych obiektów.

Głównymi zaletami pomiaru fotogrametrycznego są:

- ✓ krótki czas prac terenowych,
- ✓ precyzja,
- ✓ wysoka dokładność,
- ✓ nieinwazyjność,
- ✓ możliwość pomiaru obiektów niedostępnych.

Metoda ta jest obiektywna. Na wynik pomiaru nie ma wpływu osobista interpretacja pomiarowego. Poprzez automatyczne modelowanie powierzchni, pozwala ona na wierne odtworzenie rzeczywistych kształtów mierzonych hałd. Dzięki temu zostają wyeliminowane czynniki wpływające negatywnie na pomiar, a uzyskane wyniki są wiarygodne i rzetelne.



Foto. 3. Pomiar punktów wraz z wykonywaniem zdjęć na wysięgniku [13]

### 4.3. Skaning laserowy

Skaning laserowy jest to metoda bardzo nowoczesna i uniwersalna. Polega ona na szybkim wyznaczeniu współrzędnych XYZ dużej liczby punktów. W wyniku pomiaru otrzymywana jest tzw. "chmura punktów", która umożliwia wygenerowanie trójwymiarowego modelu skanowanego obiektu. Skaning laserowy wykorzystywany jest zarówno w pomiarach naziemnych, jak i lotniczych. W pomiarach naziemnych technologię tę realizują dwa systemy: tachimetrie skanujące oraz skanery laserowe. Pozyskują one miliony punktów wykonując rejestracje współrzędnych XYZ w dowolnym przestrzennym układzie współrzędnych. W tym celu umieszcza się skaner, bądź tachimetr na statywie geodezyjnym (*Foto.4*). Jeśli zachodzi taka potrzeba i celem pomiaru są obiekty o dużych gabarytach stosuje się pomiar z wielu stanowisk.



Foto. 4. Pomiar objętości tachimetrem skanującym [14]

Natomiast w pomiarach lotniczych skaner laserowy, umieszczony jest nieruchomo pod kadłubem samolotu (*Foto.5*).

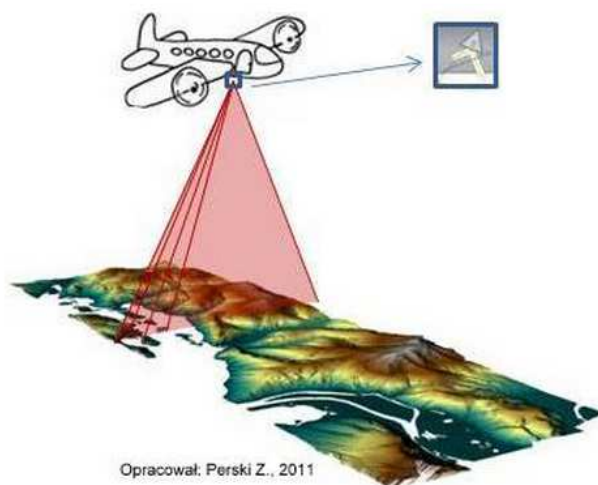


Foto. 5. Samolot wykonujący pomiar rzeźby terenu [14]

Po zakończeniu pomiaru uzyskane wyniki są przetwarzane (*Foto.6*). Usuwane są te punkty, które w kolejnych etapach opracowania nie zostaną wykorzystane. Następnie na podstawie przetworzonych danych tworzony jest NMT obiektu. Skanowanie laserowe pozwala na uzyskanie bardzo dokładnych informacji o geometrii obiektu, co z kolei wpływa na jego wierniejsze odwzorowanie. Ponadto metoda ta umożliwia wykonywanie pomiaru w miejscach niedostępnych oraz obszarach stanowiących zagrożenie.

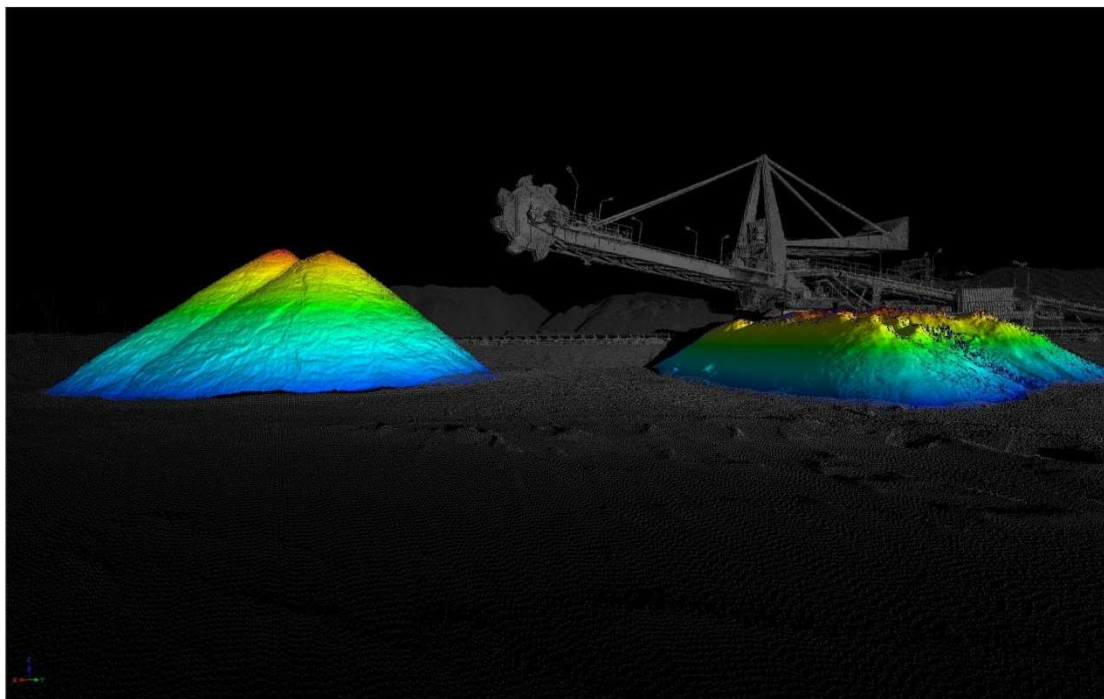


Foto. 6. Etap przetwarzania wyników pomiaru [16]

Podsumowując, wybór metody pomiaru uzależniony jest przede wszystkim od charakteru powierzchni terenu. Coraz częściej stosuje się metody bez fizycznego udziału geodety. W pomiarach fotogrametrycznych oraz z zastosowaniem skaningu pomiar jest niezależny, a na wynik nie wpływa osobista interpretacja pomiarowego. Nie można tego powiedzieć natomiast o metodach klasycznych. W tym przypadku geodeta w trakcie pomiaru w terenie interpretuje na bieżąco kształt hałdy, przez co wynik jest nieobiektywny, a przy wielkich zwałowiskach niezbędna jest generalizacja mierzonego obiektu. Przy wykorzystaniu metod klasycznych, często nie ma możliwości wiernego odtworzenia prawdziwego kształtu obiektu. Z kolei dla metody fotogrametrycznej nieregularne hałdy nie stanowią problemu technicznego. Ponadto metoda fotogrametryczna oraz skanowanie są ekonomiczne, wystarczająco dokładne, a przy tym ograniczają zakres prac polowych.



## 5. Opis techniczny wybranego zwałowiska

Mierzona hałda usytuowana jest na terenie otaczarni, w miejscowości Gniewczyna Łąncucka w powiecie przeworskim, województwo podkarpackie. Tymczasowa wytwórnia mas bitumicznych należy do firmy Polimex-Mostostal S.A., której siedziba znajduje się w Warszawie (*Foto.7*). Powyższa otaczarnia powstała w celu zapewnienia surowca na potrzeby budowy odcinka autostrady A4 łączącej Rzeszów (węzeł Rzeszów Wschód) – Jarosław (węzeł Wierzbna).



Foto. 7. Wytwórnia mas bitumicznych w Gniewczynie Łąncuckiej  
[źródło: fotografia własna]

Spośród wszystkich zwałowisk znajdujących się na terenie wytwórni wybrano jedno, wyróżniające się pod względem wyrazistych kształtów, dogodnych warunków do pomiaru, a także możliwością zaprojektowania odpowiedniej osnowy pomiarowej. Inwentaryzowany obiekt położony jest w północno-wschodniej części działki, na której usytuowana jest otaczarnia. Składowany materiał to kruszywo naturalne, łamane o frakcji 0/4 wapienne, używane jako jeden z komponentów do produkcji mas bitumicznych, wykorzystywane w budownictwie drogowym.



Foto. 8. Inwentaryzowany obiekt od strony północno-wschodniej  
[źródło: fotografia własna]

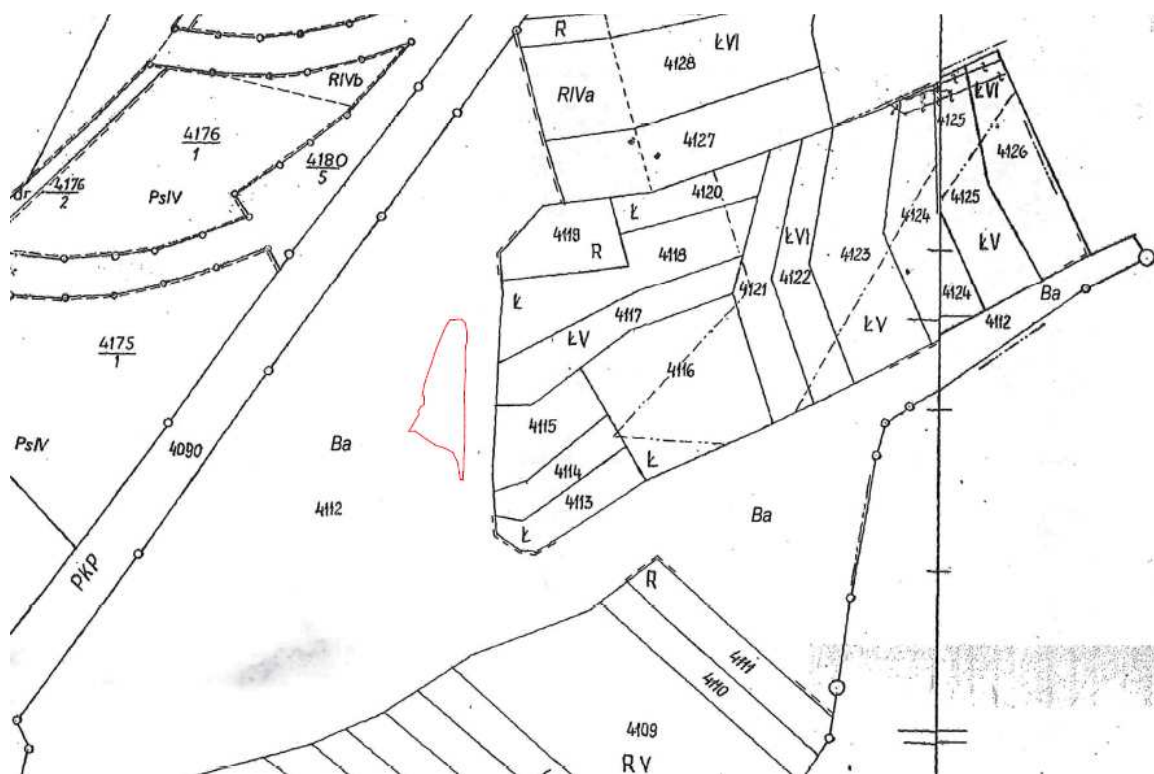
Wymiary inwentaryzowanego obiektu:

- długość około 60 m,
- szerokość, w najszerszym miejscu około 30m, natomiast w najwęższym około 10m,
- wysokość około 7m.



Foto. 9. Inwentaryzowany obiekt od strony południowo-wschodniej

[źródło: fotografia własna]



Rys. 11. Szkic lokalizacyjny inwentaryzowanego obiektu na terenie otaczarni

[źródło: opracowanie własne]

## 6. Specyfikacja instrumentów pomiarowych

Tachimetr elektroniczny to podstawowe wyposażenie każdego geodezyjnego zespołu pomiarowego. Stanowi on połączenie funkcji teodolitu oraz dalmierza. Przeznaczony jest do pomiaru kątów poziomych i pionowych, a także odległości. Współczesne tachimetry elektroniczne dają możliwość wykonywania bardzo skomplikowanych prac inżynierskich. Wyposażone są w klawiaturę bądź dotykowy ekran, system umożliwiający odczyt oraz różnego rodzaju programy pozwalające na zastosowanie rozmaitych technik pomiarowych. Standardem jest możliwość wykonywania pomiarów bez konieczności korzystania reflektora dalmierczego. Istnieją również tachimetry, które same rozpoznają cel i automatycznie wykonują celowanie, a dodatkowo wiązką lasera skanują cały obiekt. Są to tzw. tachimetry zrobotyzowane do jednoosobowej obsługi. Wszelkiego rodzaju innowacyjne rozwiązania technologiczne zastosowane w tachimetrach sprawiają, że obsługa danego instrumentu staje się prostsza i wymaga mniejszego nakładu pracy. Coraz większy wpływ na wykonywanie pomiarów ma rozwój technologii satelitarnych. Dzięki tym pomiarom możliwe jest wyznaczanie współrzędnych danego obiektu o dowolnej porze, w każdych warunkach atmosferycznych, a także w dowolnym miejscu na kuli ziemskiej. Po za tym pomiar GPS jest znacznie szybszy od klasycznych metod wykonywania pomiarów, natomiast uzyskane wyniki są bardzo dokładne.

Podczas wykonywania pomiarów wykorzystano tachimetr bezlustrowy FlexLine plus TS02 R500 7" firmy Leica (*Foto.10*) oraz zestaw Trimble SPS 882 GNSS (*Foto.11, 12*). Tachimetry firmy Leica są to urządzenia znane z wysokiej jakości, zapewniające pełną wszechstronność i wydajność w pracach geodezyjnych. Seria FlexLine występuje na rynku w trzech modelach: TS02, TS06, TS09, z pięcioma możliwymi do wyboru dokładnościami kątowymi. Tachimetr TS02 jest idealny do podstawowych pomiarów geodezyjnych. Wyposażony jest w standardową klawiaturę oraz wysokiej rozdzielczości wyświetlacz, dzięki któremu możliwy jest natychmiastowy podgląd pomiarów. Pozwala na wyznaczanie odległości do reflektora na odległość 3500m. Umożliwia także wykonywanie pomiarów bezlustrowych o zasięgu do 500m. Dokładność pomiaru odległości na przyzmat wynosi 1,5mm+2ppm, natomiast do dowolnej powierzchni 2mm+2ppm. Jedną z zalet tego instrumentu jest możliwość eksportu bądź importu danych przez złącze USB lub Bluetooth, dzięki temu użytkownik nie musi łączyć tachimetru z komputerem i ustawiać parametrów transmisji.



Foto. 10. Tachimetr elektroniczny Leica TS02  
[źródło: fotografia własna]

Wykorzystany w pomiarach instrument jest prosty w obsłudze, przez co praca przebiegała w sposób szybki i płynny. Jego czytelne menu oraz wskazówki wyświetlane na ekranie zapewniały komfort pracy. Dzięki temu, że tachimetr jest odporny na pył i wodę umożliwiało to pracę w niekorzystnych warunkach atmosferycznych.

Tabela 1. Parametry techniczne tachimetru Leica TS02

<b>POMIAR KĄTA(Hz, V)</b>	
<b>Dokładność</b>	3''(10 <sup>cc</sup> ), 5''(15 <sup>cc</sup> ), 7''(20 <sup>cc</sup> )
<b>Metoda</b>	Absolutna, ciągła, średnicowa
<b>Dokładność wyświetlania</b>	1''/1 <sup>cc</sup>
<b>POMIAR ODLEGŁOŚCI</b>	
<b>Pomiar bezlustrowy</b>	500m
<b>Pomiar na jedno lustro</b>	3,5km
<b>Dokładność pomiaru bezlustrowego</b>	±(2+2ppm x D)mm
<b>Dokładność pomiaru na lustro</b>	±(1,5+2ppm x D)mm
<b>Minimalny odczyt</b>	0.1mm
<b>Czas pomiaru lustrowego</b>	Standard 2s/Śledzenie 0.5s
<b>Czas pomiaru bezlustrowego</b>	Standard 2s/Śledzenie 0.5s
<b>LUNETY</b>	
<b>Powiększenia lunety</b>	30x
<b>Minimalna ogniskowa</b>	1,7m
<b>Pole widzenia lunety</b>	1°30'
<b>Obraz</b>	Prosty
<b>Średnica lunety</b>	45mm
<b>Wskaźnik lasera</b>	tak
<b>Zakres pracy kompensatora</b>	±3'
<b>Dokładność kompensatora</b>	2''
<b>LIBELLA</b>	
<b>Czułość libelli pudełkowej</b>	8'/2mm
<b>Czułość libelli rurkowej</b>	20''/2mm(elektroniczna)
<b>WŁAŚCIWOŚCI</b>	
<b>Wyświetlacz</b>	Monochromatyczny, graficzny, podświetlany, 160x288 pikseli
<b>Klawiatura</b>	Prosta kodowa
<b>System operacyjny</b>	WindowsCE 5.0core
<b>Waga instrumentu</b>	5.1kg
<b>Transmisja danych</b>	Kabel RS-232C/USB
<b>Pamięć wewnętrzna</b>	24 000 punktów
<b>Czas pracy na jednej baterii</b>	do 30godzin
<b>Temperatura pracy</b>	Od -20°C do +50°C
<b>Pyłoszczelność</b>	IP 5X
<b>Wodoszczelność</b>	IPX5

[źródło: opracowanie własne]



W skład zestawu Trimble SPS882 GNSS wchodzi: odbiornik Trimble SPS882 GNS oraz kontroler TSC2. Odbiornik przeznaczony jest głównie do prac geodezyjnych. Coraz większą rolę odgrywa również w pracach budowlanych i przy sterowaniu pracą maszyn budowlanych. Dzięki zaawansowanej technologii Trimble Maxwell odbiornik daje możliwość śledzenia większej liczby konstelacji satelitów, a co za tym idzie zwiększa się dokładność wykonywanych pomiarów w niesprzyjających warunkach. Sterowanie odbiornikiem odbywa się poprzez kontroler, a przy pomiarach RTK niezbędny jest radiomodem, za pomocą którego poprawki do obserwacji otrzymujemy w czasie rzeczywistym. Praca z odbiornikiem jest niezwykle szybka i prosta.



Foto. 11. Zestaw GPS Trimble SPS 882  
[źródło: fotografia własna]

Największymi zaletami odbiornika są:

- ✓ Praca w temperaturze od  $-40^{\circ}\text{C}$  do  $+65^{\circ}\text{C}$
- ✓ Wodoszczelność z zanurzeniem do głębokości 1m
- ✓ Pyłoszczelność
- ✓ Dokładność pomiaru RTK: pozioma 8mm+1ppm RMS, pionowa 15mm+1ppm RMS
- ✓ Czas pracy na wbudowanym akumulatorze 5 godzin



Foto. 12. Odbiornik GPS firmy Trimble [17]



## 7. Założenie geodezyjnej osnowy pomiarowej

Dnia 2 września 2013r. przystąpiono do prac pomiarowych, związanych z określeniem objętości wybranego zwałowiska. Prace rozpoczęto od uzyskania zgody na wejście na teren otaczarni należącej do firmy Polimex-Mostostal S.A. oraz możliwość przeprowadzenia pomiarów. Na podstawie przeprowadzonego wywiadu terenowego stwierdzono, że najlepszą metodą pomiaru osnowy będzie metoda kierunkowa, natomiast najdogodniejszą metodą pomiaru hałdy będzie pomiar tachymetryczny.

### 7.1. Stabilizacja punktów osnowy

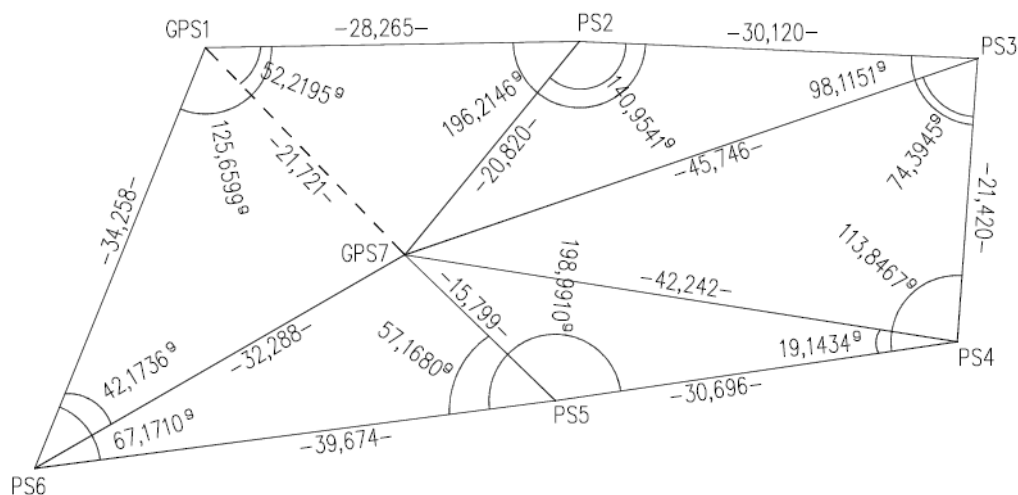
Pomiar rozpoczęto od założenia osnowy pomiarowej. Osnowa składała się z sześciu punktów, równomiernie rozmieszczonych wokół inwentaryzowanego obiektu. Dodatkowo, w celu wzmocnienia sieci, założono punkt nr GPS7 na szczycie mierzonej hałdy. Punkty zastabilizowano palikami drewnianymi (*Foto.13*), w miejscach dogodnych do pomiaru z zapewnieniem widoczności między punktami. Z uwagi na ciągłą eksploatację składowanego kruszywa, tzn. na wybieranie lub dosypywanie zmieniają się jego kształty i wymiary, przez co punkty osnowy pomiarowej stabilizowane są tymczasowo i nie jest konieczne sporządzanie opisów topograficznych. Mając założoną osnowę przystąpiono do jej pomiaru.



Foto. 13. Zastabilizowany punkt osnowy pomiarowej  
[źródło: fotografia własna]

## 7.2. Pomiar geodezyjny sieci punktów osnowy

Do pomiaru kątów w naszej sieci zastosowano metodę trzech statywów. Metoda ta ma na celu ograniczenie do minimum wpływu przypadkowych błędów centrowania tachimetru i sygnałów na błąd pomiaru kierunków i odległości. Jak wspomniano wyżej, pomiar wykonano metodą kierunkową w dwóch położeniach lunety. W celu zwiększenia dokładności pomiar wykonano w dwóch seriach. Wysokości punktów określono za pomocą niwelacji trygonometrycznej. Obejmowała ona pomiar kątów pionowych w dwóch położeniach lunety (*załącznik nr 5*). Dodatkowo na każdym stanowisku zmierzono wysokość instrumentu oraz sygnałów ustawionych na kierunku lewym oraz prawym. Wyniki sukcesywnie notowano do dzienników pomiarowych (*załącznik nr 4*).



Rys.12. Szkic osnowy pomiarowej

[źródło: opracowanie własne]

Na dwóch punktach osnowy ustawiono odbiornik GPS i wykonano pomiar statyczny, trwający jedną godzinę, przy interwale rejestracji 1s (*Foto.14*). Przygotowanie odbiornika do pomiaru obejmowało: zmierzenie wysokości do środka zderzaka, wprowadzenie wszystkich niezbędnych parametrów oraz sporządzenie szkiców przysłonięcia horyzontu satelitarnego (*załącznik nr 3*). Dzięki pomiarowi GPS uzyskano współrzędne w układzie PUGW 2000 strefa 8 oraz wysokości punktów w układzie Kronsztad 86. Dane te posłużyły do wyrównania osnowy, a także do określenia wysokości pozostałych punktów sieci.



Foto. 14. Odbiornik GPS Trimble podczas pomiaru statycznego

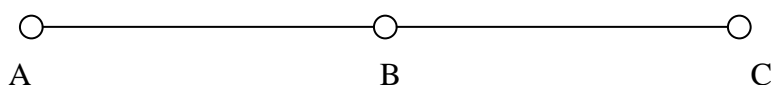
[źródło: fotografia własna]

## 8. Obliczenie współrzędnych punktów osnowy pomiarowej

### Wyznaczenie stałej dalmierza

Stała dalmierza dla instrumentu Leica TS02 wyznaczona została na terenie uczelni PWST-E w Jarosławiu. W tym celu skorzystano z istniejącej osnowy realizacyjnej w postaci filarów. Stałą wyznaczono dla dwóch rodzajów luster pomiarowych GPR1 oraz 360°, z których korzystano podczas wykonywania pomiarów.

W celu określenia stałej wykorzystano trzy filary, z zamontowanymi spodarkami. Na jednym z nich należało ustawić instrument, natomiast na dwóch pozostałych lustro pomiarowe i pomierzyć między nimi odległości. Kolejnym krokiem było przestawienie instrumentu odpowiednio na drugi oraz trzeci filar i wykonanie pomiaru odległości do luster. W wyniku czego uzyskano sześć odległości. Taki sam zestaw czynności wykonano dla drugiego lustra.



Zestawione odległości prezentują się następująco:

Tabela 2. Zestawienie odległości z pomiaru na filarach

Odległość	Typ lustra	
	GPR1	360°
AB	53,959	53,959
AC	107,955	107,954
BA	53,959	53,958
BC	53,996	53,995
CA	107,955	107,954
CB	53,999	53,995

[ źródło: opracowanie własne]

$$|AB| + c + |BA| + c + |BC| + c + |CB| + c = |AC| + c + |CA| + c \quad (20)$$

$$c = \frac{|AC| + |CA| - (|AB| + |BA| + |BC| + |CB|)}{2} \quad (21)$$

Tabela 3. Wielkości stałej dodawania dla obu luster

Stała	Typ lustra	
	GPR1	360
c	-1,5mm	0,5mm

[ źródło: opracowanie własne]

Na podstawie otrzymanej wartości, zostały poprawione wszystkie długości boków osnowy, a następnie wykorzystane w wyrównaniu osnowy pomiarowej.

## 8.1. Wyrównanie ściśle sieci poziomej w programie GEONET

Proces wyrównania osnowy przeprowadzono w programie GEONET. W tym celu skorzystano z modułu obliczeniowego „*Osnowa*”, który umożliwia wyrównanie sieci płaskiej oraz wysokościowej. Ponadto program z przeprowadzonego procesu obliczeniowego generuje bardzo czytelny raport zawierający wyniki wyrównania. Wyrównanie sieci poziomej obejmowało wykonanie trzech kroków:

- ✓ wstępnej kontroli sieci poziomej,
- ✓ obliczenie współrzędnych przybliżonych,
- ✓ wyrównanie ściśle sieci poziomej.

Pierwszy z nich polegał na wykonaniu sprawdzenia istniejących zbiorów obserwacji. Program wykrywa ewentualne błędy grube, bądź pomyłki w numeracji. Następnie automatycznie obliczane są współrzędne przybliżone. Ostatnim etapem jest wyrównanie ściśle sieci poziomej. Program umożliwia wyrównanie sieci dwoma metodami: najmniejszych kwadratów lub estymacji mocnej. W efekcie końcowym otrzymujemy plik z opisem wyrównania, a także wykaz współrzędnych wyrównanych wraz z parametrami oceny dokładności.

Do wykonania obliczeń niezbędne było stworzenie plików wsadowych do programu, które należało podać przed wyrównaniem sieci. Jeden z nich zawierał uśrednione kąty (*Tabela nr 4*), natomiast drugi uśrednione długości poprawione o stałą dalmierza (*Tabela nr 5*). Konieczne było również podanie wartości błędu średniego pomiaru kąta oraz błędu średniego mierzonej długości. Błąd kąta, jaki przyjęto do wagowania to  $13''$ , uzyskany na podstawie wyrównania par spostrzeżeń jednakowo dokładnych, natomiast dla długości przyjęto błąd 1,5mm odczytany z metryczki instrumentu. Jako stałe w wyrównaniu przyjęto współrzędne punktu nr GPS1 oraz azymut na punkt nr GPS7. Współrzędne punktów uzyskano z pomiaru statycznego w układzie współrzędnych PUWG 2000. Wyrównanie sieci wykonano metodą najmniejszych kwadratów. Ostateczne współrzędne z wyrównania w programie GEONET zestawiono w tabeli nr 6. W wyniku wyrównania otrzymano błędy średnie obserwacji wyrównanych przedstawione w tabeli nr 7. Pełen raport z przeprowadzonego wyrównania sieci płaskiej w programie zamieszczono w załączniku nr 7.

Tabela 4. Zestawienie uśrednionych kątów

Stanowisko	Kierunek			Kąt [°]
	Lewy	Centralny	Prawy	
GPS1	PS2	GPS1	GPS7	52,2195
	PS2	GPS1	PS6	125,6599
PS2	PS3	PS2	GPS7	140,9541
	PS3	PS2	GPS1	196,2146
PS3	PS4	PS3	GPS7	74,3945
	PS4	PS3	PS2	98,1151
PS4	PS5	PS4	GPS7	19,1434
	PS5	PS4	PS3	113,8467
PS5	PS6	PS5	GPS7	57,1680
	PS6	PS5	PS4	198,9910
PS6	GPS1	PS6	GPS7	42,1736
	GPS1	PS6	PS5	67,1710

[źródło: opracowanie własne]

Tabela 5. Zestawienie uśrednionych odległości

Stanowisko	Cel	Odległość [m]
GPS1	PS2	28,265
	GPS7	21,721
	PS6	34,258
PS2	PS3	30,120
	GPS7	20,820
	GPS1	28,265
PS3	PS4	21,420
	GPS7	45,746
	PS2	30,12
PS4	PS5	30,696
	GPS7	42,242
	PS3	21,420
PS5	PS6	39,674
	GPS7	15,799
	PS4	30,696
PS6	GPS1	34,258
	GPS7	32,288
	PS5	39,674

[źródło: opracowanie własne]

Tabela 6. Ostateczne współrzędne osnowy pomiarowej

<i>Nr punktu</i>	<i>X [m]</i>	<i>Y [m]</i>
GPS1	5552796,9920	8394447,5290
GPS7	5552809,3699	8394465,3780
PS2	5552824,9672	8394451,5910
PS3	5552854,4665	8394457,6826
PS4	5552849,5156	8394478,5234
PS5	5552818,8209	8394478,0399
PS6	5552779,1644	8394476,7859

[źródło: opracowanie własne]

----- geonet_2006-----							
W S P Ó Ł R Z Ę D N E				W Y R Ó W N A N E			
Lp.	NR PUNKTU	X	Y	Mx A	My B	Mp Fi	Inf
1	2	5552824.9672	8394451.5910	0.0007 0.0008	0.0007 0.0006	0.0010 49.70	
2	7	5552809.3699	8394465.3780	0.0000 0.0005	0.0005 0.0000	0.0005 100.00	
3	6	5552779.1644	8394476.7859	0.0008 0.0012	0.0011 0.0007	0.0014 67.25	
4	3	5552854.4665	8394457.6826	0.0008 0.0016	0.0016 0.0008	0.0018 88.27	
5	4	5552849.5156	8394478.5234	0.0009 0.0016	0.0016 0.0008	0.0018 120.99	
6	5	5552818.8209	8394478.0399	0.0007 0.0008	0.0008 0.0007	0.0010 125.84	
7	1	5552796.9920	8394447.5290	0.0000 0.0000	0.0000 0.0000	0.0000 0.00	s

Przeciętny błąd położenia Mp(sr) = 0.0013 m  
Maksymalny błąd położenia Mp(max) = 0.0018 m dla punktu: 4

#### SKRÓTY I OZNACZENIA:

Mp,Mx,My - błąd położenia i błędy śr. współrzędnych  
A,B,Fi - parametry elipsy błędu położenia  
s - stały punkt nawiazania  
rs - punkt nawiazania z założoną błędnością

#### INFORMACJE KONTROLNE:

Błąd średni jednostkowy Mo = 1.05291 (w. niemianowana)  
Estymaty cząstkowe Mo i liczby stopni swobody:  
- dla długości Mo(1) = 1.14337 f1 = 11.0  
- dla kątów Mo(2) = 0.95025 f2 = 7.4  
Globalna wartość Mo wskazuje na poprawność wagowania  
Liczba punktów wyznaczanych w sieci bez kontroli: 0

----- geonet 2006 (c)algores-soft-----  
Koniec obliczeń:17:01:49

Rys. 13. Fragment raportu z wyrównania osnowy pomiarowej w programie GEONET  
[źródło: opracowanie własne]

Tabela 7. Wartości błędów średnich obserwacji wyrównanych

<b><i>Błędy średnie obserwacji wyrównanych</i></b>		
Empiryczny błąd średni jednostkowy	$M_0$	1.05291
Średni błąd położenia punktu	$Mp_{sr}$	0.0013 m
Maksymalny błąd położenia punktu	$Mp_{max}$	0.0018 m

[źródło: opracowanie własne]

## 8.2. Obliczenie sieci wysokościowej w programie WinKalk

Wyrównanie sieci wysokościowej przeprowadzono w programie WinKalk. Wysokości punktów określono za pomocą niwelacji trygonometrycznej wykonanej „tam” i „z powrotem”. Wielkości przewyższeń w obu kierunkach prezentują szkic polowy sporządzony w programie AutoCAD (załącznik nr 2). Pomiar wykonywano równocześnie podczas pomiaru sieci płaskiej, co znacznie przyspieszyło prace. Danymi niezbędnymi do obliczeń, które uzyskano z pomiaru terenowego było:

- ✓ kąt zenitalny z dwóch położen lunety,
- ✓ odległość pozioma pomierzona do punktu w przód oraz wstecz,
- ✓ wysokość instrumentu zmierzona na każdym stanowisku wraz z wysokościami celu

Mając wszystkie dane przystąpiono do obliczeń. W programie WinKalk skorzystano z modułu obliczeniowego „*Twórz niwelację trygonometryczną*”. W ten sposób pojawiło się okienko obliczeniowe z obserwacjami. Na ich podstawie wykonano obliczenia. Powyższe czynności zrealizowano dla niwelacji wykonanej w dwóch kierunkach: głównym oraz powrotnym (Rys. 14,15).

Hinst	Kąt V	Odl.skośna	Hcelu	dH	H	Nr
1,640	100,1357	28,266	1,605	-0,025	180,678	PS2
1,605	100,3566	30,122	1,575	-0,139	180,539	PS3
1,575	96,1204	21,461	1,575	1,307	181,846	PS4
1,575	100,3160	30,698	1,525	-0,102	181,744	PS5
1,525	99,4857	39,676	1,580	0,266	182,009	PS6
1,580	102,3260	34,281	1,640	-1,312	180,697	

Rys. 14. Niwelacja w kierunku głównym  
[źródło: opracowanie własne]

Hinst	Kąt V	Odl.skośna	Hcelu	dH	H	Nr
1,640	97,6690	34,281	1,580	1,315	182,018	PS6
1,580	100,5132	39,676	1,525	-0,265	181,753	PS5
1,525	99,6922	30,698	1,575	0,098	181,852	PS4
1,575	103,8764	21,461	1,575	-1,306	180,546	PS3
1,575	100,0042	30,122	1,445	0,128	180,674	PS2
1,605	99,8617	28,266	1,640	0,026	180,700	

Rys. 15. Niwelacja w kierunku powrotnym  
[źródło: opracowanie własne]

Niezbędne było przeliczenie odległości poziomych na skośne, ponieważ program na takich wykonuje obliczenia. W efekcie końcowym niezamknięcie niwelacji w kierunku głównym wyniosło -0.006m, natomiast w kierunku powrotnym -0.003m. Po rozrzuceniu odchyłek, które program oblicza automatycznie uzyskano wysokości punktów: PS2, PS3, PS4, PS5, PS6. Na podstawie otrzymanych wysokości z dwóch kierunków uśredniono je otrzymując ostateczne wysokości punktów sieci.

Tabela 8. Ostateczne wysokości punktów osnowy pomiarowej

Nr punktu	Wysokość [m]
PS2	180,677
PS3	180,544
PS4	181,851
PS5	181,751
PS6	182,016

[źródło: opracowanie własne]



## 9. Wybór i pomiar punktów reprezentujących badaną powierzchnię terenu

Na podstawie przeprowadzonego wywiadu terenowego stwierdzono, że najdogodniejszą metodą pomiaru hałdy będzie pomiar tachimetryczny (*Foto.15,16*). Pomiar ten polega na określeniu położenia sytuacyjnego mierzonych punktów metodą biegunową, natomiast wysokości tych punktów określone są na podstawie niwelacji trygonometrycznej. Czynnościami poprzedzającymi prace pomiarowe było: założenie obiektu, w którym rejestrowano obserwacje, pomierzenie wysokości instrumentu oraz lustra. Następnie przystąpiono do pomiaru hałdy, przy czym na każdym stanowisku wykonywano nawiązanie do dwóch punktów osnowy. Pikiety rozmieszczano w miarę możliwości równomiernie. Stawiano je w taki sposób, aby uwzględnić zróżnicowanie nachylenia zwałowiska, a mianowicie odpowiednio mniej pikiet na łagodniejszych stokach, więcej na stromych. W ten sposób uzyskano współrzędne punktów linii charakterystycznych oraz zmienność formy. W miarę postępu pomiaru sukcesywnie sporządzano szkic polowy, na którym zaznaczono przebieg linii charakterystycznych mierzonego obiektu, stanowisko pomiarowe z którego w danym momencie wykonywano pomiar, punkty osnowy na które wykonano nawiązanie.



Foto. 15. Pomiar inwentaryzacyjny wybranego zwałowiska  
[źródło: fotografia własna]





Foto. 16. Pomiar inwentaryzacyjny wybranego zwałowiska  
*[źródło: fotografia własna]*

Pomiaru dokonano z trzech stanowisk: GPS1, PS4, PS6, w wyniku czego uzyskano 179 pikiet. Sporządzono dwa szkice polowe z ich rozmieszczeniem i numeracją (*załącznik nr 1*). Po zakończonym pomiarze, z wcześniej założonego obiektu zgrano wszystkie obserwacje. Dzienniki z pomiaru tachimetrycznego przedstawia załącznik nr 8. Na podstawie ostatecznych współrzędnych osnowy przystąpiono do obliczenia współrzędnych XYZ punktów reprezentujących mierzoną powierzchnię. Współrzędne te posłużą do utworzenia numerycznego modelu terenu.

## 10. Obliczenie współrzędnych punktów reprezentujących badaną powierzchnię terenu.

Obliczenie współrzędnych punktów reprezentujących badaną powierzchnię terenu wykonano w programie WinKalk. W tym celu skorzystano z modułu obliczeniowego „Tachimetria” (Rys.16). Po wprowadzenia wszystkich niezbędnych danych m.in. współrzędnych stanowiska, nawiązania oraz wysokość instrumentu program automatycznie obliczył współrzędne wszystkich pikiet.

The screenshot shows the 'Tachimetria' window with the following data:

**Dane pomiarowe:** Odległość skośna + Kąt V

**Stanowisko:** GPS1, X: 5552796,992, Y: 8394447,529, H: 180,703

**Wys. instr.:** 1,515, **Odchyłka nawiązania:** -0,0064

**Nawiązanie 1:** PS2, X: 5552824,967, Y: 8394451,591, Kierunki nawięzań: 0,0001, Odległości zredukowane: 28,276 dh

**Nawiązanie 2:** PS6, X: 5552779,164, Y: 8394476,786, Kierunki nawięzań: 125,6668, Odległości zredukowane: 34,274 dh

Nr	Kier.Hz	Odl.skoś.	Kąt V	Hcelu	X	Y	H
1	14,1500	57,978	100,3180	1,500	5552851,124	8394468,301	180,428
2	13,2281	54,572	100,3009	1,500	5552848,222	8394466,341	180,460
3	12,8281	50,108	100,2861	1,500	5552844,139	8394464,507	180,493
4	12,7098	46,947	100,1327	1,500	5552841,194	8394463,354	180,620
5	12,3347	43,397	100,1519	1,500	5552837,937	8394461,916	180,614
6	12,4502	39,944	100,2075	1,500	5552834,655	8394460,840	180,588
7	12,5607	35,501	100,2797	1,500	5552830,445	8394459,417	180,562

Rys. 16. Moduł obliczeniowy współrzędnych punktów w programie Winkalk  
[źródło: opracowanie własne]

W efekcie końcowym w programie wygenerowano raport z przeprowadzonych obliczeń współrzędnych punktów. Otrzymane raporty zamieszczono w załączniku nr 9. Na podstawie obliczonych współrzędnych pikiet przystąpiono do określenia objętości zwałowiska.

## 11. Programy geodezyjne

Programy geodezyjne są podstawowym narzędziem pracy każdego geodety. Tak jak żadnego pomiaru geodezyjnego nie można wykonać bez pomocy odpowiedniego sprzętu, tak samo każde opracowanie wyników wymaga odpowiedniego programu.

Wybierając oprogramowanie geodezyjne dla potrzeb działalności swojej firmy każdy geodeta powinien kierować się kilkoma przesłankami pozwalającymi dobrać odpowiednie oprogramowanie do swoich potrzeb. Wykonując drobne roboty geodezyjne skorzysta on z mniej rozbudowanych programów, a co za tym idzie tańszych. W przypadku obsługi dużych inwestycji np. liniowych, budowlanych i drogowych skorzysta z rozbudowanych programów pozwalających na zaawansowane opracowywanie wyników pomiaru. Do wykonania obliczeń związanych z określeniem objętości mierzonego zwałowiska wykorzystano następujące programy:

- ✓ Winkalk,
- ✓ C-Geo,
- ✓ MicroStation z nakładką Bentley InRoads,
- ✓ Surfer.

Każdy z tych programów ma inne zastosowanie i do innych prac może być wykorzystywany. Każdy z nich umożliwia utworzenie NMT, niezbędnego do określenia objętości. W lepszym lub gorszym stopniu odzwierciedlającym jego kształty. Dodatkowo istnieje możliwość wyświetlenia modelu na wiele sposobów, a także edytowanie go w dowolny sposób. Programy typowo obliczeniowe mają gorzej rozbudowane narzędzia do wizualizacji obiektu, przez co model nie prezentuje się tak dobrze jak ma to miejsce w programach typowo graficznych.

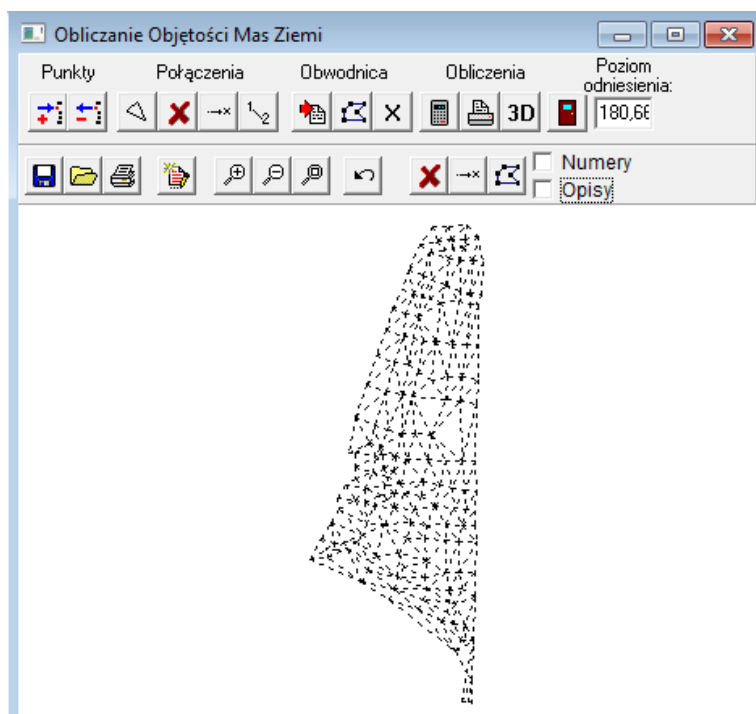
## 11.1. Program WinKalk

WinKalk to jeden z najbardziej popularnych programów geodezyjnych stosowanych przez geodetów. Wykorzystywany jest głównie do wykonywania podstawowych obliczeń geodezyjnych. Posiada ponad 30 funkcji obliczeniowych. Swoją ogromną popularność zawdzięcza zarówno przejrzystości jak i prostocie obsługi. Dzięki temu każdy użytkownik jest w stanie z nim pracować bez żadnego profesjonalnego szkolenia. Zasada działania programu opiera się na pracy przy użyciu wielu okien. Każde z tych okien spełnia inną funkcję obliczeniową. Ponadto dla bardziej wymagających, firma Coder, która jest twórcą programu WinKalk, umożliwia korzystanie z dodatkowych opcji obliczeniowych. Należą do nich m.in.:

- ✓ Moduł trasy,
- ✓ Moduł rejestrator,
- ✓ Moduł wyrównanie,
- ✓ Moduł niwelacja,
- ✓ Moduł transformacja układów.

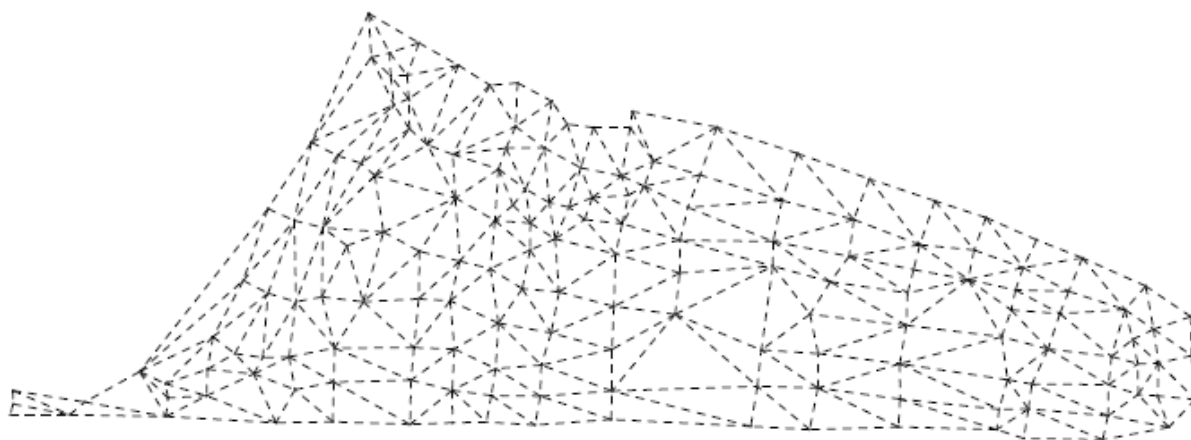
Każda z funkcji oprogramowania umożliwia wygenerowanie raportu z obliczeń oraz sporządzenie szkicu obliczanej konstrukcji geodezyjnej. Wbudowany moduł graficzny pozwala na podstawową edycję rysunku. Możliwa jest również transmisja danych z rejestratora, bądź tachimetru. W wersji bazowej programu zgromadzono większość funkcji obliczeniowych niezbędnych do wykonywania obliczeń w przeciętnej firmie geodezyjnej.

Program WinKalk umożliwia określenie objętości mas ziemnych poprzez dwa moduły obliczeniowe, takie jak: „Objętość mas ziemi” oraz „Objętość mas graficznie”. Do wyznaczenia objętości mierzonego zwałowiska skorzystano z drugiego modułu (Rys.17), ponieważ pozwala on na edycję trójkątów tworzonych przez program.



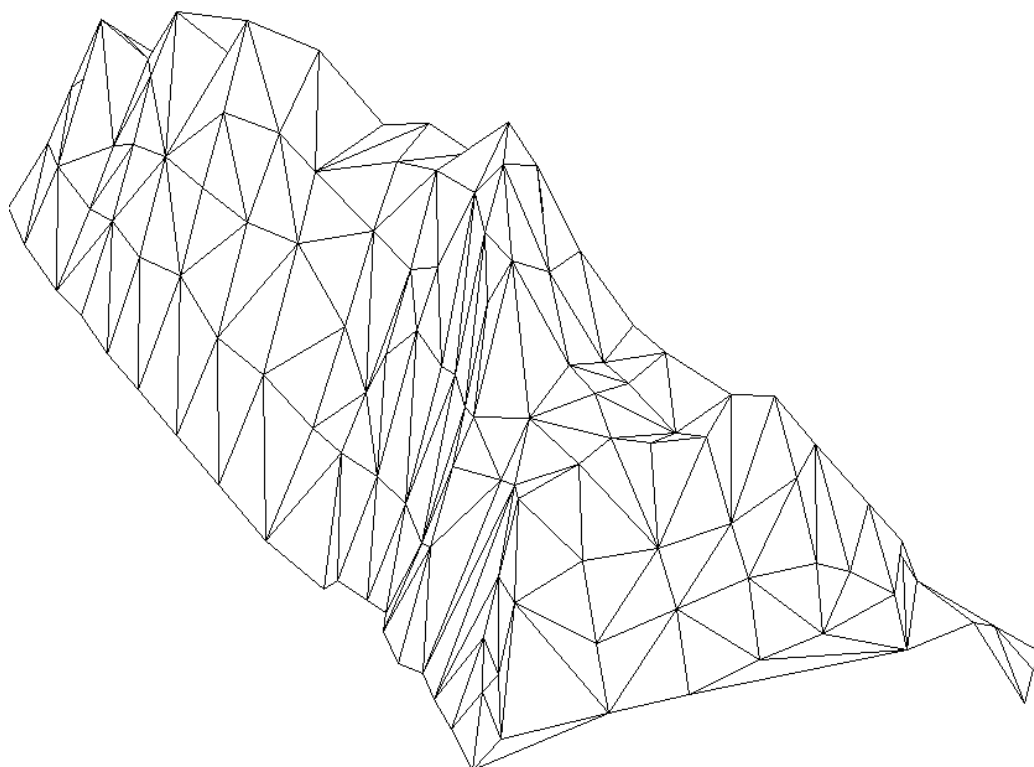
Rys.17. Okno obliczeń „Objętości mas graficznie” programu WinKalk  
[źródło: opracowanie własne]

W pierwszej kolejności dokonano wyboru punktów, które posłużą do opracowania modelu terenu. Na ich podstawie program generuje siatkę trójkątów (Rys.18). Użytkownik może ją w dowolny sposób edytować dodając lub usuwając połączenia między punktami.



Rys. 18. Siatka trójkątów wygenerowana przez program Winkalk  
[źródło: opracowanie własne]

Na podstawie wygenerowanej siatki trójkątów oraz po edycji połączeń, można przystąpić do określenia kubatury mierzonego obiektu. Proces obliczeniowy uruchamia ikonka „Oblicz wszystko”. Dodatkowo program posiada opcję, która pozwala na tworzenie modelu 3D (Rys.19). Model można przeskalować w kierunku osi Z oraz dowolnie obracać.



Rys.19. Model 3D mierzonego obiektu wygenerowany w programie Winkalk  
[źródło: opracowanie własne]

W wyniku przeprowadzonych obliczeń otrzymano raport (Rys.20), z którego można odczytać informacje dotyczące:

- przyjętego poziomu odniesienia,
- wyliczonej objętości,
- poła powierzchni skośnego,
- oraz punktów terenu na podstawie, których obliczono kubaturę mierzonego obiektu.

Pełen raport wygenerowany w programie WinKalk prezentuje załącznik nr 10.

Data: 11-12-2013

Obiekt C:\WinKalk\obliczenie pikiet

Układ 2000

### OBLICZENIE OBJĘTOŚCI MAS ZIEMI

Poziom odniesienia: 180,66

Objętość: 2899,86

Pole pow. skośne: 1283 m<sup>2</sup>

Pomierzone punkty:

Nr	X	Y	H
1	5552851,124	8394468,301	180,428
2	5552848,222	8394466,341	180,460
3	5552844,139	8394464,507	180,493
4	5552841,194	8394463,354	180,620
5	5552837,937	8394461,916	180,614
6	5552834,655	8394460,840	180,588
7	5552830,445	8394459,417	180,562
8	5552825,791	8394457,765	180,579
9	5552820,628	8394456,059	180,547
10	5552815,191	8394455,051	180,582

Rys.20. Fragment raportu uzyskanych wyników w programie Winkalk

[źródło: opracowanie własne]

Na podstawie wykonanych obliczeń otrzymano objętość inwentaryzowanego obiektu dla przyjętego poziomu odniesienia równą 2899,9 m<sup>3</sup>.

WinKalk jest programem prostym i przejrzystym. Wykonanie obliczeń związanych z określeniem objętości nie sprawiło większych trudności. Dzięki jego czytelnemu menu wynik uzyskano w zaledwie kilku krokach.

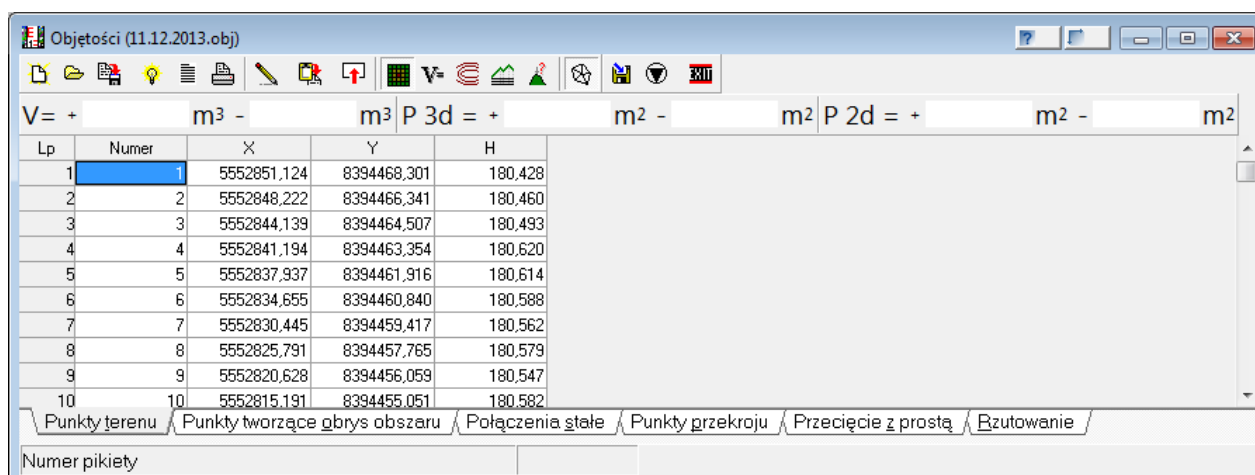
Dostępne funkcje programu w zupełności wystarczają do wykonywania podstawowych obliczeń geodezyjnych. Natomiast do bardziej skomplikowanych zagadnień niezbędne jest użycie bardziej zaawansowanych programów oraz funkcji. Świadczyć mogą o tym choćby bardzo ubogie możliwości od strony graficznej, co uwidacznia się brakiem możliwości edytowania modelu. Możliwe jest tylko manipulowanie osią Z oraz obrót modelu w dowolnym kierunku.



## 11.2. Program C-Geo

C-Geo jest to program nowoczesny i bardzo rozbudowany. Stanowi ogromne narzędzie pracy dla geodetów i projektantów. Posiada on wiele rozwiniętych funkcji geodezyjnych. Jedną z zalet tego oprogramowania jest bezpośrednie połączenie w jednym panelu części obliczeniowej z częścią graficzną. Dzięki temu możliwe jest tworzenie zarówno map na warstwach, jak również wykonywanie obliczeń i generowanie raportów. Dodatkowo poprzez systematyczną aktualizację, C-Geo stale się rozwija. W ten sposób stwarza swoim użytkownikom coraz to większe możliwości przy opracowywaniu wyników z pomiarów. Poprzez szeroką paletę narzędzi pozwala na rozwiązywanie wszelakich zadań obliczeniowych. Umożliwia również współpracę z tachimetrami, niwelatorami kodowymi i rejestratorami. Ponadto daje możliwość wczytywania rastrów w różnych formatach graficznych, ich kalibrację oraz transformację między układami. Posiada także nieograniczoną bazę współrzędnych geodezyjnych, która jest ściśle powiązana z mapą. Program wyposażony jest również w funkcje przyspieszające powstawanie mapy, co wpływa na wzrost efektywności przy wykonywaniu większych opracowań mapowych.

Obliczenie objętości w programie C-Geo rozpoczęto od wyboru modułu obliczeniowego „Obliczenia objętości, warstwice” (Rys.21). Funkcja ta umożliwia utworzenie numerycznego modelu terenu i wykorzystanie go do obliczenia objętości, a także do tworzenia przekrojów pionowych i interpolacji warstw. Składa się ona z sześciu zakładek.

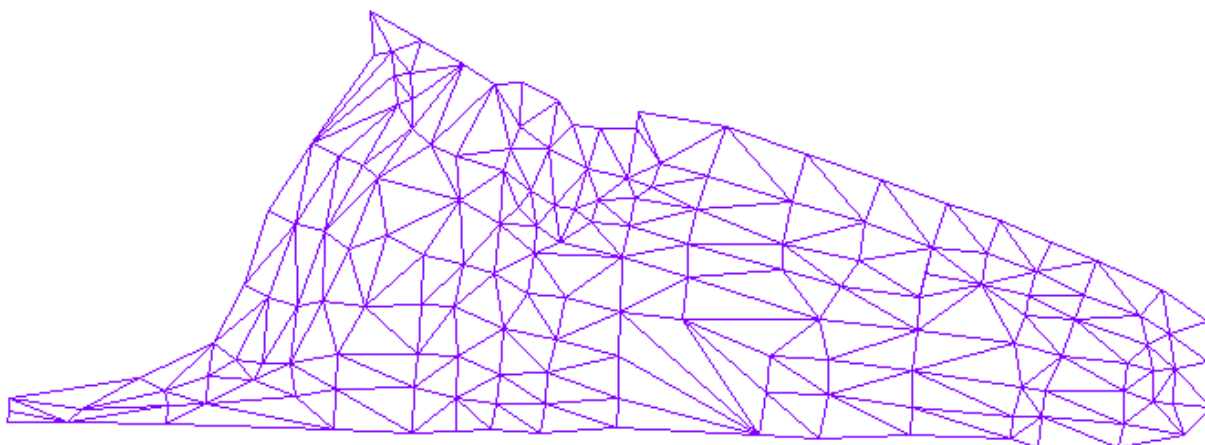


Rys. 21. Okno modułu „Obliczanie objętości, warstwice” programu C-Geo

[źródło: opracowanie własne]

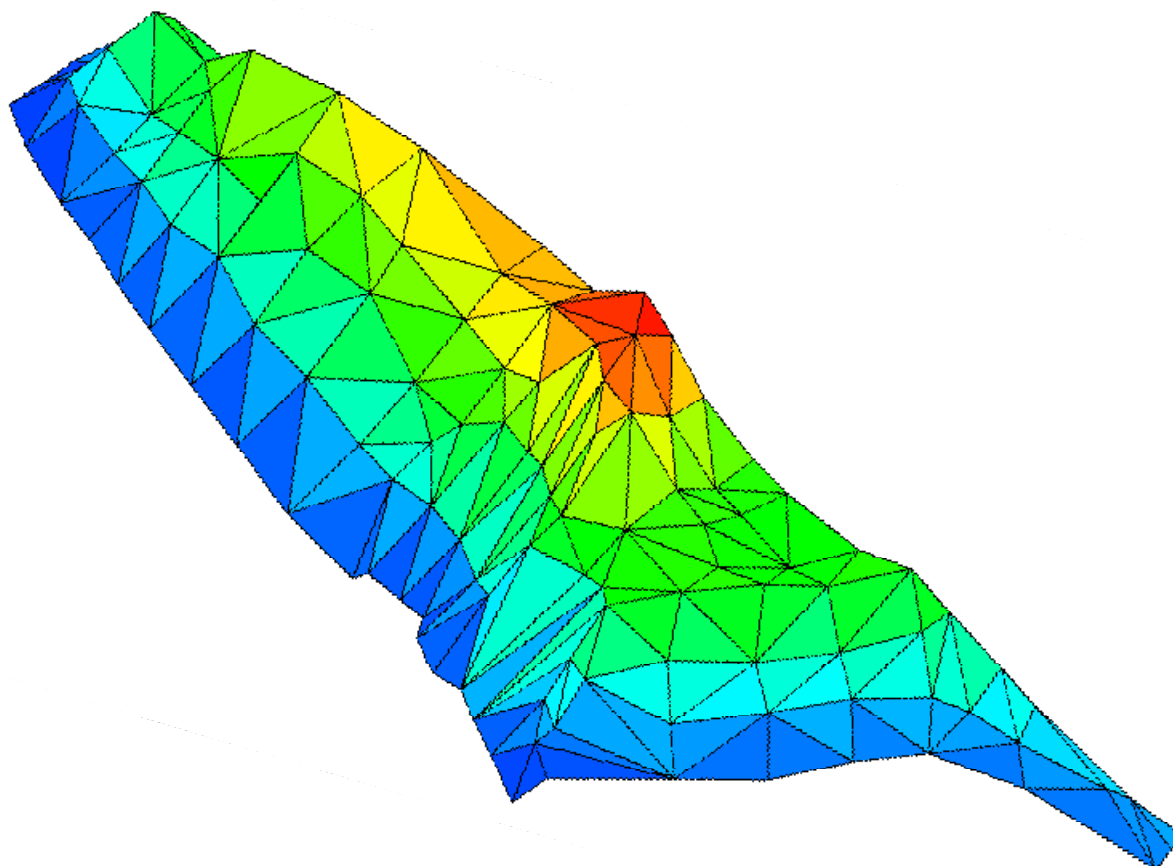
W pierwszej kolejności do zakładki *punkty terenu* należało zaimportować współrzędne z bazy punktów. Następnie w zakładce *punkty tworzące obrys obszaru* wprowadzono współrzędne punktów obwodnicy mierzonego obiektu. Kolejnym krokiem było podanie połączeń między punktami. Oznaczono w ten sposób miejsca charakterystyczne. Wpłynęło to na wierniejsze odtworzenie obiektu oraz zwiększyło dokładność obliczeń objętości. Po wprowadzeniu danych należało określić rodzaj modelu. W programie wyróżnia się dwie metody tworzenia modelu: siatki kwadratów oraz siatki trójkątów. Pierwsza z nich polega na wprowadzeniu zbioru punktów rozproszonych regularnej siatki kwadratów z wyliczonymi wysokościami węzłów. Natomiast, metoda druga jest bardziej dokładna, a model terenu powstaje na podstawie algorytmu automatycznej triangulacji.

Do wykonania obliczeń przyjęto drugą metodę i wygenerowano siatkę trójkątów (Rys.22).



Rys. 22. Siatka trójkątów w programie C-Geo  
[źródło: opracowanie własne]

Na podstawie wygenerowanej siatki trójkątów utworzono model 3D (Rys.23). Dzięki narzędziom graficznym programu możliwe jest obracanie modelu w dowolnym kierunku, zmiana jego skali w kierunku osi Z oraz nadanie koloru siatce.



Rys. 23. Model 3D obiektu w programie C-Geo  
[źródło: opracowanie własne]



Obliczenie objętości wykonano względem przyjętego poziomu odniesienia. Dodatkowo niezbędny jest wybór modelu, na podstawie którego program wykona obliczenia (Rys.24). Program umożliwia także określenie kubatury mierzonego obiektu poprzez podanie dowolnej płaszczyzny zadanej przez trzy punkty. W wyniku końcowym otrzymano również wartość pola przestrzennego modelu oraz jego rzut na płaszczyznę poziomą.

Rys. 24. Okno „Obliczenie objętości” programu C-Geo  
[źródło: opracowanie własne]

Uzyskany wynik objętości przedstawia poniższy fragment raportu, utworzony przez program (Rys.25). Pełen raport prezentuje załącznik nr 11. Raport zawiera następujące informacje:

- poziom odniesienia przyjęty do obliczeń,
- obliczoną objętość ponad oraz poniżej płaszczyzny odniesienia,
- wykaz współrzędnych punktów reprezentujących badany obiekt.

## OBLICZENIE OBJĘTOŚCI

Płaszczyzna odniesienia pozioma  $h = 180.660$  m.

Obliczona objętość :

- ponad płaszczyznę odniesienia  $V1 = 2912.49$  m<sup>3</sup>.

- pod płaszczyznę odniesienia  $V2 = -0.66$  m<sup>3</sup>.

Powierzchnia 3D nasypu = 1275.4376 m<sup>2</sup>

Powierzchnia 3D wykopu = 12.4187 m<sup>2</sup>

Powierzchnia 2D nasypu = 1091.3193 m<sup>2</sup>

Powierzchnia 2D wykopu = 10.7964 m<sup>2</sup>

Model: trojkaty

WYKAZ WSPÓŁRZĘDNYCH (punkty terenu wykorzystane do interpolacji)

	Numer	X	Y	H
	1	5552851.124	8394468.301	180.428
	2	5552848.222	8394466.341	180.460
	3	5552844.139	8394464.507	180.493
	4	5552841.194	8394463.354	180.620
	5	5552837.937	8394461.916	180.614

Rys. 25. Fragment raportu uzyskanych wyników w programie C-Geo  
[źródło: opracowanie własne]

W wyniku obliczeń otrzymano objętość mierzonego obiektu dla przyjętego poziomu odniesienia równą 2911,8 m<sup>3</sup>.

Wartość powyżej poziomu odniesienia = +2912,5 m<sup>3</sup>

Wartość poniżej poziomu odniesienia = -0,7 m<sup>3</sup>

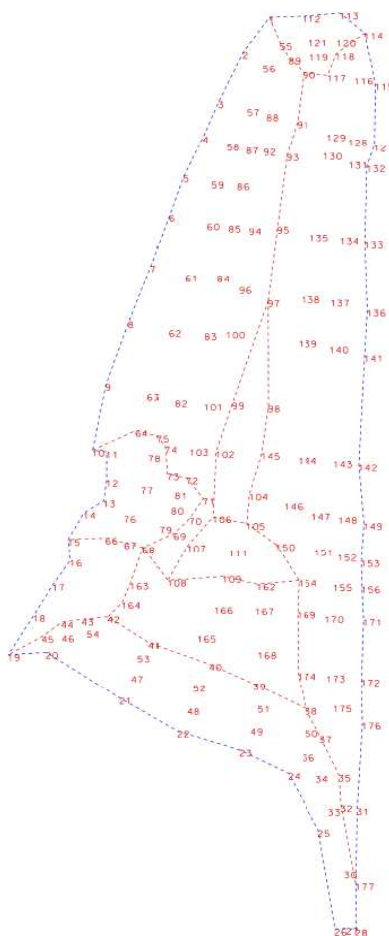
Objętość mierzonego obiektu = 2911,8 m<sup>3</sup>

Program C-Geo jest jednym z najlepiej rozwiniętych programów geodezyjnych, zarówno pod względem obliczeniowym jak i graficznym. Moduł obliczania objętości pozwala w sposób płynny poruszać się między kolejnymi etapami obliczeń, dążąc do utworzenia modelu terenu, a w wyniku końcowym do otrzymania objętości. Dodatkowo umożliwia on wykonanie wielu operacji na utworzonym modelu, m.in.: interpolacja warstwic, przekrój pionowy przez model. Praca w programie jest stosunkowo prosta, aczkolwiek realizacja trudniejszych zagadnień wymaga od użytkownika zapoznania się z instrukcją obsługi.

### 11.3. Program MicroStation z nakładką Bentley InRoads

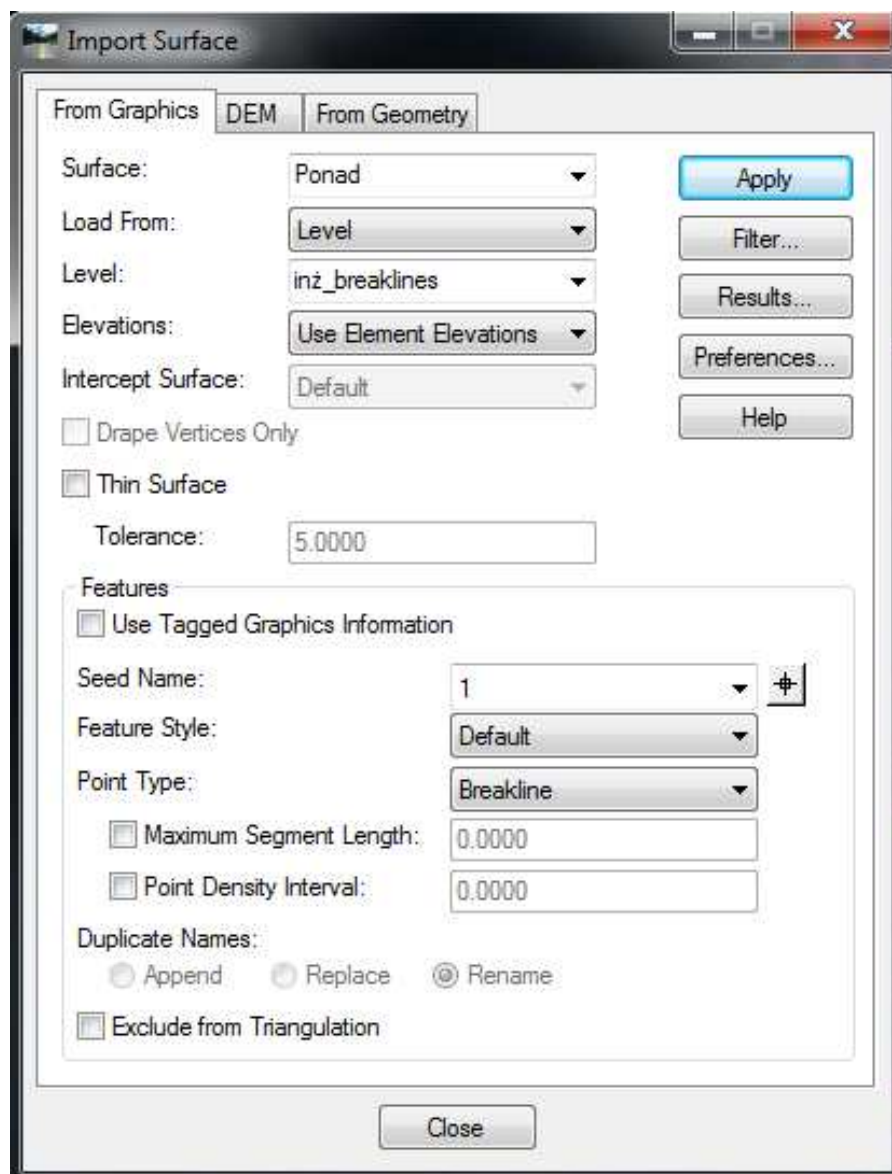
Program MicroStation to jeden z głównych produktów firmy Bentley. Jest on innowacyjną platformą CAD (Computer Aided Design). Przeznaczony jest przede wszystkim do projektowania, konstruowania, a także do zarządzania infrastrukturą. Dzięki rozwiniętym narzędziom pozwala na projektowanie w płaszczyźnie, bądź w przestrzeni, co z kolei ułatwia pracę nawet nad skomplikowanymi projektami. Wszystkie czynności oraz prace w programie wykonuje się na warstwach utworzonych przez użytkownika, które w dowolnym czasie można edytować. Wychodząc na wprost oczekiwaniom klientów firma Bentley stworzyła szereg nakładek. Dzięki temu w zależności od potrzeb, użytkownik może korzystać z funkcji typowych dla danej nakładki. Jedną z takich nakładek jest Bentley InRoads, wykorzystywana głównie w budownictwie drogowym m.in. do określania objętości mas ziemnych. Zawiera wiele zaawansowanych i przydatnych narzędzi oraz opcji. Umożliwia stworzenie cyfrowego modelu terenu. Wszelkie wizualizacje obiektów, przekroje lub mapy tematyczne tworzone są według standardów oraz indywidualnych wymagań użytkownika. Obecnie na świecie, przy wykorzystaniu programu Bentley InRoads prowadzonych jest wiele kompleksowych projektów.

Pracę w programie Bentley InRoads związaną z określeniem objętości rozpoczęto od stworzenia przydatnych warstw: punkty, breaklines, obrys. Odpowiednio na warstwę punkty zaimportowano współrzędne, na warstwie breaklines narysowano linie charakterystyczne, natomiast na warstwie obrys zaznaczono obwodnice obiektu(Rys.26).



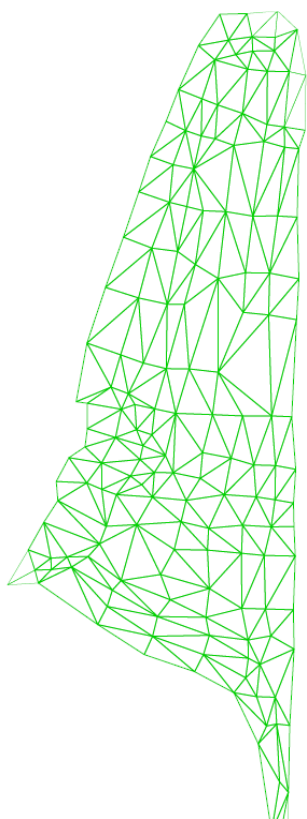
Rys. 26. Obrys obiektu wraz ze wszystkimi punktami oraz liniami charakterystycznymi  
[źródło: opracowanie własne]

Dane z utworzonych warstw wykorzystano do stworzenia dwóch powierzchni „Ponad” i „Poniżej”. Na powierzchnię „Ponad”, przy użyciu funkcji „*Import Surface*” zaimportowano współrzędne wszystkich punktów obiektu, linie charakterystyczne oraz obrys. Natomiast powierzchnia „Poniżej” zawiera tylko współrzędne obrysu o jednakowej wysokości wyliczoną ze średniej obrysu. Jednocześnie stanowi ona powierzchnię odniesienia (Rys.27).

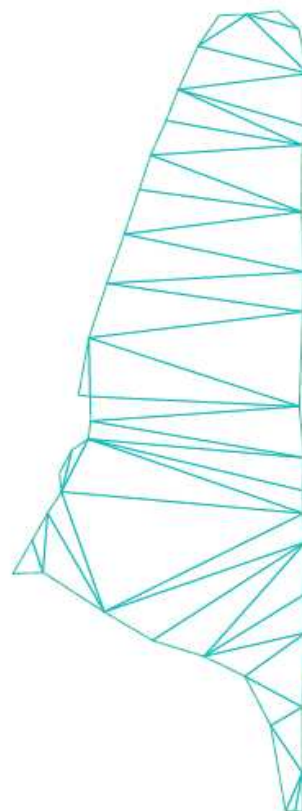


Rys. 27. Okno „Import Surface” programu Bentley InRoads  
[źródło: opracowanie własne]

Dodatkową czynnością, którą należało wykonać było wygenerowanie siatki trójkątów dla obu powierzchni terenu, „Ponad” oraz „Poniżej”(Rys.28,29).

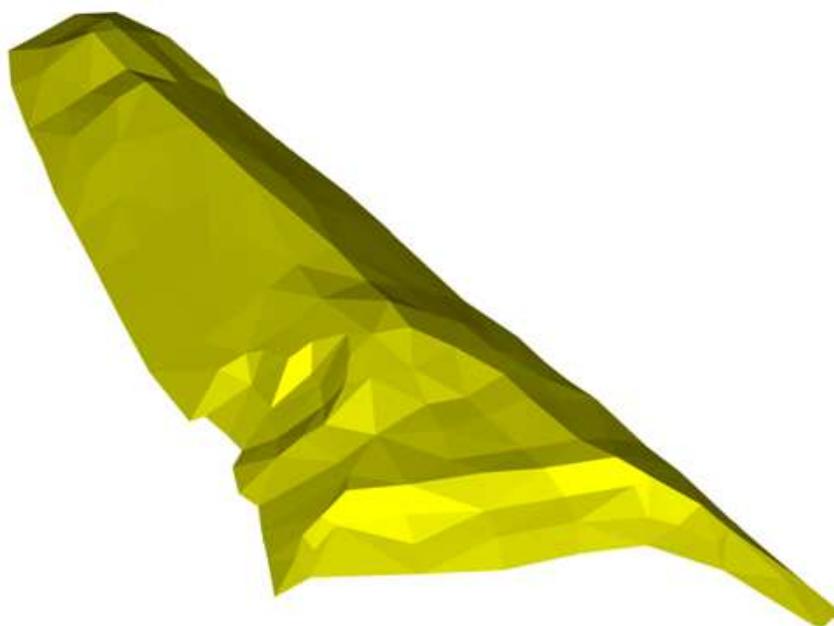


Rys. 28. Siatka trójkątów dla powierzchni „Ponad”  
[źródło: opracowanie własne]

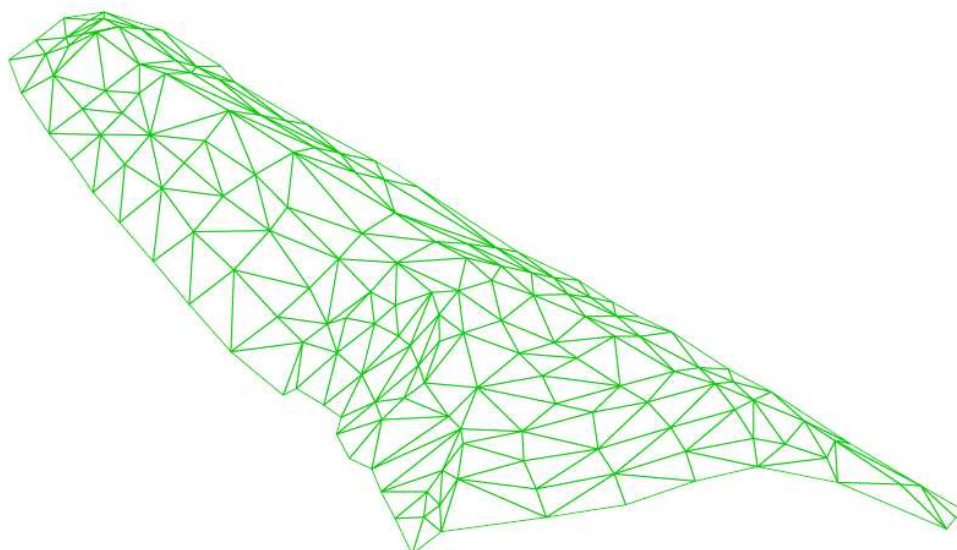


Rys. 29. Siatka trójkątów dla powierzchni „Poniżej”  
[źródło: opracowanie własne]

Otrzymany obiekt 3D można dowolnie edytować. Dzięki temu, że program posiada szeroką paletę narzędzi do wizualizacji istnieje możliwość zmiany koloru oraz obrót w dowolnym kierunku (Rys.30,31).



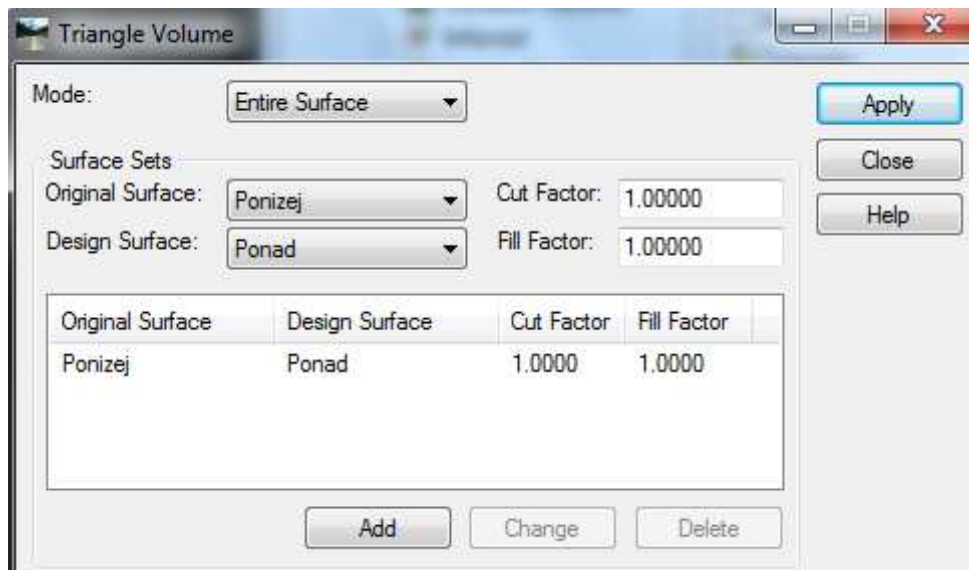
Rys. 30. Model 3D obiektu w programie Bentley InRoads  
[źródło: opracowanie własne]



Rys. 31. Model 3D obiektu w programie Bentley InRoads  
[źródło: opracowanie własne]

Do obliczenia objętości użyto funkcji „Triangle Volume” (Rys.32), która bazuje na utworzonej siatce trójkątów. W oknie modułu należało określić dwie powierzchnie, na podstawie których program wyznacza objętość:

1. *Original Surface* - zawiera punkty powierzchni odniesienia,
2. *Design Surface* - zawiera punkty powierzchni pomierzonej.

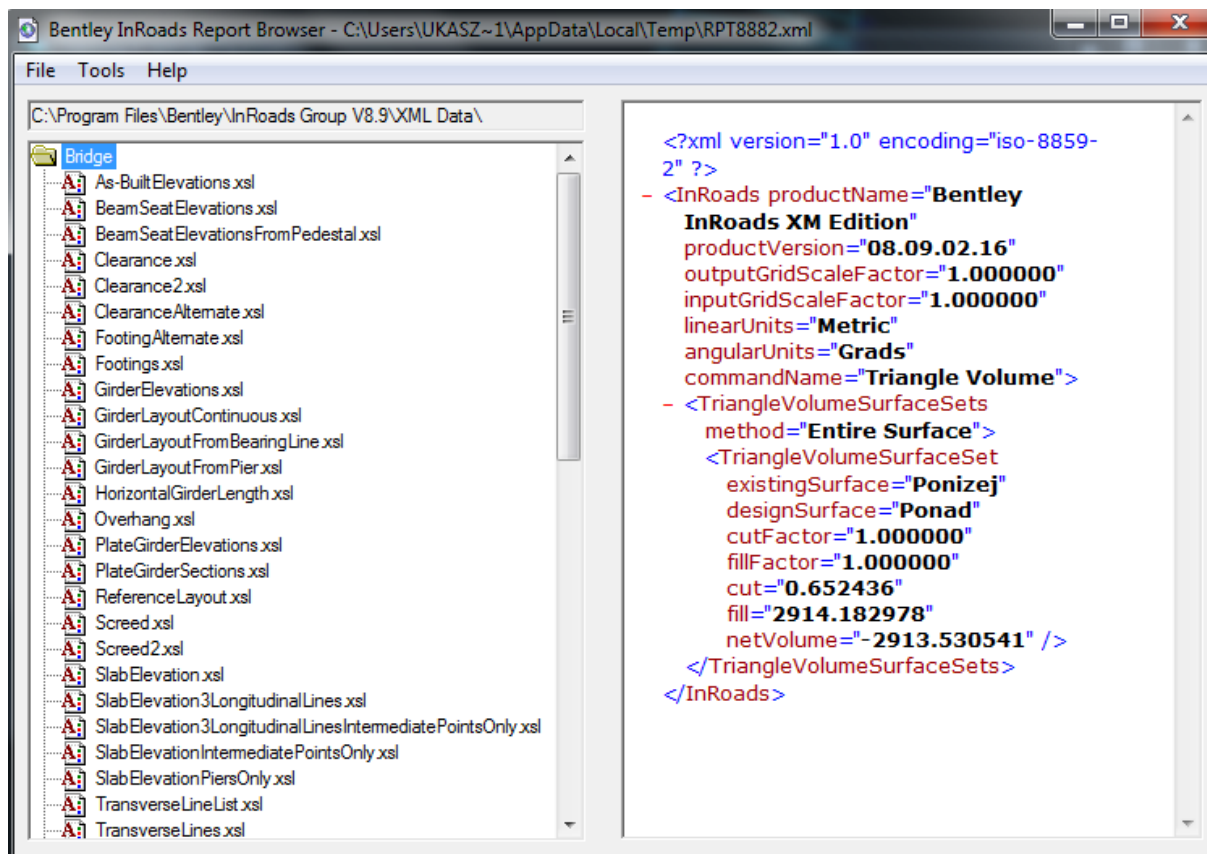


Rys. 32. Okno „Import Surface” programu Bentley InRoads  
[źródło: opracowanie własne]

Uzyskany wynik objętości prezentuje raport (Rys.33) zawierający następujące informacje:

- ✓ zadane powierzchnie odniesienia,
- ✓ objętość poniżej oraz powyżej zadanego poziomu odniesienia,
- ✓ bilans objętości.





Rys. 33. Raport uzyskanych wyników w programie Bentley InRoads  
[źródło: opracowanie własne]

Na podstawie wykonanych obliczeń otrzymano objętość inwentaryzowanego obiektu dla przyjętego poziomu odniesienia równą  $2913.5 \text{ m}^3$ .

Program Bentley InRoads jest bardzo rozbudowany. Zawiera wszystkie niezbędne narzędzia oraz funkcje do projektowania infrastruktury drogowej. Bazując na utworzonym modelu 3D, użytkownik ma nieograniczone możliwości dotyczące jego wizualizacji oraz edycji. Obliczenie objętości wykonano w stosunku do przyjętej powierzchni odniesienia. Otrzymany w efekcie końcowym wynik w postaci trójwymiarowego modelu bardzo dobrze odzwierciedla rzeczywisty stan obiektu. Praca w programie dla początkującego użytkownika jest dość trudna i złożona, a więc wymaga od niego zapoznania się z instrukcją obsługi.

## 11.4. Program Surfer

Surfer dzięki swojej wszechstronności w zakresie wizualizacji danych XYZ stał się jednym z najczęściej wykorzystywanych programów do tworzenia map konturowych, wykresów trójwymiarowych oraz modelowania powierzchni terenu. Zaletą tego programu jest prosta obsługa. Na podstawie współrzędnych XYZ jest on w stanie stworzyć w bardzo szybki sposób dowolny model terenu. Powierzchnia obiektu odwzorowywana jest poprzez stworzenie regularnej siatki wartości, której gęstość ustala użytkownik. Proces ten nazywany jest gridingiem. Program udostępnia kilka metod gridingu. Ponadto Surfer poza możliwością wizualizacji danych pozwala również na dokonywanie obliczeń parametrów linii, powierzchni, a także objętości.

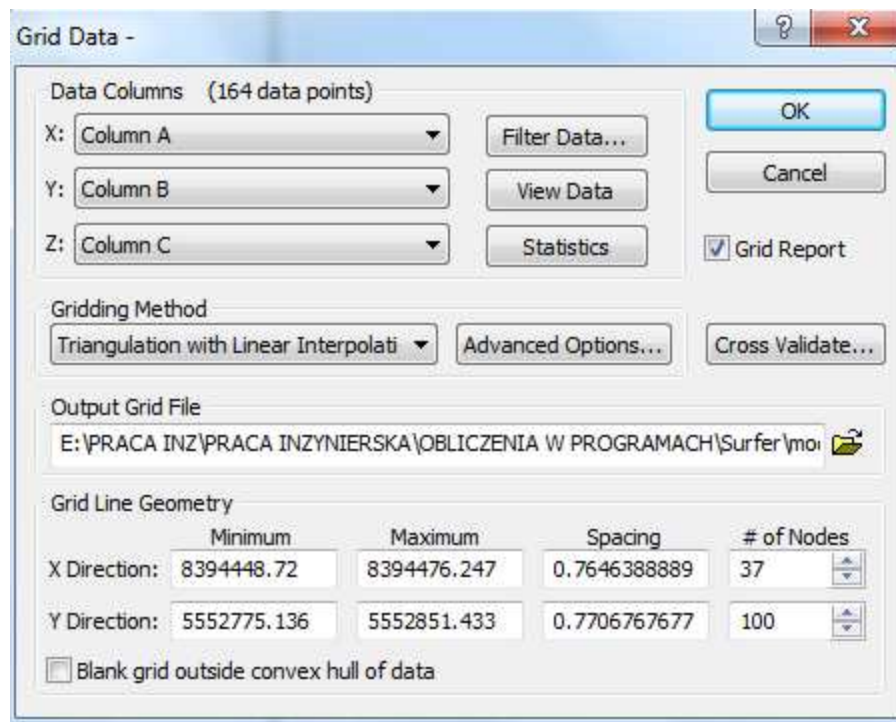
Pierwszą czynnością, którą należało wykonać w programie, było przeprowadzenie procesu gridingu. Działanie to miało na celu utworzenie numerycznego modelu terenu, a w efekcie końcowym określenie objętości obiektu. Na podstawie współrzędnych XYZ, zawartych w arkuszu danych, zwanym w programie „*Worksheet*” (Rys.34) wyznaczana jest regularna siatka wartości dla nieregularnie rozłożonych punktów XYZ. Jest to kluczowy etap przetwarzania danych. Ma on zasadniczy wpływ na jakość odwzorowania obiektu w formie mapy.

	A	x	B	y	C	z	D
1	8394468,301		5552851,124		180,428		
2	8394466,341		5552848,222		180,460		
3	8394464,507		5552844,139		180,493		
4	8394463,354		5552841,194		180,620		
5	8394461,916		5552837,937		180,614		
6	8394460,840		5552834,655		180,588		
7	8394459,417		5552830,445		180,562		
8	8394457,765		5552825,791		180,579		
9	8394456,059		5552820,628		180,547		
10	8394455,051		5552815,191		180,582		
11	8394456,092		5552815,046		180,600		

Rys. 34. Arkusz danych zawierających współrzędne XYZ punktów terenu  
[źródło: opracowanie własne]

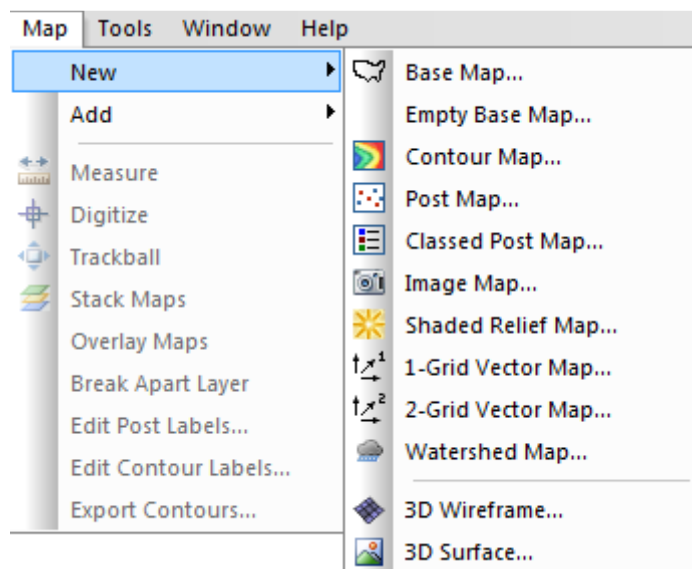
Za pomocą funkcji „*Gird Data*” (Rys.35), na podstawie obliczonych współrzędnych punktów terenu przeprowadzono proces gridingu. W oknie modułu ustalono parametry wejściowe. Odpowiednio każdej ze współrzędnych przyporządkowano kolumny danych z arkusza „*Worksheet*”. W ten sposób kolumna A odpowiadała współrzędnej X, kolumna B współrzędnej Y i kolumna C współrzędnej Z. Ponadto wybrano metodę generowania siatki typu „*Triangulation with Linear Interpolation*”. Efektem końcowym przeprowadzonych prac był wygenerowany przez program raport zawierający parametry procesu gridingu.





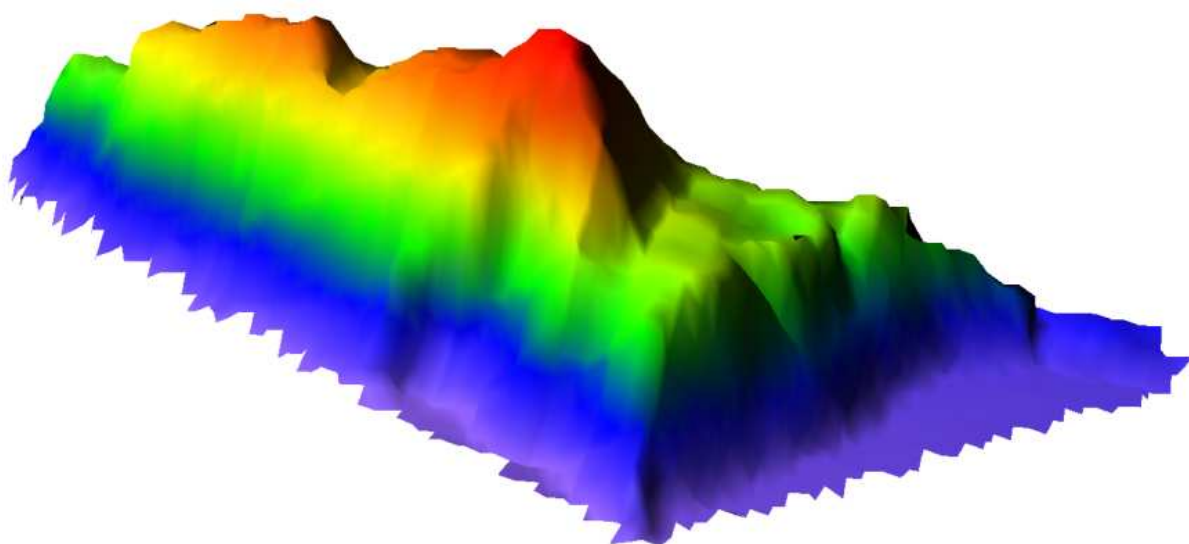
Rys. 35. Okno modułu „Grid Data” programu Surfer  
[źródło: opracowanie własne]

Kolejnym etapem było stworzenie modelu trójwymiarowego na podstawie przeprowadzonego wcześniej procesu griddingu. Do wykonania tego modelu użyto funkcji „3D Surface”(Rys.36). Funkcja ta umożliwia wizualizację danych przestrzennych. Dodatkowo poprzez okno „Property Manager” można dowolnie edytować powstały model.

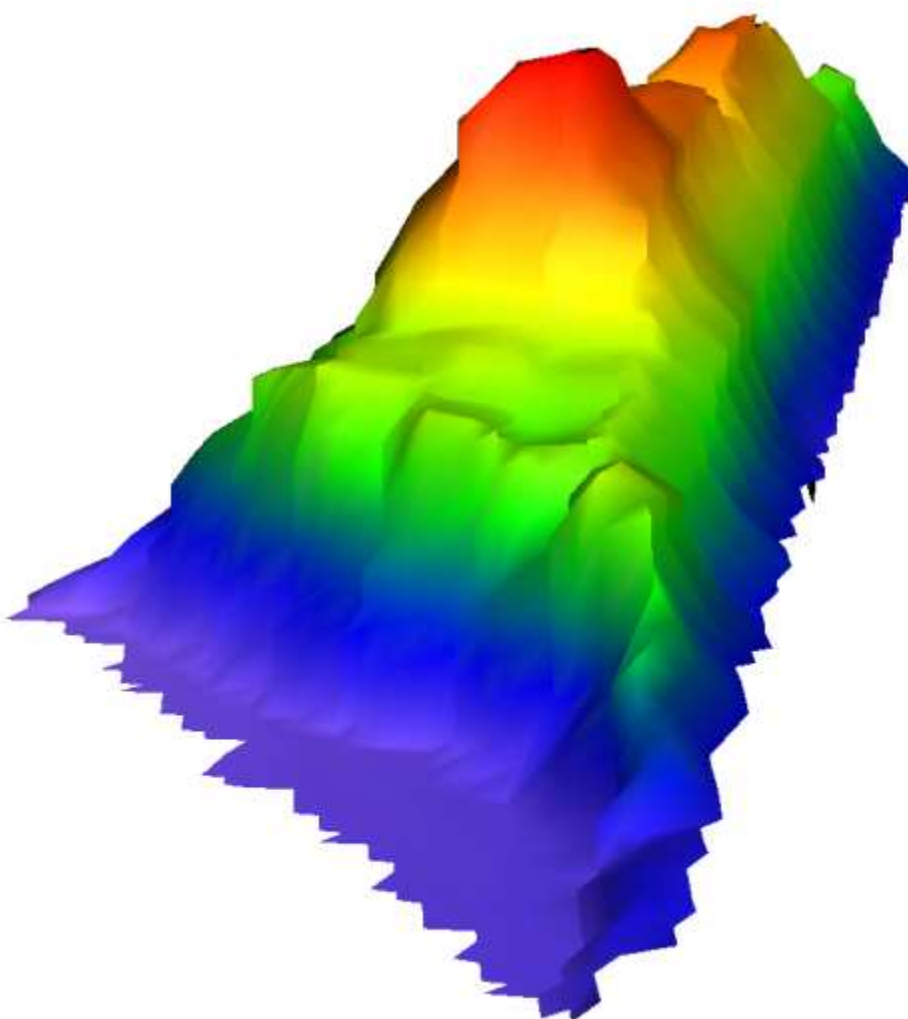


Rys. 36. Okno „Map New” programu Surfer  
[źródło: opracowanie własne]

Efekt wizualny modelu przedstawiają poniższe rysunki(Rys.37,38). Otrzymany wynik zależy od wyboru rodzaju mapy, a także określenia indywidualnych parametrów. Dzięki rozbudowanym narzędziom do wizualizacji obiektów, model można w dowolny sposób edytować, nadawać mu kolor oraz dodawać legendę zawierającą szczegółowe informacje na temat modelu.

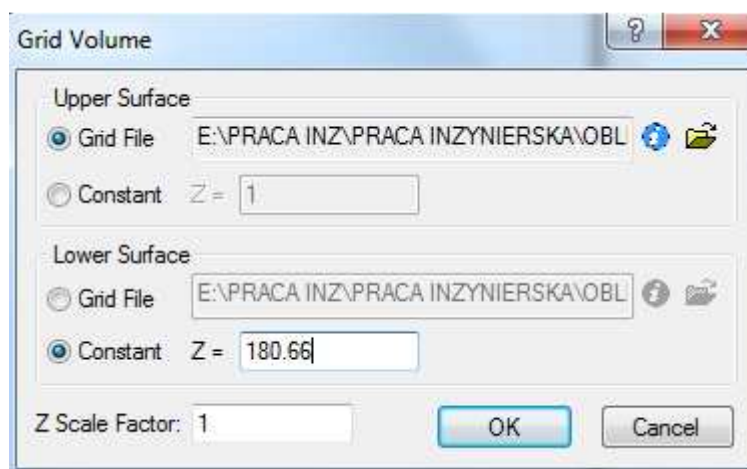


Rys. 37. Model 3D obiektu w programie Surfer  
*[źródło: opracowanie własne]*



Rys. 38. Model 3D obiektu w programie Surfer  
*[źródło: opracowanie własne]*

Objętość mas zmiennych w programie Surfer określono przy użyciu modułu „Grid Volume”(Rys.39). Funkcja ta na podstawie zadanych dwóch powierzchni, górnej oraz dolnej wyznacza kubaturę mierzonego obiektu. Dla każdej z płaszczyzny to użytkownik określa stałą płaszczyznę o wysokości Z, bądź korzysta z wcześniej utworzonego pliku \*.grd z danymi siatki.

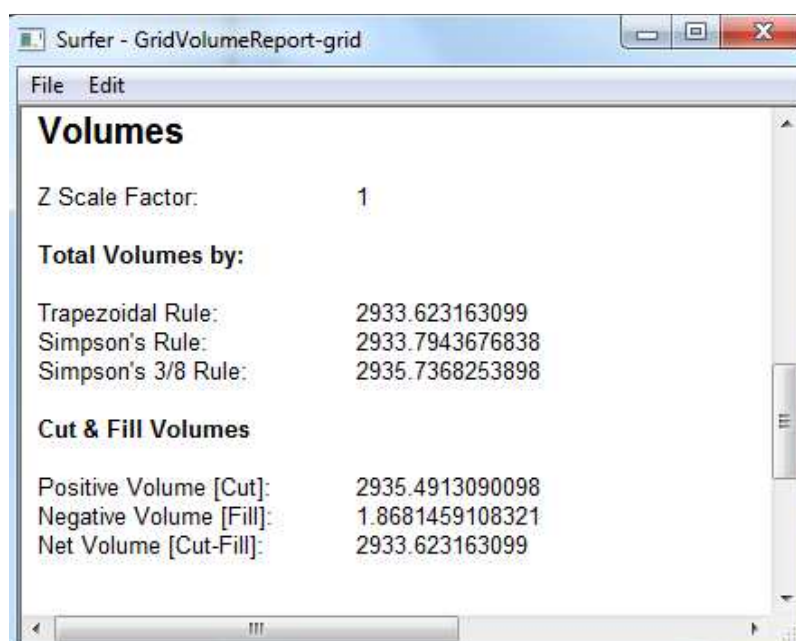


Rys. 39. Okno obliczania objętości programu Surfer  
[źródło: opracowanie własne]

Z przeprowadzonych obliczeń program tworzy raport (Rys.40), w którym zawarte są następujące informacje:

- ✓ wynik obliczenia objętości trzema metodami,
- ✓ objętość ponad płaszczyznę odniesienia,
- ✓ objętości poniżej płaszczyzny obniesienia,
- ✓ bilans objętości,
- ✓ dane dotyczące powierzchni ograniczających.

Pełen raport prezentuje załącznik nr 13.



Rys. 40. Fragment raportu uzyskanych wyników w programie Surfer  
[źródło: opracowanie własne]

Na podstawie wykonanych obliczeń otrzymano objętość inwentaryzowanego obiektu dla przyjętego poziomu odniesienia równą  $2933.6 \text{ m}^3$ .

Program Surfer jest prosty w obsłudze. Wykonanie obliczeń nie sprawiło większych trudności. Program ten przeznaczony jest głównie do wizualizacji danych, nie tylko z dziedziny inżynierskiej, ale również z innych dziedzin nauki. Podstawową czynnością jest przeprowadzenie procesu griddingu. Wykorzystywany jest on w dalszych etapach obliczeniowych. W efekcie końcowym otrzymujemy model trójwymiarowy, który bardzo wiernie odwzorowuje rzeczywiste kształty obiektu.

## 11.5. Analiza porównawcza przedstawionych programów

Określenie objętości opracowywanego obiektu położonego na terenie wytwórni mas bitumicznych w miejscowości Gniewczyna Łańcucka wykonano w czterech programach. Wykorzystane do obliczeń programy, pod względem ich przeznaczenia można zaliczyć do trzech podstawowych grup:

Tabela 9. Główna klasyfikacja programów geodezyjnych

Programy obliczeniowe	Programy graficzne	Programy obliczeniowo-graficzne
WinKalk	Surfer, Bentley InRoads	C-Geo

[źródło: opracowanie własne]

Schemat obliczeń w każdym z tych programów jest podobny i wygląda następująco:

1. Przygotowanie danych.
2. Opracowanie wyników.
3. Uzyskanie w efekcie końcowym objętości.

W ramach przygotowania danych należy utworzyć wejściowy plik tekstowy ze współrzędnymi. Na podstawie tego pliku każdy z programów tworzy numeryczny model terenu, który jest niezbędny do wygenerowania siatki trójkątów. Dane te z kolei pozwalają na opracowanie modelu 3D.

Określenie objętości w WinKalk-u oraz C-Geo opiera się na pracy w jednym oknie modułu obliczeniowego, co niewątpliwie wpływa na szybkość oraz prostotę wykonywanych prac. Z kolei w programach Bentley InRoads oraz Surfer, prace prowadzące do uzyskania objętości wymagają od użytkownika posługiwania się kilkoma modułami. Znacznie utrudnia to pracę, ale w efekcie końcowym daje lepsze rezultaty. Przekłada to się na wierniejsze odwzorowanie rzeczywistych kształtów obiektu. Dodatkowo każdy z programów generuje raport z przeprowadzonych prac.

Jeśli chodzi o możliwości związane z tworzeniem modelu i jego wizualizacją, pomiędzy programami występują znaczące różnice. Winkalk jest programem typowo obliczeniowym i nie ma rozbudowanej palety narzędzi graficznych. Utworzony model 3D można w ograniczony sposób edytować. Natomiast C-Geo jest programem obliczeniowo-graficznym i jego możliwości związane z prezentacją wyników są nieznacznie większe. Dużym plusem jest możliwość kolorowania modelu. Oba programy umożliwiają tylko proste wyświetlanie modelu. Jediną możliwością wpłynięcia na prezentowany model jest jego obrót oraz przeskalowanie w kierunku osi Z.

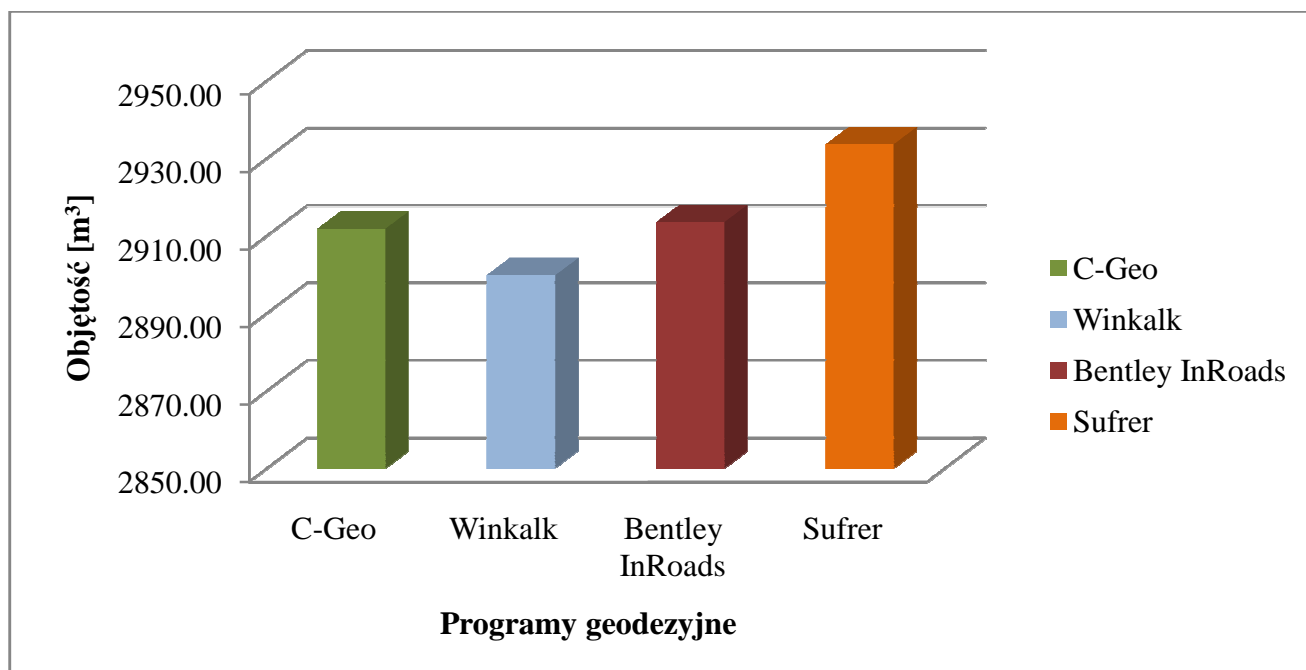
Bentley InRoads oraz Surfer są programami typowo graficznymi. Posiadają wiele rozwiniętych funkcji oraz rozbudowane palety narzędzi. Utworzony model można dowolnie wyświetlać i edytować. Dzięki tym wszystkim opcjom użytkownik ma większe możliwości.

Wyniki obliczenia kubatury w poszczególnych programach przedstawiono w tabeli zbiorczej (Tabela 10). W celu lepszego zobrazowania otrzymanych wartości w programach stworzono wykres (Rys.41). Dodatkowo sporządzono tabelaryczne zestawienie procentowych różnic pomiędzy poszczególnymi programami (Tabela 11).

Tabela 10. Zestawienie objętość w poszczególnych programach

	<i>Objętość [m<sup>3</sup>]</i>			
	<b>Programy</b>			
<i>Poziom odniesienia</i>	<i>C-Geo</i>	<i>Winkalk</i>	<i>Bentley InRoads</i>	<i>Surfer</i>
<b>180.66 m</b>	2911,8	2899,9	2913,5	2933,6

[źródło: opracowanie własne]



Rys. 41. Wyniki wyznaczenia kubatury w poszczególnych programach geodezyjnych

[źródło: opracowanie własne]

Tabela 11. Procentowe różnice pomiędzy programami

<i>Program</i>	<b>Różnica [%]</b>
Winkalk - C-Geo	0,41
Winkalk - Bentley InRoads	0,47
Winkalk - Surfer	1,15
C-Geo - Surfer	0,74
Bentley InRoads - C-Geo	0,06
Bentley InRoads - Surfer	0,68

[źródło: opracowanie własne]

Na podstawie uzyskanych wyników objętości z czterech programów można stwierdzić, że wybór oprogramowania nie ma większego wpływu na wynik końcowy. Analizując tabelę 8 widać, że największa rozbieżność występuje pomiędzy programami Winkalk oraz Surfer i wynosi 1,15%. Natomiast najbardziej zbliżony wynik występuje między Bentley InRoads a C-Geo, gdzie różnica wynosi zaledwie 0,06%. Powodem tych nieznacznych różnic jest fakt, iż w każdym z programów siatka trójkątów generowana jest automatycznie, przez co każda w minimalnym stopniu różni się między sobą. W związku z tym pola trójkątów siatki mają nieznacznie inną powierzchnię, co z kolei przekłada się na końcowy wynik objętości mierzonego obiektu.

## Analiza wariancji

Tabela 12. Objętości w poszczególnych programach

C-Geo	Winkalk	Bentley InRoads	Surfer
$V_1$	$V_2$	$V_3$	$V_4$
2911,8 m <sup>3</sup>	2899,9 m <sup>3</sup>	2913,5 m <sup>3</sup>	2933,6 m <sup>3</sup>

[źródło: opracowanie własne]

$$V_{sr} = \frac{V_1 + V_2 + V_3 + V_4}{4} \quad (22)$$

$$V_{sr} = 2914,7 \text{ m}^3$$

- Odchylenie standardowe:

$$\delta = \sqrt{\frac{(V_1 - V_{sr})^2 + (V_2 - V_{sr})^2 + (V_3 - V_{sr})^2 + (V_4 - V_{sr})^2}{4 - 1}} \quad (23)$$

$$\delta = 14,0 \text{ m}^3$$

- Miara niedokładności wyznaczenia parametru  $V$ :

$$\lambda = \frac{\delta}{V_{sr}} \quad (24)$$

$$\lambda = \frac{14,0 \text{ m}^3}{2914,7 \text{ m}^3} = 0,005 * 100\% = 0,5\%$$

Podsumowując, wykonane pomiary i obliczenia wykazują, że objętość mas ziemnych mierzonego zwałowiska posiada niedokładność na poziomie 0,5%. Każdy z wykorzystanych programów spełnił swoje zadanie, a otrzymane wyniki objętości mas ziemnych są zadowalające.

## 12. Podsumowanie

Prace związane z określaniem objętości są bardzo często realizowane przy wykonywaniu większości inwestycji. Ważną kwestią jest wybór odpowiedniej metody pomiaru oraz obliczeń.

Ze względu na nieregularne ukształtowanie oraz uwarunkowania terenowe inwentaryzowanego zwałowiska, pomiar obiektu wykonano metodą tachimetryczną. Wyniki pomiaru opracowano w czterech programach geodezyjnych. W każdym z nich wygenerowano siatkę trójkątów, na podstawie której utworzono model 3D. W efekcie końcowym uzyskano objętość mierzonego obiektu.

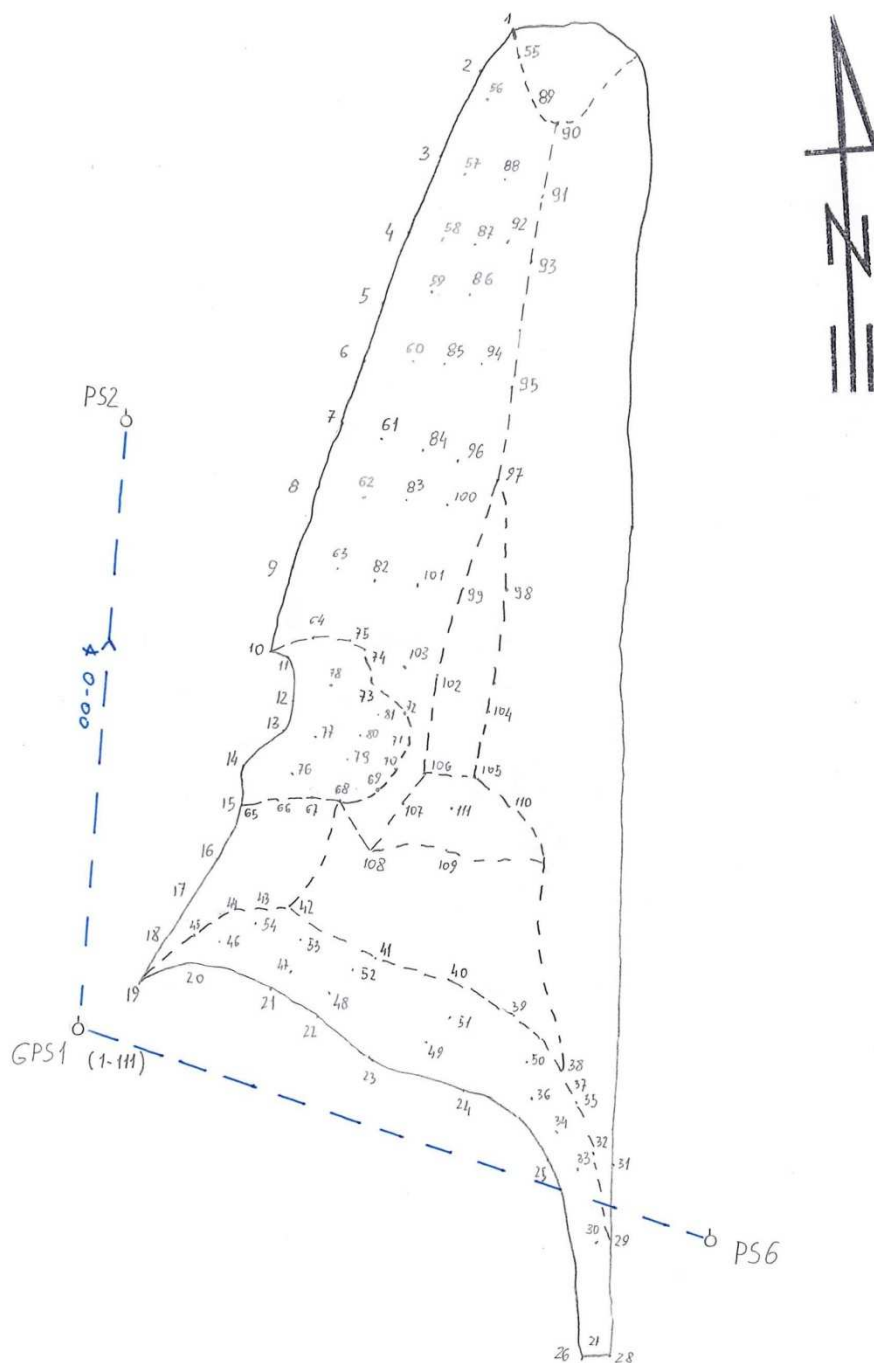
Na podstawie uzyskanych wyników obliczenia objętości z czterech programów stwierdzono, że wybór oprogramowania nie ma większego wpływu na wynik końcowy. Należy pamiętać, że ważną sprawą podczas wykonywania pomiarów jest precyzyjne określenie przebiegu linii charakterystycznych oraz poprawność stawiania pikiet. Należy je w miarę możliwości rozmieszczać równomiernie, aby w pełni odzwierciedlić mierzony obiekt. Bardzo ważne jest również przyjęcie odpowiedniego poziomu odniesienia. W przypadku inwentaryzowanego zwałowiska przyjęto wartość obliczoną ze średniej obrysu.

Rozwój technologii pomiarowej, dostępność coraz nowszego oraz rozbudowanego oprogramowania geodezyjnego, a także dostępność na rynku nowoczesnych urządzeń sprawia, że prace związane z określaniem objętości nie są już tematem trudnym do zrealizowania. Znajomość najnowszych programów geodezyjnych do opracowywania wyników pomiarów pomaga geodecie w pracy, znacznie ją przyspiesza oraz daje dokładniejsze wyniki.

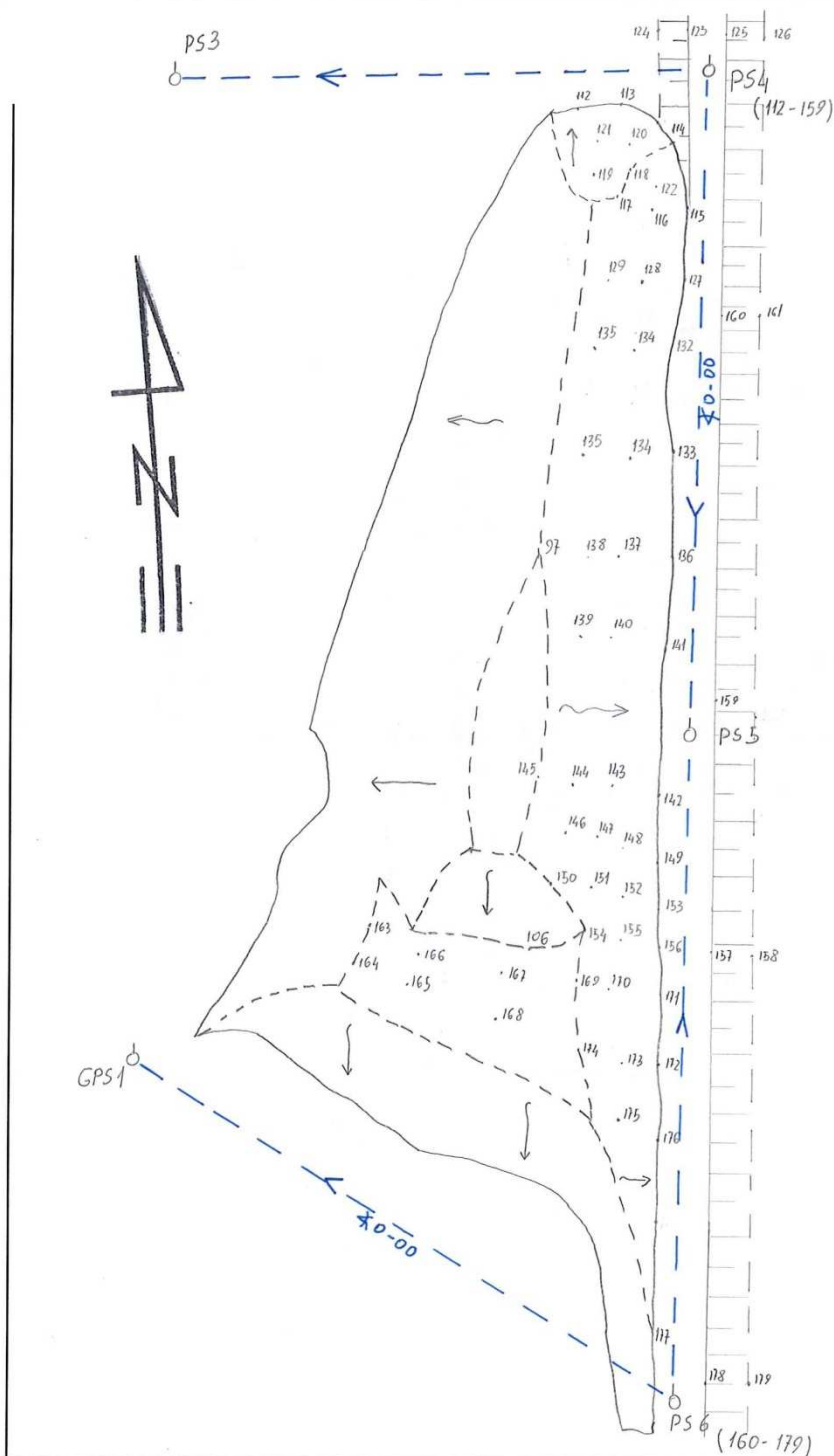


### **13. Załączniki**

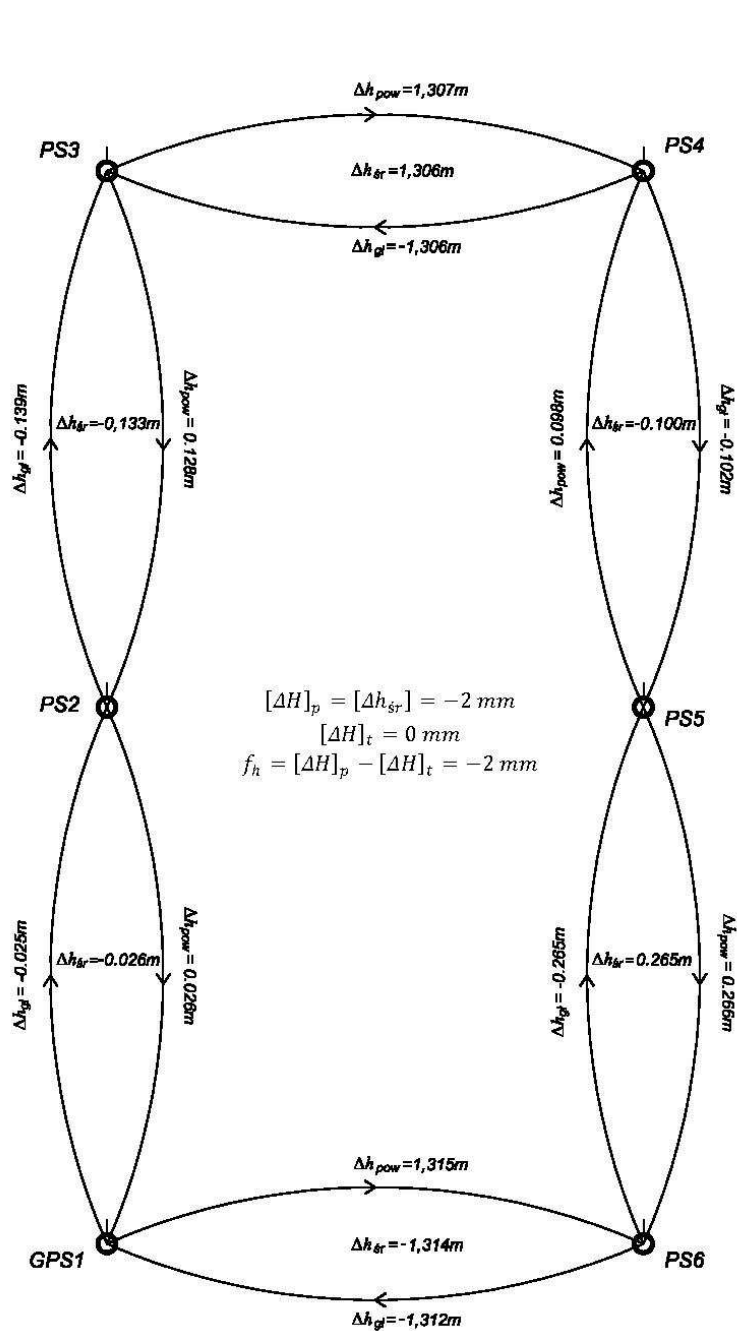
1. Szkice polowe.
2. Szkic niwelacji trygonometrycznej.
3. Szkice przysłonięcia horyzontu satelitarnego.
4. Dzienniki pomiaru kąta poziomego.
5. Dzienniki pomiaru kąta pionowego
6. Kopia mapy ewidencyjnej wsi Gniewczyna Łańcucka.
7. Raport z wyrównania osnowy pomiarowej w programie GEONET.
8. Dziennik pomiaru metodą biegunową.
9. Obliczenie współrzędnych punktów pomierzonych metoda biegunową.
10. Raport obliczenia objętości w programie Winkalk.
11. Raport obliczenia objętości w programie C-Geo.
12. Raport obliczenia objętości w programie Bentley InRoads.
13. Raport obliczenia objętości w programie Surfer.



Nazwa lub symbol obiektu: <i>Gniewczyńska kańcuka</i>					Rodzaj pracy: <i>pomiar inwentaryzacyjny</i>
Czynności	Data	Nazwisko i imię wykonawcy	podpis	Sprzęt pomiarowy	Nazwa instytucji wykonującej pomiar  L. ks. rob.  Szkic połowy nr <i>1</i>  Nr sekcji mapy:
Pomierzył:	<i>04.09.13</i>	<i>Gontarska</i>		Województwo: <i>podkarpackie</i>	
Skartował:	<i>04.09.13</i>	<i>Czerwona</i>		Powiat: <i>pnowski</i>	
Wykreślił:				Gmina: <i>Wynicza</i>	
Sprawdził:				Miejscowość: <i>Gniewczyńska kańcuka</i>	



Nazwa lub symbol obiektu: <i>Gniewczyzna Łanucka</i>					Rodzaj pracy: <i>pomiar inwentaryzacyjny</i>
Czynności	Data	Nazwisko i imię wykonawcy	podpis	Sprzęt pomiarowy	Nazwa instytucji wykonującej pomiar
Pomierzył:	<i>04.09.13</i>	<i>Gontarska</i>		Województwo: <i>podkarpackie</i>	
Skartował:	<i>04.09.13</i>	<i>Czerwinka</i>		Powiat: <i>przeworski</i>	
Wykreślił:				Gmina: <i>Trynica</i>	
Sprawdził:				Miejscowość: <i>Gniewczyzna Łanucka</i>	Nr sekcji mapy: <i>2</i>



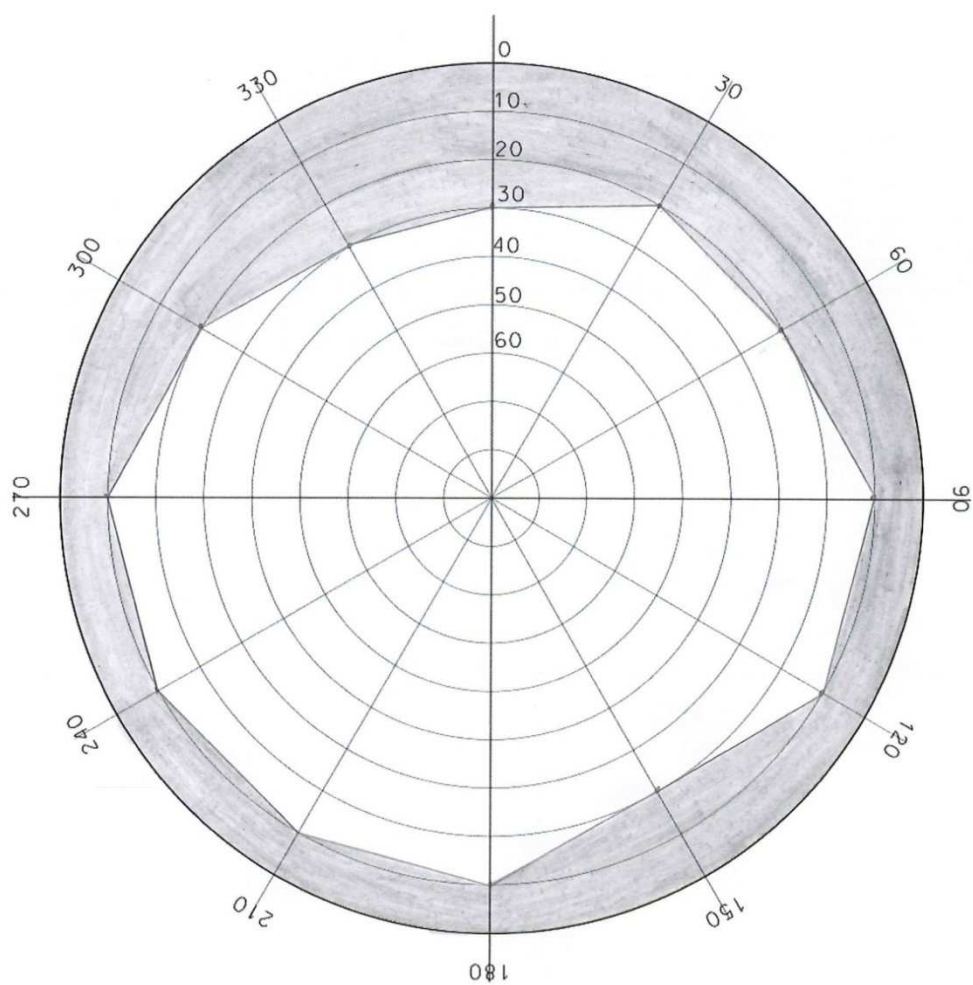
Rodzaj pracy:	Niwelacja trygonometryczna		Obiekt: Osnowa pomiarowa - Gniewczyna Łańcucka	
	Data	Nazwisko Imię Podpis	Szkic nr 3	(pieczęć)
Opracował	24.10.13r.	Łukasz Czerwonka	Województwo: Podkarpackie	
Wykreslił	24.10.13r.	Aleksandra Gontarska	Gmina: Tryńcza	
Sprawdził			Miejscowość: Gniewczyna Łań.	

### Załącznik nr 3

Szkic przesłonięcia horyzontu satelitarnego punktu pomiarowego

Nazwa punktu GP51

4-char ID 8990 data 03.09.2013r.

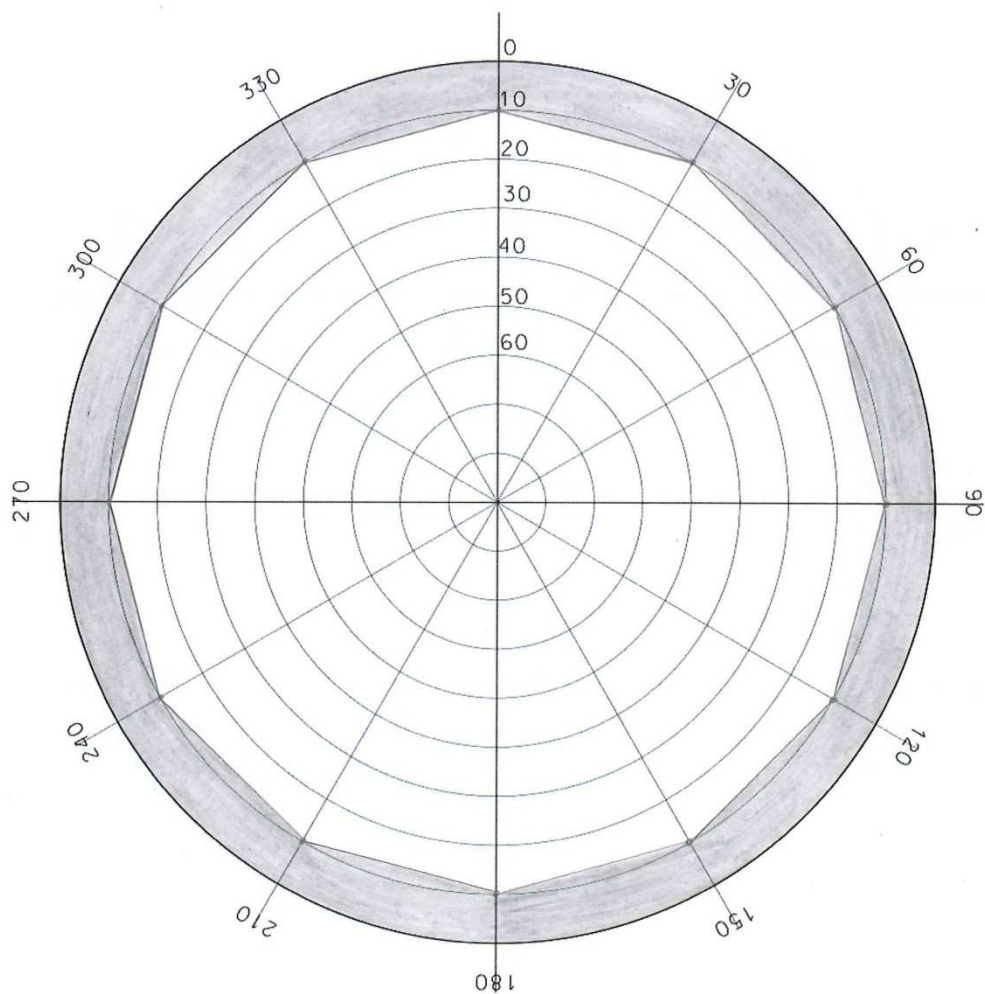


Szkic sporządził Gontarska Aleksandra

Szkic przesłonięcia horyzontu satelitarnego punktu pomiarowego

Nazwa punktu GP57

4-char ID 8990 data 03.09.2013



Szkic sporządził Lukasz Gerwonta



## Załącznik nr 4

Dziennik pomiaru kątów poziomych

Str. ...1...

Numer stanowiska	Oznaczenie celu	I położenie lunety				II położenie lunety				Kierunki zred.				Średnie kierunki zredukowane				Obliczenia kontrolne				Data: 03.09.13					
		A		średnia		A		średnia		I z położenia:		II						Sumy średnich odczytów I+II dla poszczególnych kierunków		Różnica sum obliczonych w kol. 9							
		Odczyty:				Odczyty:														½ różnicy = kąt							
		g	c	cc	c	cc	g	c	cc	c	cc	g	c	cc	g	c	cc	g	c	cc	g	c	cc				
		o	'	"	'	"	o	'	"	'	"	o	'	"	o	'	"	o	'	"	o	'	"				
1	2	3			4		5			6		7			8			9			10			11			
I serija	2	3	0	00	00	00	00	199	99	80	99	80	0	00	00	0	00	00	199	99	80						
	7	140	95	04	95	02	340	95	14	95	14	140	95	02	140	95	18	484	90	16	281	90	36				
I serija	1	196	21	11	21	12	396	21	54	21	56	196	21	12	196	21	44	592	42	68	392	42	88				
	3	399	99	52	99	52	200	00	48	00	48	399	99	52	200	00	10	600	00	00	400	00	20				
II serija	2	3	67	30	00	30	00	267	30	20	30	21	0	00	00	0	00	00	334	60	21						
	7	208	26	19	26	20	8	25	35	25	35	140	26	20	140	25	67	246	51	55	281	21	34				
I serija	1	263	51	67	51	68	63	51	60	51	60	196	21	68	196	21	54	327	03	28	392	43	07				
	3	67	30	10	30	10	267	30	11	30	11	0	00	10	200	00	00	334	60	21	400	00	00				
II serija	1	2	66	20	00	20	00	266	20	13	20	12	0	00	00	0	00	00	332	40	12						
	7	118	41	44	41	42	348	42	41	42	42	52	21	43	22	30	52	21	86	436	83	85	104	43	73		

3

0

1

180,9541°

2

180,9541°

1

2

0

1

125,6599°

7

0

6



Dziennik pomiaru kątów poziomych

Str. 2

Numer stanowiska	Oznaczenie celu	I położenie lunety		II położenie lunety		Kierunki zred.		Średnie kierunki zredukowane	Obliczenia kontrolne		Data: 03.09.2013r											
		A		A		I			Sumy średnich odczytów I+II dla poszczególnych kierunków	Różnica sum obliczonych w kol. 9		1/2 różnicy = kąt										
		B		B		z położenia: II																
		g	c	cc	g	c	cc						g	c	cc	g	c	cc	g	c	cc	
1	2	3	4	5	6	7	8	9	10	11												
3	I serwa	4	0	00 04	00 00	199 99	86 86	99 86	0	00 00	0	00 00	199 99	86 86								
		7	74	39 30	39 30	274 39	32 33	39 33	74	39 30	74	39 38	348 78	63 77	148 78	77 77						
		2	98	11 42	11 41	298 11	44 40	11 42	98	11 41	98	11 48	396 22	83 97	196 22	97 97						
		4	399	99 79	99 77	199 99	95 95	99 95	399	99 77	399	99 93	599 99	72 86	399 99	86 93						
3	II serwa	4	67	10 00	10 00	267 09	94 92	09 93	0	00 00	0	00 00	334 19	93 93								
		7	141	49 44	49 44	341 49	54 56	49 55	74	39 62	74	39 53	482 98	99 53	148 79	06 53						
		2	165	21 62	21 61	365 21	39 40	21 40	98	11 47	98	11 54	530 43	01 08	196 23	08 54						
		4	67	10 05	10 06	267 10	06 02	10 04	0	00 06	0	00 09	334 20	10 47	0 00	09 09						
4	I serwa	5	0	00 00	00 00	200 00	00 00	00 00	0	00 00	0	00 00	200 00	00 00								
		7	19	14 05	14 04	219 14	56 57	14 57	19	14 04	19	14 31	238 28	61 61	38 28	61 31						
		3	113	84 53	84 53	313 84	87 85	84 86	113	84 53	113	84 70	427 69	39 70	227 69	39 70						
		5	399	99 79	99 80	200 00	09 06	00 08	399	99 80	399	99 94	599 99	88 94	399 99	88 94						
4	II serwa	5	66	25 00	25 00	266 24	97 95	24 96	0	00 00	0	00 00	332 49	96 96								
		7	85	39 18	39 18	285 39	53 51	39 52	19	14 56	19	14 37	370 78	70 37	38 28	74 37						
		3	180	09 36	09 35	380 09	64 64	09 64	113	84 68	113	84 52	560 18	99 52	227 69	03 52						
		5	66	24 95	24 94	266 25	08 04	25 06	399	99 94	0	00 03	332 50	00 02	0 00	04 02						

Dziennik pomiaru kątów poziomych

Str. 3.....

Numer stanowiska	Oznaczenie celu	I położenie lunety		II położenie lunety		Kierunki zreduk.		Średnie kierunki zredukowane	Obliczenia kontrolne		Data: 03.03.13r.	
		A		A		I			Sumy średnich odczytów I+II dla poszczególnych kierunków	Różnica sum obliczonych w kol. 9		1/2 różnicy = kąt
		B		B		z położenia: II						
		g o	c '	cc "	g o	c '	cc "					
1	2	3	4	5	6	7	8	9	10	11		
I seria	5	6	00 00 00 00	00 00	200 00 09 00 09	0 00 00	0 00 00	200 00 09				
	7	57 16 74 16 72	16 73	257 17 06 17 04	17 05	57 16 96 16 96	57 16 85	314 33 78	114 33 69 57 16 85			
	4	198 98 89 98 87	98 88	398 99 26 99 27	99 27	198 99 18 99 18	198 99 03	597 98 15	198 99 03 397 98 06			
	6	399 99 93 99 93	99 93	199 99 84 99 84	99 82	399 99 73 99 73	399 99 83	599 99 75	199 99 66 199 99 63			
II seria	5	66 00 00 00 00	00 00	266 00 24 00 22	00 23	0 00 00	0 00 00	332 00 23				
	7	123 16 56 16 56	16 56	323 17 07 17 06	17 06	57 16 83 16 83	57 16 70	446 33 62	114 33 39 57 16 70			
	4	264 99 05 99 05	99 04	64 99 33 99 33	99 33	198 99 10 99 10	198 99 07	329 98 37	307 98 14 198 99 07			
	6	66 00 07 00 03	00 05	266 00 22 00 23	00 23	0 00 05 00 05	0 00 03	332 00 28	0 00 05 0 00 03			
I seria	6	1 00 00 00 00	00 00	200 00 06 00 05	00 06	0 00 00	0 00 00	200 00 06				
	7	42 17 38 17 36	17 37	242 17 48 17 48	17 48	42 17 42 17 42	42 17 39	284 34 85	84 34 79 42 17 39			
	5	67 16 88 16 84	16 86	267 17 10 17 10	17 10	67 16 86 16 86	67 16 95	334 33 96	134 33 90 67 16 95			
	1	0 00 00 00 00	00 00	200 00 05 00 05	00 04	399 99 98 99 98	399 99 99	200 00 04	399 99 98 199 99 99			
II seria	6	1 66 00 00 00 00	00 00	265 99 86 99 82	99 84	0 00 00	0 00 00	331 99 84				
	7	108 17 04 17 00	17 02	308 17 29 17 30	17 30	42 17 46 17 46	42 17 24	416 34 32	84 34 48 42 17 24			
	5	133 16 99 16 99	16 99	333 17 00 17 00	17 00	67 17 16 17 16	67 17 08	466 33 99	134 34 15 67 17 08			
	1	66 00 00 00 00	00 00	266 00 34 00 32	00 33	0 00 49 00 49	0 00 24	332 00 33	0 00 49 0 00 24			

Dziennik pomiaru kątów pionowych

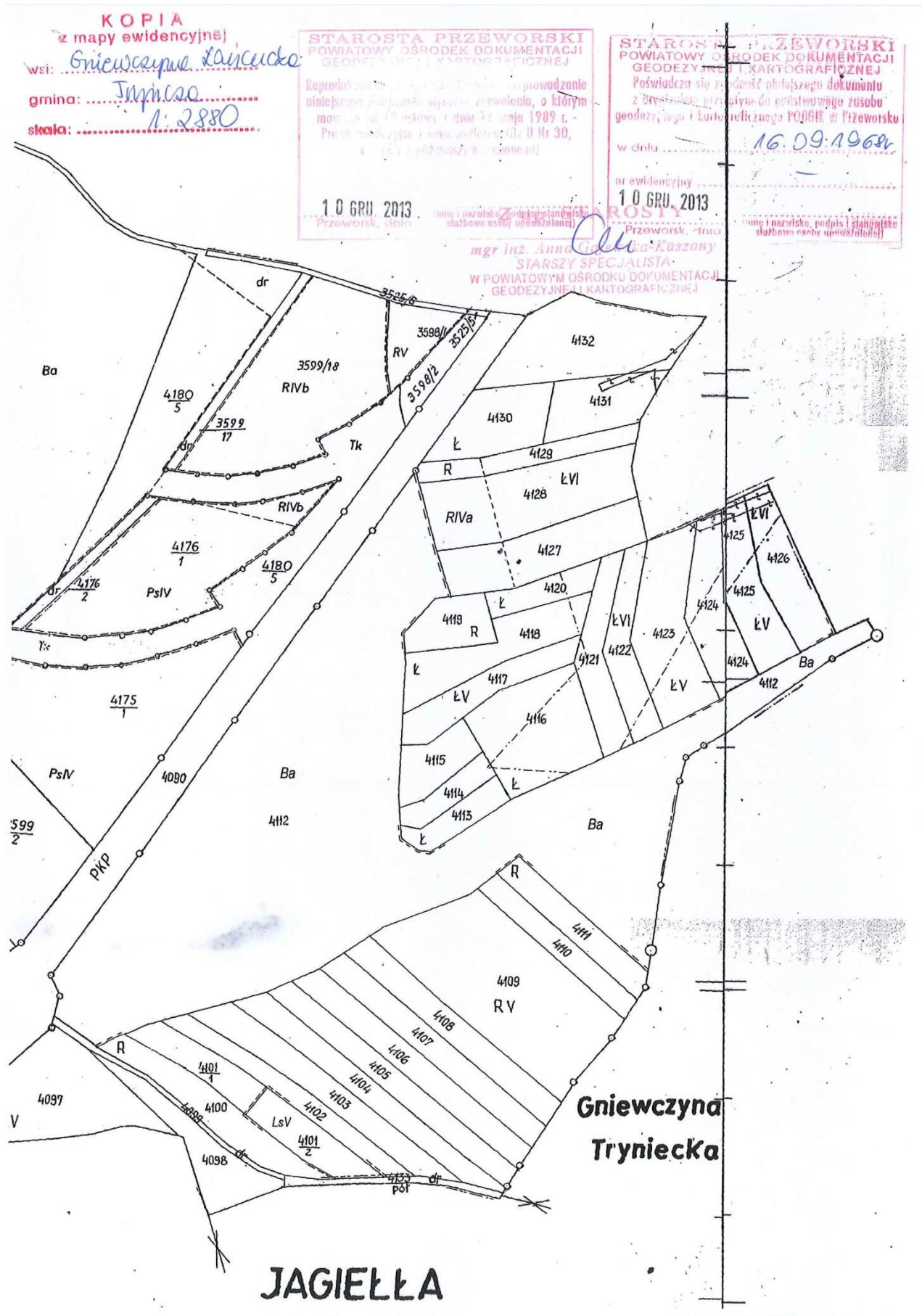
Str. ...1.....

Numer stanowiska	Oznaczenie celu	I położenie lunety				II położenie lunety				Kąt pionowy				Średni kąt pionowy				Suma odczytów: $O_I + O_{II}$				Kontrola				Data pomiaru: 02.09.2013 r.	
		A		średnia	A		średnia	$z$ położenia I i II $z_I = O_I$ $z_{II} = 400^\circ - O_{II}$		$z = \frac{1}{2} (z_I + z_{II}) =$ $= \frac{1}{2} (O_I - O_{II} + 400^\circ)$		Błąd indeksu $\mu = \frac{1}{2} (O_I + O_{II} - 400^\circ)$		Kąt pionowy $z = O_I - \mu$		Błąd indeksu $\mu = O_{II} + z - 400^\circ$		Obserwator: Czerwinka		Sekretarz: Gontarska							
		Odczyt: $O_I$	B		Odczyt: $O_{II}$	B																					
		$\frac{g}{^\circ}$	$\frac{c}{'}$	$\frac{cc}{''}$	$\frac{g}{^\circ}$	$\frac{c}{'}$	$\frac{cc}{''}$	$\frac{g}{^\circ}$	$\frac{c}{'}$	$\frac{cc}{''}$	$\frac{g}{^\circ}$	$\frac{c}{'}$	$\frac{cc}{''}$	$\frac{g}{^\circ}$	$\frac{c}{'}$	$\frac{cc}{''}$	$\frac{g}{^\circ}$	$\frac{c}{'}$	$\frac{cc}{''}$	$\frac{g}{^\circ}$	$\frac{c}{'}$	$\frac{cc}{''}$	Uwagi i szkice				
1	2	3			4			5			6			7			8			9			10			11	
1	2	100	13	18	13	17	299	86	17	86	18	100	13	17	100	13	50	399	99	35	100	13	50				
			13	16				86	18				13	82				-0	00	33	-0	00	32				
	7	82	29	99	29	99	317	69	35	69	36	82	29	99	82	30	32	399	99	35	82	30	32				
			29	99				69	37				30	64				-0	00	33	-0	00	32				
1	6	97	66	42	66	43	302	32	74	32	73	97	66	43	97	66	85	399	99	16	97	66	85				
			66	44				32	72				67	27				-0	00	42	-0	00	42				
	2	100	13	44	13	46	299	86	17	86	18	100	13	46	100	13	64	399	99	64	100	13	64				
			13	42				86	18				13	82				-0	00	18	-0	00	18				
1	7	82	30	16	30	18	317	69	60	69	61	82	30	18	82	30	28	399	99	79	82	30	29				
			30	20				69	62				30	39				-0	00	11	-0	00	10				
	6	97	66	88	66	86	302	32	98	32	98	97	66	86	97	66	94	399	99	84	97	66	94				
			66	85				32	98				67	02				-0	00	08	-0	00	08				
2	3	100	35	33	35	36	299	64	06	64	05	100	35	36	100	35	66	399	99	41	100	35	66				
			35	33				64	04				35	95				-0	00	30	-0	00	29				
	7	81	40	46	40	47	318	59	07	59	06	81	40	47	81	40	70	399	99	53	81	40	71				
			40	47				59	05				40	94				-0	00	24	-0	00	23				
2	1	99	86	16	86	18	300	13	53	13	54	99	86	18	99	86	32	399	99	72	99	86	32				
			86	19				13	55				86	46				-0	00	14	-0	00	14				
	3	100	35	39	35	40	299	64	00	64	10	100	35	40	100	35	65	399	99	50	100	35	65				
			35	40				64	00				35	90				-0	00	25	-0	00	25				
2	7	81	40	96	40	95	318	59	14	59	13	81	40	95	81	40	91	400	00	08	81	40	91				
			40	94				59	12				40	87				0	00	04	0	00	04				
	1	99	85	87	85	86	300	13	84	13	82	99	85	86	99	86	02	399	99	86	99	86	02				
			85	85				13	80				86	18				-0	00	16	-0	00	16				
3	4	96	11	80	11	80	303	87	72	87	71	96	11	80	96	12	04	399	99	51	96	12	04				
			11	79				87	70				12	29				-0	00	24	-0	00	25				
	7	91	12	14	12	13	308	87	28	87	29	91	12	13	91	12	42	399	99	42	91	12	42				
			12	12				87	30				12	71				-0	00	29	-0	00	29				
3	2	100	00	20	00	18	299	99	45	99	48	100	00	18	100	00	35	399	99	66	100	00	35				
			00	16				99	43				00	52				-0	00	17	-0	00	17				
	4	96	11	53	11	54	303	87	75	87	77	96	11	54	96	12	04	399	99	61	96	12	04				
			11	55				87	79				12	23				-0	0	20	-0	00	19				
3	7	91	12	17	12	17	308	87	34	87	33	91	12	17	91	12	42	399	99	50	91	12	42				
			12	17				87	32				12	67				-0	00	25	-0	00	25				
	2	100	00	40	00	40	299	99	44	99	43	100	00	40	100	00	48	399	99	83	100	00	49				
			00	39				99	43				00	57				-0	00	09	-0	00	08				





# Załącznik nr 6



## Załącznik nr 7

GEONET 2006 - system geodezyjny (c)ALGORES-SOFT www.geonet.net.pl  
PROGRAM WYRÓWNIANIA SIECI POZIOMEJ [max. 20000 punktów], wersja 5.8va

OBIEKT:  
WYKONAWCA: Czerwonka, Gontarska  
INDEKS ROBOTY:  
DATA:2013-09-05

Początek obliczeń:15:47:29

OPIS OBIEKTU:  
UKŁAD WSPÓŁRZĘDNYCH: 2000 Strefa: 24  
PARAMETRY ELIPSOIDY ODNIESIENIA:  
a = 6378137.0000m  
b = 6356752.3141m

PARAMETRY CAŁKOWITOLICZBOWE SIECI			
Liczba wszystkich punktów sieci	lp =	7	
Liczba stałych punktów nawiazania	ls =	1	
Liczba pseudoobserwacji współrzędnych	lrsxy =	0	
Liczba punktów wyznaczanych	lr =	6	
Liczba obserwacji katowych	lka =	12	
Liczba stacji obserwacji kierunkowych	lst =	0	
Liczba obserwacji kierunkowych	lki =	0	
Liczba azymutów topograficznych	lazt =	1	
Liczba azymutów geodezyjnych (GPS)	lazg =	0	
Liczba długości klasycznych	ldk =	18	
Liczba długości GPS	ldg =	0	
Liczba niewiadomych współrzędnych	n =	12	
Łączna Liczba obserwacji	m =	31	
Nadwymiarowość układu obserwacyjnego	m-n =	19	

GLOBALNY WSKAŹNIK NIEZAWODNOŚCI: z =0.6129 z% = 61.3%

WYKAZ PUNKTÓW NAWIAZANIA				
NR PUNKTU (nazwa)	X	Y	błędnosci a-priori	
			mX	mY
1	5552796.9920	8394447.5290	0.0000	0.0000

OPCJE SPECJALNE WYRÓWNIANIA:  
Metoda najmniejszych kwadratów - standard  
Miara gradowa  
Błędy średnie obserwacji wyrównanych są liczone na podstawie  
pełnej macierzy kowariancyjnej

WYZNACZALNOŚCI PUNKTÓW					
Ilość obserwacji wiążących dany punkt z innymi punktami sieci: q - ogółem (według zbiorów obserwacyjnych), q0 - tylko dla różnych elementów geometrycznych, q-q0 - powtórzenia pomiarów tych samych elementów geometrycznych sieci. Oznaczenia w komentarzu: s - stały punkt nawiazania, rs - ruchomy punkt nawiazania (z błędnościami współrzędnych)					
lp	Numer (nazwa) punktu	Obserwacje wiążące			KOMENTARZE
		q [ogółem]	q0 [różne]	(q-q0)	
1	2	10	7	3	
2	6	10	7	3	
3	3	10	7	3	
4	4	10	7	3	
5	5	10	7	3	
6	7	13	13	0	
7	1	11	8	3	s

LICZBA PUNKTÓW BEZ KONTROLI = 0

Liczba elementów półpasmowej macierzy normalnej = 74

WYKAZ DANYCH OBSERWACYJNYCH I REDUKCJE ODWZOROWAWCZE  
KĄTY, BŁĘDY ŚREDNIE, REDUKCJE ODWZOROWAWCZE, KĄTY ZREDUKOWANE

----- geonet_2006-----						
P L A N Y   K A T Ó W			KAT OBS., BŁ.ŚR.,REDUKCJA, KAT ZRED			
Nr(L)	Nr(C)	Nr(P)	Al(obs)	mAL	d(AL)	Al(zred)
2	1	7	52.21950	18.4	-0.0	52.21950
2	1	6	125.65990	18.4	-0.0	125.65990
3	2	7	140.95410	18.4	-0.0	140.95410
3	2	1	196.21460	18.4	-0.0	196.21460
4	3	7	74.39450	18.4	-0.0	74.39450
4	3	2	98.11510	18.4	-0.0	98.11510
5	4	7	19.14340	18.4	-0.0	19.14340
5	4	3	113.84670	18.4	0.0	113.84670
6	5	7	57.16800	18.4	0.0	57.16800
6	5	4	198.99100	18.4	0.1	198.99101
1	6	7	42.17360	18.4	0.0	42.17360
1	6	5	67.17100	18.4	0.0	67.17100

DŁUGOŚCI BOKÓW, BŁĘDY ŚREDNIE, REDUKCJE ODWZOROWAWCZE

----- geonet_2006-----						
P L A N Y   B O K Ó W		DŁUG.OBS.	BŁ.ŚR	REDUKCJE		OBS.ZREDUK.
Nr(i)	Nr(j)	D(obs)	mD	dD(odwz)	dD(wys)	D(zred)
... długości klasyczne ...						
2	1	28.2650	0.0015	0.0017	-0.0002	28.2665
7	1	21.7210	0.0015	0.0013	-0.0001	21.7222
6	1	34.2580	0.0015	0.0020	-0.0002	34.2599
2	3	30.1200	0.0015	0.0018	-0.0002	30.1216
2	7	20.8200	0.0015	0.0012	-0.0001	20.8211
2	1	28.2650	0.0015	0.0017	-0.0002	28.2665
4	3	21.4200	0.0015	0.0013	-0.0001	21.4212
7	3	45.7460	0.0015	0.0027	-0.0002	45.7485
2	3	30.1200	0.0015	0.0018	-0.0002	30.1216
5	4	30.6960	0.0015	0.0018	-0.0002	30.6977
4	7	42.2420	0.0015	0.0025	-0.0002	42.2443
4	3	21.4200	0.0015	0.0013	-0.0001	21.4212
6	5	39.6740	0.0015	0.0024	-0.0002	39.6762
5	7	15.7990	0.0015	0.0009	-0.0001	15.7999
5	4	30.6960	0.0015	0.0018	-0.0002	30.6977
6	1	34.2580	0.0015	0.0020	-0.0002	34.2599
6	7	32.2880	0.0015	0.0019	-0.0002	32.2898
6	5	39.6740	0.0015	0.0024	-0.0002	39.6762

AZYMUTY, BŁĘDY ŚREDNIE, REDUKCJE ODWZOROWAWCZE

----- geonet_2006-----					
P L A N Y   A Z Y M U T Ó W			BŁ.ŚR	REDUKCJA	OBS.ZREDUK.
Nr(i)	Nr(j)	Az(dany)	mAz	dAz(odwz)	Az(zred)
... kąty kierunkowe ...					
7	1	261.39940	0.0	0.0	261.39940

IERACJA = 1 KONTROLNE PARAMETRY NUMERYCZNE

Sumy krańcowe w równaniach normalnych:

[pLL] = 278422971076076298.0000000 (z wyrazów wolnych równań obserwacji)

[pvv]+[pdd] = 21.1141904

[pdd] = 0.0000000 (z poprawek dX,dY dla punktów nawiazania)

Empiryczny błąd średni jednostkowy:

~Mo = 121053048.6313805 (z wyrazów wolnych)

Mo = 1.0541694 (z poprawek V i d)

Średniokwadratowy przyrost współrzędnej:

NORM(dx,dy) = 0.010 m

IERACJA = 2 KONTROLNE PARAMETRY NUMERYCZNE

Sumy krańcowe w równaniach normalnych:

[pLL] = 88194506683.1210119 (z wyrazów wolnych równań obserwacji)

[pvv]+[pdd] = 21.0637061

[pdd] = 0.0000000 (z poprawek dX,dY dla punktów nawiazania)

Empiryczny błąd średni jednostkowy:

~Mo = 68130.8750950 (z wyrazów wolnych)

Mo = 1.0529084 (z poprawek V i d)

Średniokwadratowy przyrost współrzędnej:

NORM(dx,dy) = 0.000 m



```

-----
IERACJA = 3 KONTROLNE PARAMETRY NUMERYCZNE
Sumy krańcowe w równaniach normalnych:
[pLL] = 21.0644739 (z wyrazów wolnych równań obserwacji)
[pvv]+[pdd] = 21.0637061
[pdd] = 0.0000000 (z poprawek dX,dY dla punktów nawiazania)
Empiryczny błąd średni jednostkowy:
~Mo = 1.0529276 (z wyrazów wolnych)
Mo = 1.0529084 (z poprawek V i d)
Średniokwadratowy przyrost współrzędnej:
NORM(dx,dy) = 0.000 m
-----

```

```

IERACJA = 4 KONTROLNE PARAMETRY NUMERYCZNE
Sumy krańcowe w równaniach normalnych:
[pLL] = 21.0637072 (z wyrazów wolnych równań obserwacji)
[pvv]+[pdd] = 21.0637061
[pdd] = 0.0000000 (z poprawek dX,dY dla punktów nawiazania)
Empiryczny błąd średni jednostkowy:
~Mo = 1.0529084 (z wyrazów wolnych)
Mo = 1.0529084 (z poprawek V i d)
Średniokwadratowy przyrost współrzędnej:
NORM(dx,dy) = 0.000 m
-----

```

WYNIKI WYRÓWNANIA SIECI  
PROCES ITERACYJNY GAUSSA - NEWTONA

WYKAZ WYRÓWNANYCH MIAR KĄTÓW lub KIERUNKÓW

----- geonet_2006-----									
P L A N Y K A T Ó W			OBSERWACJE		WIELKOŚCI WYRÓWNANE				
Nr(L)	Nr(C)	Nr(P)	Al(obs) [ g ]	mA*Mo [cc]	V [cc]	mV [cc]	Al(wyr) [ g ]	mAwyr [cc]	
2	1	7	52.21950	19.3	4.3	11.6	52.21993	15.5	
2	1	6	125.65990	19.3	5.3	11.3	125.66042	15.7	
3	2	7	140.95410	19.3	-10.7	10.1	140.95303	16.5	
3	2	1	196.21460	19.3	8.5	11.3	196.21545	15.7	
4	3	7	74.39450	19.3	-25.0	15.2	74.39200	12.0	
4	3	2	98.11510	19.3	7.6	14.6	98.11586	12.6	
5	4	7	19.14340	19.3	-9.8	16.5	19.14242	10.0	
5	4	3	113.84670	19.3	-12.8	12.7	113.84543	14.6	
6	5	7	57.16800	19.3	-5.4	9.1	57.16746	17.1	
6	5	4	198.99101	19.3	-6.6	10.3	198.99035	16.4	
1	6	7	42.17360	19.3	-27.7	15.4	42.17083	11.7	
1	6	5	67.17100	19.3	14.9	14.8	67.17249	12.5	

```

ANALIZA STATYSTYCZNA POPRAWEK KĄTÓW:
Liczba poprawek "-" istotnych (> 0.1) : 7
Liczba poprawek "+" istotnych (<-0.1) : 5
Liczba poprawek bliskich zera : 0 (|v| < 0.1[cc])
Liczba "odstających" obs. kątowych : 0 (|v| > 3 * Mv)

```

WYRÓWNANIE DŁUGOŚCI BOKÓW

----- geonet_2006-----								
PLANY BOKÓW		OBSERWACJE		WYNIKI WYRÓWNANIA				
Nr(i)	Nr(j)	D+redukcje	mD*Mo	V	mV	Dwyr	mDwyr	
... długości klasyczne ...								
2	1	28.2665	0.0016	0.0021	0.0014	28.2686	0.0008	
7	1	21.7222	0.0016	-0.0012	0.0015	21.7210	0.0006	
6	1	34.2599	0.0016	0.0007	0.0014	34.2606	0.0008	
2	3	30.1216	0.0016	0.0000	0.0013	30.1216	0.0008	
2	7	20.8211	0.0016	-0.0039	0.0014	20.8173	0.0007	
2	1	28.2665	0.0016	0.0021	0.0014	28.2686	0.0008	
4	3	21.4212	0.0016	-0.0004	0.0013	21.4208	0.0009	
7	3	45.7485	0.0016	-0.0001	0.0014	45.7484	0.0007	
2	3	30.1216	0.0016	0.0000	0.0013	30.1216	0.0008	
5	4	30.6977	0.0016	0.0008	0.0014	30.6985	0.0008	
4	7	42.2443	0.0016	-0.0012	0.0014	42.2431	0.0007	
4	3	21.4212	0.0016	-0.0004	0.0013	21.4208	0.0009	
6	5	39.6762	0.0016	0.0002	0.0014	39.6763	0.0008	
5	7	15.7999	0.0016	0.0003	0.0014	15.8001	0.0007	
5	4	30.6977	0.0016	0.0008	0.0014	30.6985	0.0008	
6	1	34.2599	0.0016	0.0007	0.0014	34.2606	0.0008	
6	7	32.2898	0.0016	-0.0018	0.0014	32.2880	0.0007	
6	5	39.6762	0.0016	0.0002	0.0014	39.6763	0.0008	

## ANALIZA STATYSTYCZNA POPRAWEK:

Liczba poprawek "-" istotnych : 6  
 Liczba poprawek "+" istotnych : 9  
 Liczba poprawek bliskich zera : 3 ( $|v| < 0.0001m$ )  
 Liczba obserwacji "odstających": 0 ( $|v| > 3 * Mv$ )  
 Ocena wielkości błędu:  
 Postulat ewentualnej korekty systematycznej:  
 - współczynnik korekty długości : -0.0000000018  
 [ matematyczna eliminacja błędu odpowiada  
 np. zmianie wysokości n.p.m. o wartość:  
 0.01m

STWIERDZONO: 0 OBSERWACJI "ODSTAJĄCYCH"

[z poprawkami przekraczającymi błąd graniczny]

## AZYMUTY

----- geonet_2006-----							
P L A N Y AZYMUTÓW		OBSERWACJE		WIELKOŚCI WYRÓWNANE			
Nr(I)	Nr(J)	Az(zred)	mA.Mo	V	mV	Az(wyr)	mAwyr
... kąty kierunkowe ...							
7	1	261.39940	0.0	-0.0	0.0	261.39940	0.0

## ANALIZA STATYSTYCZNA POPRAWEK AZYMUTÓW:

Liczba poprawek "-" istotnych : 0  
 Liczba poprawek "+" istotnych : 0  
 Liczba poprawek bliskich zera : 1 ( $|v| < 0.1[cc]$ )  
 Liczba azymutów "odstających" : 0 ( $|v| > 3 * Mv$ )

----- geonet_2006-----							
W S P Ó Ł R Z Ę D N E				W Y R Ó W N A N E			
Lp.	NR PUNKTU	X	Y	Mx A	My B	Mp Fi	Inf
1	2	5552824.9672	8394451.5910	0.0008 0.0008	0.0007 0.0006	0.0011 42.03	
2	6	5552779.1644	8394476.7859	0.0008 0.0012	0.0011 0.0006	0.0014 65.91	
3	3	5552854.4665	8394457.6826	0.0008 0.0016	0.0016 0.0008	0.0018 88.27	
4	4	5552849.5156	8394478.5234	0.0009 0.0016	0.0016 0.0008	0.0018 122.13	
5	5	5552818.8209	8394478.0399	0.0007 0.0007	0.0007 0.0007	0.0010 77.88	
6	7	5552809.3699	8394465.3780	0.0004 0.0006	0.0005 0.0000	0.0006 61.40	
7	1	5552796.9920	8394447.5290	0.0000 0.0000	0.0000 0.0000	0.0000 0.00	s

Przeciętny błąd położenia Mp(sr) = 0.0013 m  
 Maksymalny błąd położenia Mp(max)= 0.0018 m dla punktu: 4

## SKRÓTY I OZNACZENIA:

Mp,Mx,My - błąd położenia i błędy śr. współrzędnych  
 A,B,Fi - parametry elipsy błędu położenia  
 s - stały punkt nawiazania  
 rs - punkt nawiazania z założoną błędnością

## INFORMACJE KONTROLNE:

Błąd średni jednostkowy Mo = 1.05291 (w. niemianowana)  
 Estymaty cząstkowe Mo i liczby stopni swobody:  
 - dla długości Mo(1) = 1.14337 f1 = 11.0  
 - dla kątów Mo(2) = 0.95025 f2 = 7.4  
 Globalna wartość Mo wskazuje na poprawność wagowania  
 Liczba punktów wyznaczanych w sieci bez kontroli: 0

----- geonet 2006 (c)algores-soft\_

Koniec obliczeń:15:47:29

## Załącznik nr 8

Data: 11-12-2013

Obiekt C:\WinKalk\obliczenie pikiet 11.12.2013

Układ 2000

### DZIENNIK POMIARÓW METODĄ BIEGUNOWĄ

Stanowisko	H inst.	Pikieta	Typ	Hz	D	V	H cel
GPS1	1,515	PS2	1	0,0001	28,276	100,0851	1,500
		PS6	1	125,6668	34,299	97,5667	1,500
		1		14,1500	57,978	100,3180	1,500
		2		13,2281	54,572	100,3009	1,500
		3		12,8281	50,108	100,2861	1,500
		4		12,7098	46,947	100,1327	1,500
		5		12,3347	43,397	100,1519	1,500
		6		12,4502	39,944	100,2075	1,500
		7		12,5607	35,501	100,2797	1,500
		8		12,5649	30,563	100,2900	1,500
		9		12,8733	25,127	100,4334	1,500
		10		15,7748	19,691	100,4391	1,500
		11		19,0187	19,981	100,3760	1,500
		12		22,5987	17,880	100,5782	1,500
		13		25,0213	16,304	100,4792	1,500
		14		21,7230	14,715	100,3932	1,500
		15		21,6648	12,212	100,8392	1,500
		16		27,3497	10,756	100,7585	1,500
		17		27,3998	8,348	100,8172	1,500
		18		29,5507	5,434	100,8142	1,500
		19		40,4059	1,703	101,9872	1,500
		20		69,7262	4,267	99,9560	1,500
		21		106,9938	9,827	99,3233	1,500
		22		113,9347	14,774	99,4662	1,500
		23		113,4048	19,676	99,3241	1,500
		24		114,9272	23,761	99,0923	1,500
		25		123,1111	27,834	99,2469	1,500
		26		135,6169	33,523	99,4316	1,500
		27		134,5432	34,185	98,6587	1,500
		28		134,0105	34,833	98,3389	1,500
		29		126,7039	32,077	98,1778	1,500
		30		127,4516	31,352	98,0504	1,500
		31		116,8829	29,696	98,1494	1,500
		32		117,6995	28,581	96,2075	1,500
		33		118,9441	27,782	97,8307	1,500
		34		113,8554	25,874	97,2275	1,500
		35		112,5863	27,554	95,3275	1,500
		36		110,5013	24,346	96,8273	1,500
		37		106,5187	25,403	92,8170	1,500
		38		101,3552	23,968	90,5033	1,500
		39		96,6383	19,832	89,6855	1,500
		40		91,5058	16,558	86,8732	1,500
		41		82,0625	12,290	81,6884	1,500
		42		64,1604	9,946	79,9514	1,500

Stanowisko	H inst.	Pikieta	Typ	Hz	D	V	H cel
		43		57,9718	7,975	83,4701	1,500
		44		51,4735	6,489	87,4001	1,500
		45		52,1911	4,585	90,2604	1,500
		46		61,1907	5,911	91,6613	1,500
		47		95,6171	10,455	94,2980	1,500
		48		106,0546	15,047	94,7175	1,500
		49		107,7532	20,015	95,9843	1,500
		50		105,7381	24,185	93,6994	1,500
		51		101,8292	20,203	94,0579	1,500
		52		98,1043	15,259	91,7345	1,500
		53		86,5736	11,086	87,8909	1,500
		54		66,4590	7,837	86,4015	1,500
		55		15,9884	56,074	98,8823	1,500
		56		15,4524	53,892	98,8135	1,500
		57		15,7813	50,102	98,7901	1,500
		58		15,4144	46,805	98,1809	1,500
		59		15,6022	43,445	98,0570	1,500
		60		17,1948	40,112	97,6240	1,500
		61		17,5989	35,560	97,7793	1,500
		62		19,1662	30,864	97,1371	1,500
		63		21,1361	25,414	96,4499	1,500
		64		22,8140	22,368	95,7099	1,500
		65		21,7003	12,196	100,8275	1,500
		66		33,6467	13,717	93,5314	1,500
		67		40,2453	14,368	88,2582	1,500
		68		45,8980	15,147	85,9098	1,500
		69		48,9063	17,833	82,6495	1,500
		70		48,2926	19,607	81,2883	1,500
		71		46,3976	21,421	81,9525	1,500
		72		39,4707	21,476	86,0234	1,500
		73		35,2577	20,717	88,4134	1,500
		74		30,6243	22,326	91,2886	1,500
		75		27,5756	22,742	93,3285	1,500
		76		33,3205	15,978	95,9113	1,500
		77		31,7768	18,633	95,8986	1,500
		78		28,3405	21,089	96,2643	1,500
		79		44,0995	17,162	88,4942	1,500
		80		42,1733	18,862	88,8213	1,500
		81		39,8427	19,932	89,6281	1,500
		82		26,6128	25,910	92,8231	1,500
		83		24,4784	31,732	93,3726	1,500
		84		21,6070	36,415	94,9535	1,500
		85		19,7621	40,496	95,5809	1,500
		86		18,3652	43,927	95,9587	1,500
		87		17,4696	46,958	96,6067	1,500
		88		17,7480	50,173	97,6202	1,500
		89		17,2921	55,119	97,6907	1,500
		90		19,1120	54,405	96,2999	1,500
		91		20,7891	50,521	96,1010	1,500
		92		19,2087	47,322	95,3059	1,500
		93		21,6463	47,628	94,1101	1,500
		94		22,1518	40,937	93,9171	1,500
		95		25,0198	42,014	92,1797	1,500
		96		25,1687	36,306	92,4433	1,500

Stanowisko	H inst.	Pikieta	Typ	Hz	D	V	H cel
		97		29,5418	36,522	90,2788	1,500
		98		40,3295	29,884	88,3626	1,500
		99		35,4800	28,285	88,3538	1,500
		100		27,2101	32,654	91,6389	1,500
		101		31,5935	26,871	89,7801	1,500
		102		40,0608	24,605	85,0693	1,500
		103		35,4102	23,327	88,2529	1,500
		104		51,8371	24,373	82,4495	1,500
		105		57,1330	22,850	82,3944	1,500
		106		51,7318	21,200	79,9385	1,500
		107		54,4688	18,162	80,3819	1,500
		108		60,3452	15,150	85,6916	1,500
		109		65,9860	18,950	87,7287	1,500
		110		63,9708	23,729	87,3182	1,500
		111		60,7133	20,456	84,6318	1,500
		PS2	1	0,0019	28,272	100,0801	1,500
PS4	1,475	PS5	1	399,9995	30,710	100,1663	1,500
		PS3	1	113,8376	21,466	103,8155	1,500
		112		112,5964	7,999	110,4030	1,500
		113		122,8748	5,396	115,2580	1,500
		114		102,9921	3,202	118,3434	1,500
		115		31,4656	4,683	107,2858	1,500
		116		49,8069	5,325	96,8029	1,500
		117		63,1202	7,068	85,7157	1,500
		118		78,0177	5,541	90,3993	1,500
		119		83,3105	7,435	93,5256	1,500
		120		92,3660	5,135	99,5998	1,500
		121		94,9184	7,243	101,9969	1,500
		122		49,5003	5,266	96,7291	1,500
		123		181,6531	6,091	107,2198	1,500
		124		167,1019	6,520	111,4253	1,500
		125		223,4066	5,548	104,0531	1,500
		126		241,6687	6,649	112,6470	1,500
		127		15,0190	9,458	104,1494	1,500
		128		27,5911	9,818	98,2211	1,500
		129		37,0607	10,529	90,6847	1,500
		130		33,5734	11,995	91,6587	1,500
		131		22,9230	11,534	98,4922	1,500
		132		15,7133	11,274	103,6014	1,500
		133		10,2732	17,486	101,8339	1,500
		134		16,7167	17,795	97,3197	1,500
		135		24,2505	18,715	91,5612	1,500
		136		7,0466	23,113	101,2896	1,500
		137		14,6119	23,128	96,0713	1,500
		138		20,4487	23,900	91,7052	1,500
		139		18,1083	27,444	92,5039	1,500
		140		12,6132	26,924	96,5640	1,500
		141		6,4099	26,889	100,8112	1,500
		142		5,3448	35,892	100,7950	1,500
		143		8,6061	36,059	98,4562	1,500
		144		13,2228	36,647	95,2665	1,500
		145		17,9300	37,406	92,4770	1,500
		146		13,4811	40,766	94,2751	1,500

Stanowisko	H inst.	Pikieta	Typ	Hz	D	V	H cel
		147		10,0945	40,869	96,4359	1,500
		148		6,9835	40,569	98,7825	1,500
		149		4,0169	40,718	100,4844	1,500
		150		13,2910	44,184	94,9081	1,500
		151		9,0393	43,728	97,0697	1,500
		152		6,4611	43,723	98,6391	1,500
		153		3,9488	43,852	100,3951	1,500
		154		10,1648	46,547	96,7503	1,500
		155		6,5345	46,265	98,5955	1,500
		156		3,6577	46,019	100,3617	1,500
		157		397,5697	45,697	100,1760	1,500
		158		393,7929	46,090	101,5940	1,500
		159		396,7506	30,361	100,7811	1,500
		160		308,0646	1,978	108,7043	1,500
		161		309,8988	4,257	120,6572	1,500
		PS5	1	399,9957	30,700	100,1720	1,500
PS6	1,415	GPS1	1	0,0003	34,290	102,2786	1,500
		PS5	1	67,1786	39,685	100,2858	1,500
		162		41,4192	26,174	94,7904	1,500
		163		23,2118	30,993	96,7988	1,500
		164		20,0657	30,135	96,2163	1,500
		165		26,4114	24,472	94,5360	1,500
		166		32,2647	25,785	94,1818	1,500
		167		39,2085	24,343	94,6074	1,500
		168		35,3942	21,018	94,9666	1,500
		169		46,9211	23,013	94,0237	1,500
		170		52,5406	22,229	96,9709	1,500
		171		60,7230	21,761	100,5431	1,500
		172		58,7858	16,822	101,4906	1,500
		173		49,3579	17,378	95,7619	1,500
		174		41,9176	18,176	92,6668	1,500
		175		48,7888	14,843	95,3812	1,500
		176		57,3025	13,190	101,3628	1,500
		177		359,1815	2,175	109,3963	1,500
		178		173,5637	2,671	102,2406	1,500
		179		169,9723	5,413	114,2637	1,500
		GPS1	1	0,0060	34,292	102,2880	1,500

## Załącznik nr 9

### OBLICZENIE WSPÓŁRZĘDNYCH PUNKTÓW POMIARZONYCH METODĄ BIEGUNOWĄ (ST. GPS1)

Stanowisko: GPS1 X=5552796,992 Y=8394447,529 H=180,703  
Nawiązanie: PS2 X=5552824,967 Y=8394451,591 D=28,276  
Odchyłka md=-0,009 dH=-0,002  
Kierunek nawiązania 0,0001  
Nawiązanie: PS6 X=5552779,164 Y=8394476,786 D=34,274  
Odchyłka md=-0,015 dH=-0,012  
Kierunek nawiązania 125,6668  
Odchyłka nawiązania -0,0064  
Wysokość instrumentu Hi = 1,515

Nr	Kier. Hz	Odl. skoś.	Kąt V	H celu	X	Y	H
1	14,1500	57,978	100,3180	1,500	5552851,124	8394468,301	180,428
2	13,2281	54,572	100,3009	1,500	5552848,222	8394466,341	180,460
3	12,8281	50,108	100,2861	1,500	5552844,139	8394464,507	180,493
4	12,7098	46,947	100,1327	1,500	5552841,194	8394463,354	180,620
5	12,3347	43,397	100,1519	1,500	5552837,937	8394461,916	180,614
6	12,4502	39,944	100,2075	1,500	5552834,655	8394460,840	180,588
7	12,5607	35,501	100,2797	1,500	5552830,445	8394459,417	180,562
8	12,5649	30,563	100,2900	1,500	5552825,791	8394457,765	180,579
9	12,8733	25,127	100,4334	1,500	5552820,628	8394456,059	180,547
10	15,7748	19,691	100,4391	1,500	5552815,191	8394455,051	180,582
11	19,0187	19,981	100,3760	1,500	5552815,046	8394456,092	180,600
12	22,5987	17,880	100,5782	1,500	5552812,691	8394456,087	180,556
13	25,0213	16,304	100,4792	1,500	5552811,000	8394455,872	180,595
14	21,7230	14,715	100,3932	1,500	5552810,008	8394454,394	180,627
15	21,6648	12,212	100,8392	1,500	5552807,798	8394453,216	180,557
16	27,3497	10,756	100,7585	1,500	5552806,026	8394453,367	180,590
17	27,3998	8,348	100,8172	1,500	5552804,000	8394452,066	180,611
18	29,5507	5,434	100,8142	1,500	5552801,451	8394450,634	180,649
19	40,4059	1,703	101,9872	1,500	5552798,204	8394448,725	180,665
20	69,7262	4,267	99,9560	1,500	5552798,380	8394451,564	180,721
21	106,9938	9,827	99,3233	1,500	5552794,523	8394457,041	180,822
22	113,9347	14,774	99,4662	1,500	5552791,746	8394461,340	180,842
23	113,4048	19,676	99,3241	1,500	5552790,158	8394465,980	180,927
24	114,9272	23,761	99,0923	1,500	5552788,209	8394469,606	181,057
25	123,1111	27,834	99,2469	1,500	5552783,473	8394471,859	181,047
26	135,6169	33,523	99,4316	1,500	5552775,303	8394473,091	181,017
27	134,5432	34,185	98,6587	1,500	5552775,321	8394473,960	181,438
28	134,0105	34,833	98,3389	1,500	5552775,139	8394474,642	181,627
29	126,7039	32,077	98,1778	1,500	5552779,861	8394474,635	181,636
30	127,4516	31,352	98,0504	1,500	5552779,939	8394473,823	181,678
31	116,8829	29,696	98,1494	1,500	5552785,177	8394474,762	181,581
32	117,6995	28,581	96,2075	1,500	5552785,301	8394473,556	182,420
33	118,9441	27,782	97,8307	1,500	5552785,122	8394472,631	181,665
34	113,8554	25,874	97,2275	1,500	5552787,842	8394471,707	181,845
35	112,5863	27,554	95,3275	1,500	5552787,779	8394473,420	182,739
36	110,5013	24,346	96,8273	1,500	5552789,595	8394470,694	181,931
37	106,5187	25,403	92,8170	1,500	5552790,832	8394472,009	183,578
38	101,3552	23,968	90,5033	1,500	5552793,089	8394470,909	184,280
39	96,6383	19,832	89,6855	1,500	5552795,207	8394467,021	183,917



Nr	Kier. Hz	Odl. skoś.	Kąt V	H celu	X	Y	H
40	91,5058	16,558	86,8732	1,500	5552796,818	8394463,736	184,108
41	82,0625	12,290	81,6884	1,500	5552798,609	8394459,203	184,205
42	64,1604	9,946	79,9514	1,500	5552800,838	8394456,169	183,799
43	57,9718	7,975	83,4701	1,500	5552800,795	8394454,233	182,766
44	51,4735	6,489	87,4001	1,500	5552800,679	8394452,714	181,994
45	52,1911	4,585	90,2604	1,500	5552799,576	8394451,252	181,417
46	61,1907	5,911	91,6613	1,500	5552799,623	8394452,766	181,490
47	95,6171	10,455	94,2980	1,500	5552796,209	8394457,913	181,653
48	106,0546	15,047	94,7175	1,500	5552793,438	8394462,098	181,965
49	107,7532	20,015	95,9843	1,500	5552791,742	8394466,803	181,980
50	105,7381	24,185	93,6994	1,500	5552791,405	8394470,940	183,108
51	101,8292	20,203	94,0579	1,500	5552793,532	8394467,345	182,601
52	98,1043	15,259	91,7345	1,500	5552795,265	8394462,562	182,694
53	86,5736	11,086	87,8909	1,500	5552797,718	8394458,391	182,814
54	66,4590	7,837	86,4015	1,500	5552799,852	8394454,634	182,379
55	15,9884	56,074	98,8823	1,500	5552848,737	8394469,119	181,702
56	15,4524	53,892	98,8135	1,500	5552846,895	8394467,860	181,722
57	15,7813	50,102	98,7901	1,500	5552843,287	8394466,669	181,670
58	15,4144	46,805	98,1809	1,500	5552840,333	8394465,156	182,055
59	15,6022	43,445	98,0570	1,500	5552837,171	8394464,008	182,044
60	17,1948	40,112	97,6240	1,500	5552833,688	8394463,663	182,215
61	17,5989	35,560	97,7793	1,500	5552829,435	8394462,040	181,958
62	19,1662	30,864	97,1371	1,500	5552824,821	8394460,808	182,106
63	21,1361	25,414	96,4499	1,500	5552819,545	8394459,160	182,135
64	22,8140	22,368	95,7099	1,500	5552816,552	8394458,278	182,224
65	21,7003	12,196	100,8275	1,500	5552807,781	8394453,215	180,559
66	33,6467	13,717	93,5314	1,500	5552807,666	8394456,032	182,109
67	40,2453	14,368	88,2582	1,500	5552807,070	8394457,426	183,353
68	45,8980	15,147	85,9098	1,500	5552806,577	8394458,778	184,043
69	48,9063	17,833	82,6495	1,500	5552807,502	8394461,114	185,519
70	48,2926	19,607	81,2883	1,500	5552808,618	8394462,262	186,399
71	46,3976	21,421	81,9525	1,500	5552810,208	8394463,288	186,710
72	39,4707	21,476	86,0234	1,500	5552812,126	8394462,033	185,395
73	35,2577	20,717	88,4134	1,500	5552812,603	8394460,624	184,468
74	30,6243	22,326	91,2886	1,500	5552814,927	8394460,474	183,764
75	27,5756	22,742	93,3285	1,500	5552815,945	8394459,873	183,097
76	33,3205	15,978	95,9113	1,500	5552809,515	8394457,400	181,744
77	31,7768	18,633	95,8986	1,500	5552811,871	8394458,683	181,918
78	28,3405	21,089	96,2643	1,500	5552814,495	8394459,231	181,955
79	44,0995	17,162	88,4942	1,500	5552808,301	8394460,066	183,803
80	42,1733	18,862	88,8213	1,500	5552809,844	8394460,938	184,013
81	39,8427	19,932	89,6281	1,500	5552811,113	8394461,221	183,951
82	26,6128	25,910	92,8231	1,500	5552818,777	8394461,253	183,633
83	24,4784	31,732	93,3726	1,500	5552824,246	8394463,448	184,016
84	21,6070	36,415	94,9535	1,500	5552829,133	8394464,407	183,602
85	19,7621	40,496	95,5809	1,500	5552833,290	8394465,268	183,527
86	18,3652	43,927	95,9587	1,500	5552836,794	8394465,909	183,505
87	17,4696	46,958	96,6067	1,500	5552839,838	8394466,589	183,220
88	17,7480	50,173	97,6202	1,500	5552842,715	8394468,108	182,593
89	17,2921	55,119	97,6907	1,500	5552847,385	8394469,778	182,717
90	19,1120	54,405	96,2999	1,500	5552846,034	8394470,878	183,878
91	20,7891	50,521	96,1010	1,500	5552841,937	8394470,399	183,810
92	19,2087	47,322	95,3059	1,500	5552839,574	8394467,882	184,204
93	21,6463	47,628	94,1101	1,500	5552838,968	8394469,605	185,118

Nr	Kier. Hz	Odl. skoś.	Kąt V	H celu	X	Y	H
94	22,1518	40,937	93,9171	1,500	5552832,909	8394466,784	184,624
95	25,0198	42,014	92,1797	1,500	5552832,819	8394468,866	185,866
96	25,1687	36,306	92,4433	1,500	5552827,924	8394466,049	185,018
97	29,5418	36,522	90,2788	1,500	5552826,618	8394468,155	186,274
98	40,3295	29,884	88,3626	1,500	5552817,933	8394468,147	186,151
99	35,4800	28,285	88,3538	1,500	5552818,240	8394465,479	185,864
100	27,2101	32,654	91,6389	1,500	5552824,221	8394465,042	184,995
101	31,5935	26,871	89,7801	1,500	5552818,263	8394463,380	185,013
102	40,0608	24,605	85,0693	1,500	5552814,117	8394464,248	186,436
103	35,4102	23,327	88,2529	1,500	5552814,526	8394462,309	184,998
104	51,8371	24,373	82,4495	1,500	5552810,474	8394466,721	187,353
105	57,1330	22,850	82,3944	1,500	5552808,090	8394466,505	186,957
106	51,7318	21,200	79,9385	1,500	5552808,606	8394464,004	187,289
107	54,4688	18,162	80,3819	1,500	5552806,347	8394462,090	186,227
108	60,3452	15,150	85,6916	1,500	5552803,796	8394460,638	184,095
109	65,9860	18,950	87,7287	1,500	5552804,066	8394464,731	184,348
110	63,9708	23,729	87,3182	1,500	5552806,515	8394468,751	185,414
111	60,7133	20,456	84,6318	1,500	5552806,041	8394465,212	185,609

**OBLICZENIE WSPÓŁRZĘDNYCH PUNKTÓW POMIARZONYCH METODĄ BIEGUNOWĄ  
(ST. PS4)**

Stanowisko: PS4 X=5552849,516 Y=8394478,523 H=181,851  
 Nawiązanie: PS5 X=5552818,821 Y=8394478,040 D=30,710  
 Odchyłka md=-0,013 dH=0,005  
 Kierunek nawiązania 399,9995  
 Nawiązanie: PS3 X=5552854,466 Y=8394457,683 D=21,427  
 Odchyłka md=-0,008 dH=0,001  
 Kierunek nawiązania 113,8376  
 Odchyłka nawiązania 0,0074  
 Wysokość instrumentu Hi = 1,475

Nr	Kier. Hz	Odl. skoś.	Kąt V	H celu	X	Y	H
112	112,5964	7,999	110,4030	1,500	5552851,189	8394470,810	180,525
113	122,8748	5,396	115,2580	1,500	5552851,436	8394473,646	180,545
114	102,9921	3,202	118,3434	1,500	5552849,708	8394475,459	180,916
115	31,4656	4,683	107,2858	1,500	5552845,455	8394476,252	181,291
116	49,8069	5,325	96,8029	1,500	5552845,803	8394474,715	182,093
117	63,1202	7,068	85,7157	1,500	5552845,835	8394472,698	183,399
118	78,0177	5,541	90,3993	1,500	5552847,743	8394473,340	182,659
119	83,3105	7,435	93,5256	1,500	5552847,712	8394471,350	182,581
120	92,3660	5,135	99,5998	1,500	5552848,982	8394473,416	181,858
121	94,9184	7,243	101,9969	1,500	5552849,053	8394471,298	181,599
122	49,5003	5,266	96,7291	1,500	5552845,826	8394474,775	182,096
123	181,6531	6,091	107,2198	1,500	5552855,345	8394476,895	181,137
124	167,1019	6,520	111,4253	1,500	5552855,143	8394475,442	180,662
125	223,4066	5,548	104,0531	1,500	5552854,651	8394480,595	181,473
126	241,6687	6,649	112,6470	1,500	5552854,624	8394482,573	180,514
127	15,0190	9,458	104,1494	1,500	5552840,375	8394476,172	181,210
128	27,5911	9,818	98,2211	1,500	5552840,675	8394474,261	182,100
129	37,0607	10,529	90,6847	1,500	5552840,906	8394472,659	183,361
130	33,5734	11,995	91,6587	1,500	5552839,334	8394472,376	183,393
131	22,9230	11,534	98,4922	1,500	5552838,789	8394474,290	182,099

Nr	Kier. Hz	Odl. skoś.	Kąt V	H celu	X	Y	H
132	15,7133	11,274	103,6014	1,500	5552838,645	8394475,601	181,189
133	10,2732	17,486	101,8339	1,500	5552832,309	8394475,442	181,322
134	16,7167	17,795	97,3197	1,500	5552832,420	8394473,637	182,575
135	24,2505	18,715	91,5612	1,500	5552832,405	8394471,355	184,300
136	7,0466	23,113	101,2896	1,500	5552826,591	8394475,608	181,358
137	14,6119	23,128	96,0713	1,500	5552827,122	8394472,916	183,252
138	20,4487	23,900	91,7052	1,500	5552827,150	8394470,687	184,931
139	18,1083	27,444	92,5039	1,500	5552823,479	8394470,462	185,050
140	12,6132	26,924	96,5640	1,500	5552823,242	8394472,815	183,279
141	6,4099	26,889	100,8112	1,500	5552822,809	8394475,398	181,483
142	5,3448	35,892	100,7950	1,500	5552813,803	8394474,948	181,378
143	8,6061	36,059	98,4562	1,500	5552813,875	8394473,100	182,700
144	13,2228	36,647	95,2665	1,500	5552813,877	8394470,422	184,548
145	17,9300	37,406	92,4770	1,500	5552814,000	8394467,636	186,236
146	13,4811	40,766	94,2751	1,500	5552809,959	8394469,362	185,487
147	10,0945	40,869	96,4359	1,500	5552809,327	8394471,443	184,113
148	6,9835	40,569	98,7825	1,500	5552809,271	8394473,445	182,602
149	4,0169	40,718	100,4844	1,500	5552808,923	8394475,313	181,516
150	13,2910	44,184	94,9081	1,500	5552806,576	8394468,714	185,356
151	9,0393	43,728	97,0697	1,500	5552806,374	8394471,658	183,838
152	6,4611	43,723	98,6391	1,500	5552806,100	8394473,407	182,761
153	3,9488	43,852	100,3951	1,500	5552805,795	8394475,113	181,554
154	10,1648	46,547	96,7503	1,500	5552803,740	8394470,407	184,201
155	6,5345	46,265	98,5955	1,500	5552803,583	8394473,057	182,847
156	3,6577	46,019	100,3617	1,500	5552803,618	8394475,154	181,565
157	397,5697	45,697	100,1760	1,500	5552803,827	8394479,545	181,700
158	393,7929	46,090	101,5940	1,500	5552803,591	8394482,283	180,672
159	396,7506	30,361	100,7811	1,500	5552819,174	8394479,593	181,453
160	308,0646	1,978	108,7043	1,500	5552849,237	8394480,463	181,556
161	309,8988	4,257	120,6572	1,500	5552848,828	8394482,499	180,469

**OBLICZENIE WSPÓŁRZĘDNYCH PUNKTÓW POMIERZONYCH METODĄ BIEGUNOWĄ  
(ST. PS6)**

Stanowisko: PS6 X=5552779,164 Y=8394476,786 H=182,016  
 Nawiazanie: GPS1 X=5552796,992 Y=8394447,529 D=34,268  
 Odchyłka md=-0,009 dH=-0,002  
 Kierunek nawiazania 0,0003  
 Nawiazanie: PS5 X=5552818,821 Y=8394478,040 D=39,685  
 Odchyłka md=-0,011 dH=-0,002  
 Kierunek nawiazania 67,1786  
 Odchyłka nawiazania -0,0058  
 Wysokość instrumentu Hi = 1,415

Nr	Kier. Hz	Odl. skoś.	Kąt V	H celu	X	Y	H
162	41,4192	26,174	94,7904	1,500	5552803,459	8394467,280	184,071
163	23,2118	30,993	96,7988	1,500	5552803,639	8394457,832	183,489
164	20,0657	30,135	96,2163	1,500	5552802,010	8394457,213	183,721
165	26,4114	24,472	94,5360	1,500	5552799,168	8394462,843	184,029
166	32,2647	25,785	94,1818	1,500	5552801,490	8394464,099	184,284
167	39,2085	24,343	94,6074	1,500	5552801,433	8394467,168	183,991
168	35,3942	21,018	94,9666	1,500	5552797,869	8394467,341	183,591
169	46,9211	23,013	94,0237	1,500	5552801,143	8394470,310	184,088
170	52,5406	22,229	96,9709	1,500	5552800,935	8394472,412	182,988

Nr	Kier. Hz	Odl. skoś.	Kąt V	H celu	X	Y	H
171	60,7230	21,761	100,5431	1,500	5552800,873	8394475,269	181,745
172	58,7858	16,822	101,4906	1,500	5552795,898	8394475,104	181,537
173	49,3579	17,378	95,7619	1,500	5552795,973	8394472,525	183,087
174	41,9176	18,176	92,6668	1,500	5552796,031	8394470,338	184,020
175	48,7888	14,843	95,3812	1,500	5552793,482	8394473,020	183,007
176	57,3025	13,190	101,3628	1,500	5552792,252	8394475,162	181,649
177	359,1815	2,175	109,3963	1,500	5552778,963	8394474,644	181,611
178	173,5637	2,671	102,2406	1,500	5552778,813	8394479,432	181,837
179	169,9723	5,413	114,2637	1,500	5552778,766	8394482,049	180,728

## Załącznik nr 10

Data: 11-12-2013

Obiekt C:\WinKalk\obliczenie pikiet

Układ 2000

### OBLICZENIE OBJĘTOŚCI MAS ZIEMI

Poziom odniesienia: 180,66

Objętość: 2899,86

Pole pow. skośne: 1283 m<sup>2</sup>

Pomierzone punkty:

Nr	X	Y	H
1	5552851,124	8394468,301	180,428
2	5552848,222	8394466,341	180,460
3	5552844,139	8394464,507	180,493
4	5552841,194	8394463,354	180,620
5	5552837,937	8394461,916	180,614
6	5552834,655	8394460,840	180,588
7	5552830,445	8394459,417	180,562
8	5552825,791	8394457,765	180,579
9	5552820,628	8394456,059	180,547
10	5552815,191	8394455,051	180,582
11	5552815,046	8394456,092	180,600
12	5552812,691	8394456,087	180,556
13	5552811,000	8394455,872	180,595
14	5552810,008	8394454,394	180,627
15	5552807,798	8394453,216	180,557
16	5552806,026	8394453,367	180,590
17	5552804,000	8394452,066	180,611
18	5552801,451	8394450,634	180,649
19	5552798,204	8394448,725	180,665
20	5552798,380	8394451,564	180,721
21	5552794,523	8394457,041	180,822
22	5552791,746	8394461,340	180,842
23	5552790,158	8394465,980	180,927
24	5552788,209	8394469,606	181,057
25	5552783,473	8394471,859	181,047
26	5552775,303	8394473,091	181,017
27	5552775,321	8394473,960	181,438
28	5552775,139	8394474,642	181,627
30	5552779,939	8394473,823	181,678
31	5552785,177	8394474,762	181,581
32	5552785,301	8394473,556	182,420
33	5552785,122	8394472,631	181,665
34	5552787,842	8394471,707	181,845
35	5552787,779	8394473,420	182,739
36	5552789,595	8394470,694	181,931
37	5552790,832	8394472,009	183,578
38	5552793,089	8394470,909	184,280
39	5552795,207	8394467,021	183,917
40	5552796,818	8394463,736	184,108
41	5552798,609	8394459,203	184,205
42	5552800,838	8394456,169	183,799
43	5552800,795	8394454,233	182,766

Nr	X	Y	H
44	5552800,679	8394452,714	181,994
45	5552799,576	8394451,252	181,417
46	5552799,623	8394452,766	181,490
47	5552796,209	8394457,913	181,653
48	5552793,438	8394462,098	181,965
49	5552791,742	8394466,803	181,980
50	5552791,405	8394470,940	183,108
51	5552793,532	8394467,345	182,601
52	5552795,265	8394462,562	182,694
53	5552797,718	8394458,391	182,814
54	5552799,852	8394454,634	182,379
55	5552848,737	8394469,119	181,702
56	5552846,895	8394467,860	181,722
57	5552843,287	8394466,669	181,670
58	5552840,333	8394465,156	182,055
59	5552837,171	8394464,008	182,044
60	5552833,688	8394463,663	182,215
61	5552829,435	8394462,040	181,958
62	5552824,821	8394460,808	182,106
63	5552819,545	8394459,160	182,135
64	5552816,552	8394458,278	182,224
66	5552807,666	8394456,032	182,109
67	5552807,070	8394457,426	183,353
68	5552806,577	8394458,778	184,043
69	5552807,502	8394461,114	185,519
70	5552808,618	8394462,262	186,399
71	5552810,208	8394463,288	186,710
72	5552812,126	8394462,033	185,395
73	5552812,603	8394460,624	184,468
74	5552814,927	8394460,474	183,764
75	5552815,945	8394459,873	183,097
76	5552809,515	8394457,400	181,744
77	5552811,871	8394458,683	181,918
78	5552814,495	8394459,231	181,955
79	5552808,301	8394460,066	183,803
80	5552809,844	8394460,938	184,013
81	5552811,113	8394461,221	183,951
82	5552818,777	8394461,253	183,633
83	5552824,246	8394463,448	184,016
84	5552829,133	8394464,407	183,602
85	5552833,290	8394465,268	183,527
86	5552836,794	8394465,909	183,505
87	5552839,838	8394466,589	183,220
88	5552842,715	8394468,108	182,593
89	5552847,385	8394469,778	182,717
90	5552846,034	8394470,878	183,878
91	5552841,937	8394470,399	183,810
92	5552839,574	8394467,882	184,204
93	5552838,968	8394469,605	185,118
94	5552832,909	8394466,784	184,624
95	5552832,819	8394468,866	185,866
96	5552827,924	8394466,049	185,018
97	5552826,618	8394468,155	186,274

Nr	X	Y	H
98	5552817,933	8394468,147	186,151
99	5552818,240	8394465,479	185,864
100	5552824,221	8394465,042	184,995
101	5552818,263	8394463,380	185,013
102	5552814,117	8394464,248	186,436
103	5552814,526	8394462,309	184,998
104	5552810,474	8394466,721	187,353
105	5552808,090	8394466,505	186,957
106	5552808,606	8394464,004	187,289
107	5552806,347	8394462,090	186,227
108	5552803,796	8394460,638	184,095
109	5552804,066	8394464,731	184,348
111	5552806,041	8394465,212	185,609
112	5552851,189	8394470,810	180,525
113	5552851,436	8394473,646	180,545
114	5552849,708	8394475,459	180,916
115	5552845,455	8394476,252	181,291
116	5552845,803	8394474,715	182,093
117	5552845,835	8394472,698	183,399
118	5552847,743	8394473,340	182,659
119	5552847,712	8394471,350	182,581
120	5552848,982	8394473,416	181,858
121	5552849,053	8394471,298	181,599
127	5552840,375	8394476,172	181,210
128	5552840,675	8394474,261	182,100
129	5552840,906	8394472,659	183,361
130	5552839,334	8394472,376	183,393
131	5552838,789	8394474,290	182,099
132	5552838,645	8394475,601	181,189
133	5552832,309	8394475,442	181,322
134	5552832,420	8394473,637	182,575
135	5552832,405	8394471,355	184,300
136	5552826,591	8394475,608	181,358
137	5552827,122	8394472,916	183,252
138	5552827,150	8394470,687	184,931
139	5552823,479	8394470,462	185,050
140	5552823,242	8394472,815	183,279
141	5552822,809	8394475,398	181,483
142	5552813,803	8394474,948	181,378
143	5552813,875	8394473,100	182,700
144	5552813,877	8394470,422	184,548
145	5552814,000	8394467,636	186,236
146	5552809,959	8394469,362	185,487
147	5552809,327	8394471,443	184,113
148	5552809,271	8394473,445	182,602
149	5552808,923	8394475,313	181,516
150	5552806,576	8394468,714	185,356
151	5552806,374	8394471,658	183,838
152	5552806,100	8394473,407	182,761
153	5552805,795	8394475,113	181,554
154	5552803,740	8394470,407	184,201
155	5552803,583	8394473,057	182,847
156	5552803,618	8394475,154	181,565
162	5552803,459	8394467,280	184,071



Nr	X	Y	H
163	5552803,639	8394457,832	183,489
164	5552802,010	8394457,213	183,721
165	5552799,168	8394462,843	184,029
166	5552801,490	8394464,099	184,284
167	5552801,433	8394467,168	183,991
168	5552797,869	8394467,341	183,591
169	5552801,143	8394470,310	184,088
170	5552800,935	8394472,412	182,988
171	5552800,873	8394475,269	181,745
172	5552795,898	8394475,104	181,537
173	5552795,973	8394472,525	183,087
174	5552796,031	8394470,338	184,020
175	5552793,482	8394473,020	183,007
176	5552792,252	8394475,162	181,649
177	5552778,963	8394474,644	181,611

H średnie = 2,205 Przybliżona objętość ( $H_{sr} \cdot \text{powierzchnia}$ ) = 2829,44

## Załącznik nr 11

### OBLICZENIE OBJĘTOŚCI

Płaszczyzna odniesienia pozioma  $h = 180.660$  m.

Obliczona objętość :

- ponad płaszczyznę odniesienia  $V1 = 2912.49$  m<sup>3</sup>.

- pod płaszczyznę odniesienia  $V2 = -0.66$  m<sup>3</sup>.

Powierzchnia 3D nasypu = 1275.4376 m<sup>2</sup>

Powierzchnia 3D wykopu = 12.4187 m<sup>2</sup>

Powierzchnia 2D nasypu = 1091.3193 m<sup>2</sup>

Powierzchnia 2D wykopu = 10.7964 m<sup>2</sup>

Model: trojkaty

WYKAZ WSPÓŁRZĘDNYCH (punkty terenu wykorzystane do interpolacji)

Numer	X	Y	H
1	5552851.124	8394468.301	180.428
2	5552848.222	8394466.341	180.460
3	5552844.139	8394464.507	180.493
4	5552841.194	8394463.354	180.620
5	5552837.937	8394461.916	180.614
6	5552834.655	8394460.840	180.588
7	5552830.445	8394459.417	180.562
8	5552825.791	8394457.765	180.579
9	5552820.628	8394456.059	180.547
10	5552815.191	8394455.051	180.582
11	5552815.046	8394456.092	180.600
12	5552812.691	8394456.087	180.556
13	5552811.000	8394455.872	180.595
14	5552810.008	8394454.394	180.627
15	5552807.798	8394453.216	180.557
16	5552806.026	8394453.367	180.590
17	5552804.000	8394452.066	180.611
18	5552801.451	8394450.634	180.649
19	5552798.204	8394448.725	180.665
20	5552798.380	8394451.564	180.721
21	5552794.523	8394457.041	180.822
22	5552791.746	8394461.340	180.842
23	5552790.158	8394465.980	180.927
24	5552788.209	8394469.606	181.057
25	5552783.473	8394471.859	181.047
26	5552775.303	8394473.091	181.017
27	5552775.321	8394473.960	181.438
28	5552775.139	8394474.642	181.627
30	5552779.939	8394473.823	181.678
31	5552785.177	8394474.762	181.581
32	5552785.301	8394473.556	182.420
33	5552785.122	8394472.631	181.665
34	5552787.842	8394471.707	181.845
35	5552787.779	8394473.420	182.739
36	5552789.595	8394470.694	181.931
37	5552790.832	8394472.009	183.578
38	5552793.089	8394470.909	184.280
39	5552795.207	8394467.021	183.917
40	5552796.818	8394463.736	184.108
41	5552798.609	8394459.203	184.205
42	5552800.838	8394456.169	183.799
43	5552800.795	8394454.233	182.766
44	5552800.679	8394452.714	181.994
45	5552799.576	8394451.252	181.417
46	5552799.623	8394452.766	181.490
47	5552796.209	8394457.913	181.653
48	5552793.438	8394462.098	181.965

49	5552791.742	8394466.803	181.980
50	5552791.405	8394470.940	183.108
51	5552793.532	8394467.345	182.601
52	5552795.265	8394462.562	182.694
53	5552797.718	8394458.391	182.814
54	5552799.852	8394454.634	182.379
55	5552848.737	8394469.119	181.702
56	5552846.895	8394467.860	181.722
57	5552843.287	8394466.669	181.670
58	5552840.333	8394465.156	182.055
59	5552837.171	8394464.008	182.044
60	5552833.688	8394463.663	182.215
61	5552829.435	8394462.040	181.958
62	5552824.821	8394460.808	182.106
63	5552819.545	8394459.160	182.135
64	5552816.552	8394458.278	182.224
66	5552807.666	8394456.032	182.109
67	5552807.070	8394457.426	183.353
68	5552806.577	8394458.778	184.043
69	5552807.502	8394461.114	185.519
70	5552808.618	8394462.262	186.399
71	5552810.208	8394463.288	186.710
72	5552812.126	8394462.033	185.395
73	5552812.603	8394460.624	184.468
74	5552814.927	8394460.474	183.764
75	5552815.945	8394459.873	183.097
76	5552809.515	8394457.400	181.744
77	5552811.871	8394458.683	181.918
78	5552814.495	8394459.231	181.955
79	5552808.301	8394460.066	183.803
80	5552809.844	8394460.938	184.013
81	5552811.113	8394461.221	183.951
82	5552818.777	8394461.253	183.633
83	5552824.246	8394463.448	184.016
84	5552829.133	8394464.407	183.602
85	5552833.290	8394465.268	183.527
86	5552836.794	8394465.909	183.505
87	5552839.838	8394466.589	183.220
88	5552842.715	8394468.108	182.593
89	5552847.385	8394469.778	182.717
90	5552846.034	8394470.878	183.878
91	5552841.937	8394470.399	183.810
92	5552839.574	8394467.882	184.204
93	5552838.968	8394469.605	185.118
94	5552832.909	8394466.784	184.624
95	5552832.819	8394468.866	185.866
96	5552827.924	8394466.049	185.018
97	5552826.618	8394468.155	186.274
98	5552817.933	8394468.147	186.151
99	5552818.240	8394465.479	185.864
100	5552824.221	8394465.042	184.995
101	5552818.263	8394463.380	185.013
102	5552814.117	8394464.248	186.436
103	5552814.526	8394462.309	184.998
104	5552810.474	8394466.721	187.353
105	5552808.090	8394466.505	186.957
106	5552808.606	8394464.004	187.289
107	5552806.347	8394462.090	186.227
108	5552803.796	8394460.638	184.095
109	5552804.066	8394464.731	184.348
111	5552806.041	8394465.212	185.609
112	5552851.189	8394470.810	180.525
113	5552851.436	8394473.646	180.545

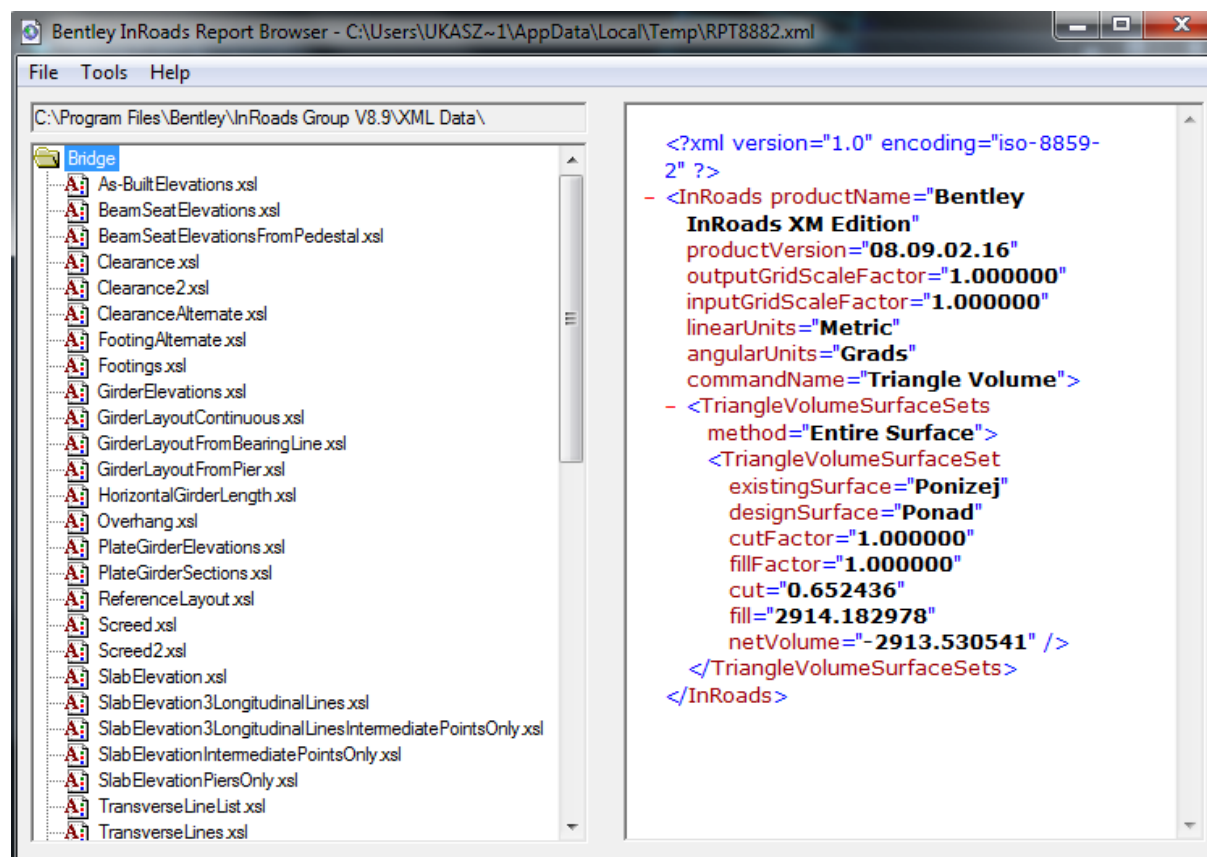
114	5552849.708	8394475.459	180.916
115	5552845.455	8394476.252	181.291
116	5552845.803	8394474.715	182.093
117	5552845.835	8394472.698	183.399
118	5552847.743	8394473.340	182.659
119	5552847.712	8394471.350	182.581
120	5552848.982	8394473.416	181.858
121	5552849.053	8394471.298	181.599
127	5552840.375	8394476.172	181.210
128	5552840.675	8394474.261	182.100
129	5552840.906	8394472.659	183.361
130	5552839.334	8394472.376	183.393
131	5552838.789	8394474.290	182.099
132	5552838.645	8394475.601	181.189
133	5552832.309	8394475.442	181.322
134	5552832.420	8394473.637	182.575
135	5552832.405	8394471.355	184.300
136	5552826.591	8394475.608	181.358
137	5552827.122	8394472.916	183.252
138	5552827.150	8394470.687	184.931
139	5552823.479	8394470.462	185.050
140	5552823.242	8394472.815	183.279
141	5552822.809	8394475.398	181.483
142	5552813.803	8394474.948	181.378
143	5552813.875	8394473.100	182.700
144	5552813.877	8394470.422	184.548
145	5552814.000	8394467.636	186.236
146	5552809.959	8394469.362	185.487
147	5552809.327	8394471.443	184.113
148	5552809.271	8394473.445	182.602
149	5552808.923	8394475.313	181.516
150	5552806.576	8394468.714	185.356
151	5552806.374	8394471.658	183.838
152	5552806.100	8394473.407	182.761
153	5552805.795	8394475.113	181.554
154	5552803.740	8394470.407	184.201
155	5552803.583	8394473.057	182.847
156	5552803.618	8394475.154	181.565
162	5552803.459	8394467.280	184.071
163	5552803.639	8394457.832	183.489
164	5552802.010	8394457.213	183.721
165	5552799.168	8394462.843	184.029
166	5552801.490	8394464.099	184.284
167	5552801.433	8394467.168	183.991
168	5552797.869	8394467.341	183.591
169	5552801.143	8394470.310	184.088
170	5552800.935	8394472.412	182.988
171	5552800.873	8394475.269	181.745
172	5552795.898	8394475.104	181.537
173	5552795.973	8394472.525	183.087
174	5552796.031	8394470.338	184.020
175	5552793.482	8394473.020	183.007
176	5552792.252	8394475.162	181.649
177	5552778.963	8394474.644	181.611

WYKAZ WSPÓŁRZĘDNYCH (punkty tworzące obrys obszaru)

Numer	X	Y	H
1	5552851.124	8394468.301	180.428
2	5552848.222	8394466.341	180.460
3	5552844.139	8394464.507	180.493
4	5552841.194	8394463.354	180.620
5	5552837.937	8394461.916	180.614

6	5552834.655	8394460.840	180.588
7	5552830.445	8394459.417	180.562
8	5552825.791	8394457.765	180.579
9	5552820.628	8394456.059	180.547
10	5552815.191	8394455.051	180.582
11	5552815.046	8394456.092	180.600
12	5552812.691	8394456.087	180.556
13	5552811.000	8394455.872	180.595
14	5552810.008	8394454.394	180.627
15	5552807.798	8394453.216	180.557
16	5552806.026	8394453.367	180.590
17	5552804.000	8394452.066	180.611
18	5552801.451	8394450.634	180.649
19	5552798.204	8394448.725	180.665
20	5552798.380	8394451.564	180.721
21	5552794.523	8394457.041	180.822
22	5552791.746	8394461.340	180.842
23	5552790.158	8394465.980	180.927
24	5552788.209	8394469.606	181.057
25	5552783.473	8394471.859	181.047
26	5552775.303	8394473.091	181.017
27	5552775.321	8394473.960	181.438
28	5552775.139	8394474.642	181.627
177	5552778.963	8394474.644	181.611
31	5552785.177	8394474.762	181.581
172	5552795.898	8394475.104	181.537
171	5552800.873	8394475.269	181.745
156	5552803.618	8394475.154	181.565
153	5552805.795	8394475.113	181.554
149	5552808.923	8394475.313	181.516
142	5552813.803	8394474.948	181.378
141	5552822.809	8394475.398	181.483
136	5552826.591	8394475.608	181.358
133	5552832.309	8394475.442	181.322
132	5552838.645	8394475.601	181.189
127	5552840.375	8394476.172	181.210
115	5552845.455	8394476.252	181.291
114	5552849.708	8394475.459	180.916
113	5552851.436	8394473.646	180.545
112	5552851.189	8394470.810	180.525
1	5552851.124	8394468.301	180.428

## Załącznik nr 12



---

# Grid Volume Computations

---

Wed Dec 11 17:04:09 2013

## Upper Surface

Grid File Name: E:\PRACA INZ\PRACA INZYNIERSKA\OBLICZENIA W PROGRAMACH\Surfer\grid.grd

Grid Size: 100 rows x 37 columns

X Minimum: 8394448.725  
X Maximum: 8394476.252  
X Spacing: 0.76463888890834

Y Minimum: 5552775.139  
Y Maximum: 5552851.436  
Y Spacing: 0.77067676766992

Z Minimum: 180.51481914029  
Z Maximum: 187.2911780156

## Lower Surface

Level Surface defined by  $Z = 180.66$

## Volumes

Z Scale Factor: 1

### Total Volumes by:

Trapezoidal Rule: 2933.6163005796  
Simpson's Rule: 2933.7883200626  
Simpson's 3/8 Rule: 2935.7296055249

### Cut & Fill Volumes

Positive Volume [Cut]: 2935.483883132  
Negative Volume [Fill]: 1.8675825524335  
Net Volume [Cut-Fill]: 2933.6163005796

## Areas

### Planar Areas

Positive Planar Area [Cut]: 1190.9160202361  
Negative Planar Area [Fill]: 19.484463517382  
Blanked Planar Area: 889.82703528129  
Total Planar Area: 2100.2275190348

### Surface Areas

Positive Surface Area [Cut]: 1357.7939581411  
Negative Surface Area [Fill]: 19.778095353695



## 14. Bibliografia

### Literatura

- [1] Bajkowska E. i inni: *Elementy geodezji w pomiarach inżynierskich*, wydawnictwo Politechniki Białostockiej, Białystok 1995.
- [2] Czaja J.: *Wybrane zagadnienia z geodezji inżynierskiej*, wydawnictwo AGH, Kraków 1993.
- [3] Gocał J.: *Geodezja inżynierska – przemysłowa. Część I*, wydawnictwo AGH, Kraków 1999.
- [4] Jagielski A.: *Podstawy geodezji inżynierskiej. Standardy, pomiary realizacyjne, trasy, objętości.*, wydawnictwo Geodpis, Kraków 2012.
- [5] Jamka M., Zielina L.: *Geodezja inżynierska. Podręcznik dla studentów wyższych szkół technicznych.*, wydawnictwo Politechniki Krakowskiej, Kraków 2001.
- [6] Poręba M.: *Nowoczesne metody pomiarów mas ziemnych*, Archiwum Fotogrametrii, Kartografii i Teledetekcji AGH, Kraków 2009.
- [7] Rola F. i inni: *Geodezja inżynierska – przemysłowa. Wykłady. Część II*, wydawnictwo AGH, Kraków 1985.
- [8] Zieliński T.: *Materiały pomocnicze do ćwiczeń dla studentów Wydziału Inżynierii Lądowej Politechniki Warszawskiej*, Politechnika Warszawska Instytut Dróg i Mostów, Zakład Inżynierii Komunikacyjnej, Warszawa 2003.

### Akty prawne

- [10] Ministerstwo Przemysłu Ciężkiego: *Instrukcja geodezyjna resortu przemysłu ciężkiego*, Warszawa 1976.
- [11] Polski Komitet Normalizacyjny: *Polska norma PN-B-06050, Geotechnika. Roboty ziemne. Wymagania ogólne.*, Warszawa 1999.
- [12] Rozporządzenie Ministra Gospodarki z dnia 19 czerwca 2002 roku w sprawie dokumentacji mierniczo-geologicznej, (Dz. U. 2002 nr 92 poz. 819), Warszawa.

## Strony internetowe

- [13] <http://www.wrogeo.pl>
- [14] <http://www.pgi.gov.pl>
- [15] <http://www.tpi.com.pl>
- [16] <http://www.skanowanie3d.blogspot.com> (artykuł na temat skaningu laserowego);
- [17] <http://www.trimetch.com.pl>
- [18] <http://www.coder.pl> (opis programu Winkalk)'
- [19] <http://www.softline.xgeo.pl> (opis programu C-Geo);
- [20] <http://www.surfer.net.pl> (opis programu Surfer);
- [21] <http://www.bentley.com/pl-pl> (opis programu Bentley InRoads);
- [22] <http://www.home.agh.edu.pl/~kocierz> (konspekt do ćwiczeń z geodezji inżynierskiej).

## Wykaz tabel

- Tabela 1. Parametry techniczne tachimetru Leica TS02
- Tabela 2. Zestawienie odległości z pomiaru na filarach
- Tabela 3. Wielkości stałej dodawania dla obu luster
- Tabela 13. Zestawienie uśrednionych kątów
- Tabela 14. Zestawienie uśrednionych odległości
- Tabela 6. Ostateczne współrzędne osnowy pomiarowej
- Tabela 7. Wartości błędów średnich obserwacji wyrównanych
- Tabela 8. Ostateczne wysokości punktów osnowy pomiarowej
- Tabela 9. Główna klasyfikacja programów geodezyjnych
- Tabela 10. Zestawienie objętości w poszczególnych programach
- Tabela 11. Procentowe różnice pomiędzy programami
- Tabela 12. Objętości w poszczególnych programach

## Wykaz fotografii

- Foto. 17. Pomiar hałdy metodą RTK
- Foto. 18. Pomiar hałdy metodą RTK
- Foto. 19. Pomiar punktów wraz z wykonywaniem zdjęć na wysięgniku
- Foto. 20. Pomiar objętości tachimetrem skanującym
- Foto. 21. Samolot wykonujący pomiar rzeźby terenu
- Foto. 22. Etap przetwarzania wyników pomiaru
- Foto. 23. Wytwórnia mas bitumicznych w Gniewczynie Łańcuckiej
- Foto. 24. Inwentaryzowany obiekt od strony północno-wschodniej
- Foto. 25. Inwentaryzowany obiekt od strony południowo-wschodniej
- Foto. 26. Tachimetr elektroniczny Leica TS02
- Foto. 27. Zestaw GPS Trimble SPS 882
- Foto. 28. Odbiornik GPS firmy Trimble [
- Foto. 29. Zastabilizowany punkt osnowy pomiarowej
- Foto. 30. Odbiornik GPS Trimble podczas pomiaru statycznego
- Foto. 31. Pomiar inwentaryzacyjny wybranego zwałowiska

## Wykaz rysunków

- Rys. 42. Bryła elementarna
- Rys. 43. Podstawa bryły nieregularnej
- Rys. 44. Częstkowe powierzchnie nasypu i wykopu
- Rys. 45. Częstkowe powierzchnie nasypu i wykopu
- Rys. 46. Trójkąt elementarny
- Rys. 47. Trójkąt elementarny z podziałem na wykop i nasyp
- Rys. 48. Model warstwicowy bryły
- Rys. 49. Model warstwicowy terenu i powierzchnia projektowa
- Rys. 50. Obliczanie objętości bryły wydłużonej
- Rys. 51. Obliczanie objętości bryły wydłużonej sposobem Winklera
- Rys. 52. Szkic lokalizacyjny inwentaryzowanego obiektu na terenie otaczarni
- Rys. 53. Szkic osnowy pomiarowej
- Rys. 54. Fragment raportu z wyrównania osnowy pomiarowej w programie GEONET
- Rys. 55. Niwelacja w kierunku głównym
- Rys. 56. Niwelacja w kierunku powrotnym
- Rys. 57. Moduł obliczeniowy współrzędnych punktów w programie Winkalk
- Rys. 58. Okno obliczeń „Objętości mas graficznie” programu WinKalk
- Rys. 59. Siatka trójkątów wygenerowana przez program Winkalk
- Rys. 60. Model 3D mierzonego obiektu wygenerowany w programie Winkalk
- Rys. 61. Fragment raportu uzyskanych wyników w programie Winkalk
- Rys. 62. Okno modułu „Obliczanie objętości, warstwie” programu C-Geo
- Rys. 63. Siatka trójkątów w programie C-Geo
- Rys. 64. Model 3D obiektu w programie C-Geo
- Rys. 65. Okno „Obliczenie objętości” programu C-Geo
- Rys. 66. Fragment raportu uzyskanych wyników w programie C-Geo
- Rys. 67. Obrys obiektu wraz ze wszystkimi punktami oraz liniami charakterystycznymi
- Rys. 68. Okno „Import Surface” programu Bentley InRoads
- Rys. 69. Siatka trójkątów dla powierzchni „Ponad”
- Rys. 70. Siatka trójkątów dla powierzchni „Ponizej”
- Rys. 71. Model 3D obiektu w programie Bentley InRoads
- Rys. 72. Model 3D obiektu w programie Bentley InRoads
- Rys. 73. Okno „Import Surface” programu Bentley InRoads
- Rys. 74. Raport uzyskanych wyników w programie Bentley InRoads
- Rys. 75. Arkusz danych zawierających współrzędne XYZ punktów terenu
- Rys. 76. Okno modułu „Grid Data” programu Surfer
- Rys. 77. Okno „Map New” programu Surfer
- Rys. 78. Model 3D obiektu w programie Surfer
- Rys. 79. Model 3D obiektu w programie Surfer
- Rys. 80. Okno obliczania objętości programu Surfer
- Rys. 81. Fragment raportu uzyskanych wyników w programie Surfer
- Rys. 82. Wyniki wyznaczenia kubatury w poszczególnych programach geodezyjnych